



ใบรับรองวิทยานิพนธ์

บัณฑิตวิทยาลัย มหาวิทยาลัยเกษตรศาสตร์

วิทยาศาสตร์มหาบัณฑิต (วิทยาศาสตร์การอาหาร)

บริษัทฯ

วิทยาศาสตร์การอาหาร วิทยาศาสตร์และเทคโนโลยีการอาหาร
สาขาวิชา ภาควิชา

เรื่อง ผลของสายพันธุ์และระยะเวลาเจริญเติบโตต่อสารประกอบฟีโนลิกและความสามารถต้านออกซิเดชันของผลหม่อน

Effect of Cultivar and Maturation on Phenolic Compounds and Antioxidant Capacity of Mulberry Fruit

นามผู้วิจัย นางสาวมนต์ดาวี หุ่นเจริญ

ได้พิจารณาเห็นชอบโดย

อาจารย์ที่ปรึกษาวิทยานิพนธ์หลัก

(อาจารย์ศศิธร ตรงจิตภักษิ, Ph.D.)

อาจารย์ที่ปรึกษาวิทยานิพนธ์ร่วม

(ผู้ช่วยศาสตราจารย์วรรณา จิราภรณ์กุล, Ph.D.)

หัวหน้าภาควิชา

(ผู้ช่วยศาสตราจารย์ธนະบูลย์ สังขอนันต์กุล, Ph.D.)

บัณฑิตวิทยาลัย มหาวิทยาลัยเกษตรศาสตร์รับรองแล้ว

(รองศาสตราจารย์กัญจนा ธีระกุล, D.Agr.)

คณบดีบัณฑิตวิทยาลัย

วันที่ เดือน พ.ศ.

วิทยานิพนธ์

เรื่อง

ผลของสายพันธุ์และระยะเวลาเจริญเติบโตต่อสารประกอบฟีโนลิก
และความสามารถต้านออกซิเดชันของผลหม่อน

Effect of Cultivar and Maturation on Phenolic Compounds and Antioxidant Capacity
of Mulberry Fruit

โดย

นางสาวมนต์ดี หุ่นเจริญ

เสนอ

บัณฑิตวิทยาลัย มหาวิทยาลัยเกษตรศาสตร์
เพื่อความสมบูรณ์แห่งปริญญาวิทยาศาสตร์มหาบัณฑิต (วิทยาศาสตร์การอาหาร)
พ.ศ. 2552

มนต์วีดี หุ่นเจริญ 2552: ผลของสาขพันธุ์และระบบการเจริญเติบโตต่อสารประกอบฟีโนลิกและ
ความสามารถต้านออกซิเดชั่นของผลหม่อน ปริญญาวิทยาศาสตร์มหาบัณฑิต (วิทยาศาสตร์การ
อาหาร) สาขาวิชาวิทยาศาสตร์การอาหาร ภาควิชาวิทยาศาสตร์และเทคโนโลยีการอาหาร อาจารย์ที่
ปรึกษาวิทยานิพนธ์หลัก: อาจารย์ศศิธร ทรงจิตภักดี, Ph.D. 89 หน้า

งานวิจัยนี้ศึกษาผลของสาขพันธุ์และระบบการเจริญเติบโตต่อสารประกอบฟีโนลิกและความสามารถ
ต้านออกซิเดชั่นของผลหม่อน 3 สายพันธุ์ (สายพันธุ์กำแพงแสตน-เอ็มบี-42-1 เชียงใหม่ และบูรีรัมย์ 60) ซึ่งแบ่ง
ออกเป็น 4 ระยะการเจริญเติบโต คือ ผลอ่อน (ระยะการเจริญเติบโตที่ 1) ผลกึ่งสุก (ระยะการเจริญเติบโตที่ 2)
ผลสุก (ระยะการเจริญเติบโตที่ 3) และผลสุกเต็มที่ (ระยะการเจริญเติบโตที่ 4) โดยศึกษาปริมาณสารประกอบ
ฟีโนลิกทั้งหมด แอนโไซดานินส์ทั้งหมด ความสามารถต้านออกซิเดชั่น (สมบัติการต้านอนุมูลอิสระ 1, 1-
diphenyl-2-picrylhydrazyl radical (DPPH) และ 2, 2-azino-bis (3-ethylbenzthiazoline -6-sulfonic acid)
diammonium salt (ABTS)) และตรวจสอบสารประกอบฟีโนลิกชนิดหลักโดยเทคนิค High Performance Liquid
Chromatography (HPLC) จากผลการทดลองพบว่าปริมาณสารประกอบฟีโนลิกทั้งหมด แอนโไซดานินส์
ทั้งหมด และความสามารถต้านออกซิเดชั่นของผลหม่อนมีความแตกต่างกันขึ้นกับสายพันธุ์และระบบการ
เจริญเติบโต โดยสารประกอบฟีโนลิกทั้งหมดมีปริมาณตั้งแต่ 892 ถึง 3,318 มิลลิกรัมสมมูลของกรดแกเลลิกใน
ตัวอย่าง 100 กรัมน้ำหนักแห้ง แอนโไซดานินส์ทั้งหมดมีปริมาณตั้งแต่ 3 ถึง 1,844 มิลลิกรัมของไไซดานิน-3-
กลูโคไซด์ในตัวอย่าง 100 กรัมน้ำหนักแห้ง สมบัติการต้านอนุมูลอิสระ DPPH และ ABTS มีค่าตั้งแต่ 503 ถึง
2,812 มิลลิกรัมสมมูลของวิตามินซีในตัวอย่าง 100 กรัมน้ำหนักแห้ง และ 1,198 ถึง 4,926 มิลลิกรัมสมมูลของ
วิตามินซีในตัวอย่าง 100 กรัมน้ำหนักแห้ง ตามลำดับ นอกจากนี้ยังพบว่าผลหม่อนทุกสายพันธุ์ในระยะสุก
เต็มที่มีปริมาณสารประกอบฟีโนลิกทั้งหมด แอนโไซดานินส์ทั้งหมด และสมบัติการต้านอนุมูลอิสระ DPPH
และ ABTS มากกว่าระยะการเจริญเติบโตอื่น ($p \leq 0.05$) ผลสุกเต็มที่ของผลหม่อนสายพันธุ์กำแพงแสตน-เอ็มบี-
42-1 มีปริมาณสารประกอบฟีโนลิกทั้งหมด แอนโไซดานินส์ทั้งหมด และสมบัติการต้านอนุมูลอิสระ ABTS
มากที่สุด ($p \leq 0.05$) ในขณะที่สายพันธุ์กำแพงแสตน-เอ็มบี-42-1 และบูรีรัมย์ 60 มีสมบัติการต้านอนุมูลอิสระ
DPPH มากที่สุด ($p \leq 0.05$) จากการศึกษาสารประกอบฟีโนลิกชนิดหลักโดยเทคนิค HPLC พบว่าสารประกอบ
ฟีโนลิกชนิดหลักของผลหม่อนคือ ไไซดานิน-3-กลูโคไซด์ ไไซดานิน-3-รูทิโนไซด์ และกรดคลอโรจินิก
นอกจากนี้ยังตรวจพบเควอซิทิน-3-รูทิโนไซด์ ในปริมาณต่ำ เมื่อผลหม่อนเจริญเติบโตมากขึ้นกรดคลอโรจินิกมี
ปริมาณลดลง ในขณะที่เควอซิทิน-3-รูทิโนไซด์ ไไซดานิน-3-กลูโคไซด์ และไไซดานิน-3-รูทิโนไซด์ มี
ปริมาณเพิ่มขึ้น

Monwadee Hunjaroen 2009: Effect of Cultivar and Maturation on Phenolic Compounds and Antioxidant Capacity of Mulberry Fruit. Master of Science (Food Science), Major Field: Food Science, Department of Food Science and Technology. Thesis Advisor: Mrs. Sasitorn Tongchitpakdee, Ph.D. 89 pages.

Effect of cultivar and maturation on phenolic compounds and antioxidant capacity of mulberry fruit (cv. KPS-MB-42-1, Chiangmai and Burirum 60) were investigated. Each mulberry cultivar was classified into 4 stages : immature (stage1), semi-mature (stage2), mature (stage3) and fully mature (stage4). Total phenolic and total monomeric anthocyanin contents and antioxidant capacity (1, 1-diphenyl-2-picrylhydrazyl radical (DPPH) and 2, 2-azino-bis (3-ethylbenzthiazoline -6-sulfonic acid) diammonium salt (ABTS) assays) were also evaluated. Major phenolic compounds were identified using High Performance Liquid Chromatography (HPLC). The results showed that total phenolic, total monomeric anthocyanin contents and antioxidant capacity of mulberry fruits varied greatly among cultivars and maturation stages. Total phenolic content varied from 892 to 3,318 mg gallic acid equivalents/100 g dry weight (DW) basis and total monomeric anthocyanin content varied from 3 to 1,844 mg cyanidin-3-glucoside/100 g DW basis. The DPPH and ABTS radical-scavenging capacity of mulberry fruit ranged from 503 to 2,812 mg vitamin C equivalents antioxidant capacity (VCEAC)/100 g DW basis and 1,198 to 4,926 mg VCEAC/100 g DW basis, respectively. For all cultivars, fully mature stage had the highest radical-scavenging capacity and total phenolic content. At the fully mature stage, KPS-MB-42-1 had the highest total phenolic content, total monomeric anthocyanin content and ABTS radical-scavenging capacity ($p \leq 0.05$), while KPS-MB-42-1 and Burirum 60 had the highest DPPH radical-scavenging capacity ($p \leq 0.05$). Total monomeric anthocyanin content in all cultivars increased as maturity increased. HPLC analysis showed that predominant phenolic compounds in mulberry were cyanidin-3-glucoside, cyanidin-3-rutinoside and chlorogenic acid. Quercetin-3-rutinoside is also identified as a minor phenolic compound. As maturity increased, chlorogenic acid content decreased, while quercetin-3-rutinoside, cyanidin-3-glucoside and cyanidin-3-rutinoside contents increased.

Student's signature

Thesis Advisor's signature

/ /

กิตติกรรมประกาศ

กราบขอบพระคุณ ดร. ศศินทร์ ทรงจิตภักดี อาจารย์ที่ปรึกษาวิทยานิพนธ์หลัก และผู้ช่วยศาสตราจารย์ วรรษ尼 จิราภรณ์ยุคล อาจารย์ที่ปรึกษาวิทยานิพนธ์ร่วม ที่ให้คำปรึกษาในการเรียน การค้นคว้าวิจัย ตลอดจนการตรวจแก้ไขวิทยานิพนธ์จนบรรลุเป้าหมาย ขอบพระคุณ ดร. วรารภ พูลทรัพย์พิพิธ ประธานการสอน สำนักภาษาและสื่อสาร มหาวิทยาลัยเชียงใหม่ และ รศ. ดร. ทนง กัครชพันธุ์ ผู้ทรงคุณวุฒิภายนอกที่ตรวจแก้ไขวิทยานิพนธ์ให้สมบูรณ์ยิ่งขึ้น

ขอขอบพระคุณทุนสนับสนุนจากสำนักงานกองทุนสนับสนุนการวิจัย ภายใต้โครงการทุนวิจัย มหาบัณฑิต (สกาว.) ร่วมกับสำนักงานส่งเสริมวิชาการศึกษาด้านคลังและขนาดย่อม (สสว.) ประจำปี 2550 และโครงการพัฒนาบัณฑิตศึกษาและวิจัยเทคโนโลยีหลังการเก็บเกี่ยว ที่ให้ความช่วยเหลือทุนสนับสนุนการทำวิทยานิพนธ์

ขอขอบพระคุณ พศ. ดร. ปราโมทย์ สุจิณรัตน์ ภาควิชาพืชสวน คณะเกษตร มหาวิทยาลัยเกษตรศาสตร์ วิทยาเขตกำแพงแสน และบริษัท เอเชี่ยน แปซิฟิก อินเตอร์เนชันแนล จำกัด ที่ให้ความอนุเคราะห์ผลหม่อนสำหรับทำการวิจัย

ขอขอบคุณคุณคุณธรรม คำแหงวงศ์ คุณปิติรัตน์ กลิ่นธรรม คุณชนิต วนิกรานุกุล คุณชนิตชัย ประชญาดาวรกุล คุณพงษ์ธร ล้อสุวรรณ คุณชนกศักดิ์ แซ่เลี่ยง คุณสุวรรณฯ เกิดศรีเล็ก คุณรัมมณี เขยสุนทร เพื่อนๆ พี่ๆ ปริญญาโท และพี่ๆ ปริญญาเอก รวมทั้งน้องๆ ในห้องปฏิบัติการทุกคน ที่ให้ความช่วยเหลือ คำปรึกษาและกำลังใจตลอดการทำวิจัย ขอบขอบคุณเจ้าหน้าที่คณบดีอุตสาหกรรมเกษตรทุกท่าน ที่ให้ความช่วยเหลือในการทำการวิจัยผ่านไปได้ด้วยดี และขอบขอบคุณพี่ชี้มือที่ให้ความช่วยเหลือในการเก็บตัวอย่างที่ใช้สำหรับการทำวิจัย

สุดท้ายกราบขอบพระคุณ คุณพ่อ คุณแม่ ผู้ซึ่งให้การสนับสนุนในการเรียน รวมถึงความรัก ความอบอุ่นและกำลังใจที่มีให้ตลอดมา ขอบคุณพี่ดี แอม น้องอ้อม รวมถึงสมาชิกทุกคนในครอบครัว พี่อ้อฟ พี่สัน ที่คอยให้กำลังใจเสมอมาตลอดการศึกษาในระดับปริญญาโท ขอบคุณเพื่อนโรงเรียนศึกษานารี และมหาวิทยาลัยคริสเตียนทริโตรัตน์ ในความเป็นเพื่อนที่ดี และเป็นกำลังใจในการทำวิทยานิพนธ์จนสำเร็จได้

มนต์ดี หุ่นเจริญ
พฤษภาคม 2552

สารบัญ

หน้า

สารบัญ	(1)
สารบัญตาราง	(2)
สารบัญภาพ	(3)
คำนำ	1
วัตถุประสงค์	3
การตรวจสอบสาร	4
อุปกรณ์และวิธีการ	34
อุปกรณ์	34
วิธีการ	37
ผลและวิจารณ์	43
สรุปและข้อเสนอแนะ	71
สรุป	71
ข้อเสนอแนะ	73
เอกสารและสิ่งอ้างอิง	74
ภาคผนวก	82
ประวัติการศึกษาและการทำงาน	89

สารบัญตาราง

ตารางที่		หน้า
1	ชนิดของแอนโซไซยานินที่พบมากที่สุดในพืชทั้ง 6 ชนิดและดำเนินการเติมหมู่ไฮดรอกซิล (hydroxyl) และหมู่เมทธิล (methyl)	15
2	ชนิดของฟลาโวนอลและดำเนินการเติมหมู่ไฮดรอกซิลและหมู่เมทธิล	20
3	แหล่งของพืชที่พบฟลาโวนอยด์ชนิดต่างๆ	22
4	สัดส่วนของวัตถุภาครีสื่อที่ในการวิเคราะห์สารประกอบฟีโนลิกโดยเทคนิค HPLC	42
5	ค่า L* ของผลหม่อนที่รับประทานเจริญเติบโตต่างๆ	45
6	ค่า a* ของผลหม่อนที่รับประทานเจริญเติบโตต่างๆ	46
7	ค่า b* ของผลหม่อนที่รับประทานเจริญเติบโตต่างๆ	46
8	ค่าสหสัมพันธ์ (correlation coefficient) ระหว่างระหว่างปริมาณสารประกอบฟีโนลิกที่ตรวจสอบโดยเทคนิค HPLC และปริมาณสารประกอบฟีโนลิกทั้งหมด แอนโซไซยานินส์ทั้งหมด สมบัติการต้านอนุมูลอิสระ DPPH และ ABTS	70

สารบัญภาพ

ภาพที่	หน้า
1 ลักษณะของผลหม่อน	4
2 ตัวอย่างลักษณะปราการภูของใบหม่อนพันธุ์บุรีรัมย์ 60	5
3 ลักษณะปราการภูของต้นหม่อนสายพันธุ์กำแพงแสน-เอ็มบี-42-1	6
4 โครงสร้างกรดไฮดรอกซีซินนามิก (Hydroxycinnamic acid)	11
5 โครงสร้างกรดคลอโรจิnic (Chlorogenic acid)	12
6 โครงสร้างกรดไฮดรอกซีเบนโซิก (Hydroxybenzoic acid)	12
7 โครงสร้างหลักของสารประกอบฟลาโวนอยด์ (Flavonoid)	13
8 โครงสร้างพื้นฐานของแอนโธไซยานิน (Anthocyanin)	14
9 การเปลี่ยนแปลงโครงสร้างของแอนโธไซยานินที่ความเป็นกรด-ด่างต่าง ๆ	16
10 โครงสร้างพื้นฐานของฟลาวนอล (Flavanol)	19
11 โครงสร้างพื้นฐานของฟลาโวนอล (Flavonol)	20
12 โครงสร้างพื้นฐานของฟลาโวน (Flavone)	21
13 โครงสร้างพื้นฐานของฟลาวาโนน (Flavanone)	21
14 โครงสร้างพื้นฐานของไอโซฟลาโวน (Isoflavone)	22
15 การเกิด delocalization ของอะลีกตรอนคู่โดยเดี่ยวของอนุมูลฟีนอล	24
16 โครงสร้างทางเคมีของ ABTS	29
17 โครงสร้างทางเคมีของ DPPH	30
18 ความยาวเฉลี่ย (A) และส่วนผ่านศูนย์กลางเฉลี่ย (B) ของตัวอย่างผลหม่อน 3 สายพันธุ์ที่ระยะการเจริญเติบโตแตกต่างกัน	44
19 ชาร์ทแสดงค่าสี (A) และส่วนขยายของชาร์ทสี (B) ของผลหม่อนสายพันธุ์ เชียงใหม่ (●) กำแพงแสน-เอ็มบี-42-1 (■) และบุรีรัมย์ 60 (◆) ที่ระยะการเจริญเติบโตต่างกัน	48
20 ลักษณะปราการภู (visual quality) ของผลหม่อนสายพันธุ์กำแพงแสน-เอ็มบี-42-1 ที่ระยะการเจริญเติบโตต่างๆ	49

สารบัญภาพ (ต่อ)

ภาพที่	หน้า
21 ลักษณะปรากฏ (visual quality) ของผลหม่อนสายพันธุ์บุรีรัมย์ 60 ที่ระเบการเจริญเติบโตต่างๆ	50
22 ลักษณะปรากฏ (visual quality) ของผลหม่อนสายพันธุ์เชียงใหม่ ที่ระเบการเจริญเติบโตต่างๆ	51
23 ปริมาณสารประกอบฟีโนลิกทั้งหมด (Total phenolic content) ของตัวอย่างผลหม่อน 3 สายพันธุ์ที่ระเบการเจริญเติบโตแตกต่างกัน	53
24 ปริมาณแอนโพรไไซดานินส์ทั้งหมดของตัวอย่างผลหม่อน 3 สายพันธุ์ที่ระเบการเจริญเติบโตแตกต่างกัน	55
25 ตัวอย่างภาพถ่ายลักษณะปรากฏ (visual quality) ของผลหม่อนสายพันธุ์เชียงใหม่ ที่ระเบการเจริญเติบโตแตกต่างกัน	55
26 สมบัติการต้านอนุมูลอิสระ DPPH ของตัวอย่างผลหม่อน 3 สายพันธุ์ที่ระเบการเจริญเติบโตแตกต่างกัน	57
27 สมบัติการต้านอนุมูลอิสระ ABTS ของตัวอย่างผลหม่อน 3 สายพันธุ์ที่ระเบการเจริญเติบโตแตกต่างกัน	58
28 ตัวอย่าง HPLC โครมาโทแกรมของกรดคลอโรจินิก (chlorogenic acid) ของผลหม่อน 3 สายพันธุ์ (A: สายพันธุ์เชียงใหม่ B: สายพันธุ์กำแพงแสน-เอ็มบี-42-1 และ C: สายพันธุ์บุรีรัมย์ 60) ที่ระเบการเจริญเติบโตที่ 4 (ผลสุกเต็มที่)	60
29 ปริมาณกรดคลอโรจินิก (chlorogenic acid) ของตัวอย่างผลหม่อน 3 สายพันธุ์ ที่ระเบการเจริญเติบโตแตกต่างกัน	61
30 ตัวอย่าง HPLC โครมาโทแกรมของควอซิทิน-3-รูติโนไซด์ (quercetin-3-rutinoside) ของผลหม่อน 3 สายพันธุ์ (A: สายพันธุ์เชียงใหม่ B: สายพันธุ์กำแพงแสน-เอ็มบี-42-1 และ C: สายพันธุ์บุรีรัมย์ 60) ที่ระเบการเจริญเติบโตที่ 4 (ผลสุกเต็มที่)	63

สารบัญภาพ (ต่อ)

ภาพที่	หน้า
31 ปริมาณเควอซิทิน-3-รูทิโนไซด์ (quercetin-3-rutinoside) ของตัวอย่างผลหม่อน 3 สายพันธุ์ที่ระยการเจริญเติบโตแตกต่างกัน	65
32 ตัวอย่าง HPLC โคมาトイแกรมของไซyanidin-3-กลูโคไซด์ (cyanidin-3-glucoside) และไซyanidin-3-รูทิโนไซด์ (cyanidin-3-rutinoside) ของผลหม่อน 3 สายพันธุ์ (A: สายพันธุ์เชียงใหม่ B: สายพันธุ์กำแพงแสน-เอ็มบี-42-1 และ C: สายพันธุ์นรรัมย์ 60) ที่ระยการเจริญเติบโตที่ 4 (ผลสุกเต็มที่)	66
33 ปริมาณไซyanidin-3-กลูโคไซด์ (cyanidin-3-glucoside) (A) และไซyanidin-3-รูทิโนไซด์ (cyanidin-3-rutinoside) (B) ของตัวอย่างผลหม่อน 3 สายพันธุ์ที่ระยการเจริญเติบโตแตกต่างกัน	68
 ภาพผนวกที่	
1 กราฟมาตรฐานของกรดเกลลิกสำหรับการตรวจวัดปริมาณสารประกอบฟีโนอลิกทั้งหมด	83
2 กราฟมาตรฐานของวิตามินซีสำหรับการตรวจสอบสมบัติการต้านอนุมูลอิสระ DPPH	83
3 กราฟมาตรฐานของวิตามินซีสำหรับการตรวจสอบสมบัติการต้านอนุมูลอิสระ ABTS	84
4 กราฟมาตรฐานของกรดคลอโรจิニค (chlorogenic acid)	84
5 HPLC โคมาトイแกรมของสารมาตรฐานกรดคลอโรจิニค (chlorogenic acid)	85
6 กราฟมาตรฐานของเควอซิทิน-3-รูทิโนไซด์ (quercetin-3-rutinoside)	85
7 HPLC โคอมาトイแกรมของสารมาตรฐานเควอซิทิน-3-รูทิโนไซด์ (quercetin-3-rutinoside)	86
8 กราฟมาตรฐานของไซyanidin-3-กลูโคไซด์ (cyanidin-3-glucoside)	86

สารบัญภาพ (ต่อ)

	ภาพนวกที่	หน้า
9	HPLC โคมไฟต์แกรมของสารมาตรฐานไซยาโนดิน-3-กลูโคไซด์ (cyanidin-3-glucoside)	87
10	กราฟมาตรฐานของไซยาโนดิน-3-รูติโนไซด์ (cyanidin-3-rutinoside)	87
11	HPLC โคมไฟต์แกรมของสารมาตรฐานไซยาโนดิน-3-รูติโนไซด์ (cyanidin-3-rutinoside)	88

ผลของสายพันธุ์และระยะเวลาการเจริญเติบโตต่อสารประกอบฟีโนลิกและความสามารถ ต้านออกซิเดชันของผลหม่อน

Effect of Cultivar and Maturation on Phenolic Compounds and Antioxidant Capacity of Mulberry Fruit

คำนำ

“หม่อน” เป็นพืชที่พบได้ทั่วไปในป่าดิบในประเทศไทย ในอดีตนั้นการปลูกหม่อนมุ่งเน้นการนำไปหม่อนมาเลี้ยงหนอนไหมเพียงอย่างเดียว แต่เมื่อภาวะเศรษฐกิจตกต่ำจึงส่งผลกระทบต่ออุตสาหกรรมต่างๆ ที่เกี่ยวข้องกับการปลูกหม่อนเดี้ยงไหม เนื่องจากดันทุนสูงและราคาลงใหม่ต่ำลง ซึ่งการปลูกหม่อนเพื่อใช้ประโยชน์จากใบหม่อนเพียงอย่างเดียวอาจจะเป็นการเสียต่อการขาดทุนเป็นอย่างมาก ดังนั้นการใช้ประโยชน์จากส่วนอื่นของต้นหม่อนโดยเฉพาะอย่างยิ่ง “ผลหม่อน” จึงอาจเป็นทางเลือกหนึ่งให้กับอุตสาหกรรมในประเทศไทย ในปัจจุบันประเทศไทยมีการปรับปรุงพันธุ์หม่อนที่ให้ผลขนาดใหญ่และให้ผลิตผลค่อนข้างสูง เช่น หม่อนพันธุ์บุรีรัมย์ 60 นครราชสีมา 60 และเชียงใหม่ เป็นต้น ผลหม่อนนั้นมีคุณค่าทางโภชนาการค่อนข้างสูง เป็นแหล่งของน้ำตาล กรด และสารสำคัญต่างๆ โดยเฉพาะอย่างยิ่งสารประกอบฟีโนลิก (phenolic compound) ที่มีคุณสมบัติในการเป็นสารต้านออกซิเดชัน (antioxidant) ที่อาจป้องกันการเกิดโรคเรื้อรังต่าง ๆ ได้ เช่น โรคมะเร็ง โรคเบาหวาน โรคหัวใจ เป็นต้น ในปัจจุบันการศึกษาเกี่ยวกับชนิด ปริมาณ และความสามารถในการเป็นสารต้านออกซิเดชันของสารประกอบฟีโนลิก รวมทั้งปัจจัยที่มีผลต่อชนิด และปริมาณของสารประกอบฟีโนลิกในผลหม่อนยังมีน้อยมาก โดยปัจจัยต่าง ๆ ได้แก่ สายพันธุ์ ระยะเวลาการเจริญเติบโต และสภาพภูมิอากาศ เป็นต้น ดังนั้น จึงจำเป็นอย่างยิ่งที่จะศึกษาเกี่ยวกับปัจจัยดังกล่าว โดยเฉพาะอย่างยิ่งสายพันธุ์ และระยะเวลาเจริญเติบโตต่อสารประกอบฟีโนลิก และความสามารถต้านออกซิเดชัน (antioxidant capacity) ของผลหม่อน การศึกษานี้จะก่อให้เกิดประโยชน์ครอบคลุมทั้งในส่วนของเกษตรกร อุตสาหกรรม การผลิตอาหาร และผู้บริโภค เนื่องจากจะทำให้ได้องค์ความรู้พื้นฐานของหม่อนสายพันธุ์ต่าง ๆ ที่มีการปลูกในประเทศไทย อีกทั้งยังสามารถใช้เป็นข้อมูลพื้นฐานที่สามารถนำไปประยุกต์ใช้ในด้านต่าง ๆ ไม่ว่าจะเป็นด้านอุตสาหกรรมอาหาร การแพทย์ เป็นต้น เนื่องจากจะทำให้ทราบถึงสายพันธุ์ และระยะเวลาการเก็บเกี่ยวที่เหมาะสมที่สุด เพื่อนำมาผลิตเป็นผลิตภัณฑ์ใหม่ ๆ ออก

สู่ตลาดโดยเป็นผลิตภัณฑ์ที่มีสารสำคัญ มีคุณค่าทางโภชนาการสูงซึ่งเป็นประโยชน์ต่อสุขภาพ ตัวอย่างเช่น แยม แบลต์ ลูกอม น้ำผลไม้ และ ไวน์ เป็นต้น ซึ่งผลิตภัณฑ์ที่ได้จากการแปรรูปจากผลหม่มอนนั้นอาจจะช่วยส่งเสริมการส่องออกของประเทศทำให้ประเทศไทยมีรายได้เพิ่มมากขึ้น อีกทั้งยังเป็นการเพิ่มน้ำหนักตัวทางการเกษตรและส่งเสริมให้มีการปลูกหม่อนรับประทานผลมากขึ้น

វត្ថុប្រសង់

1. เพื่อศึกษาผลของส่ายพันธីទៅសារព្រកបនឹងអិលិកនិងការតាំងអកចិត្តខ្លួន
2. เพื่อศึกษาผลនរបៀបទិន្នន័យពីការព្រកបនឹងអិលិកនិងការតាំងអកចិត្តខ្លួន

การตรวจเอกสาร

หม่อน

1. ลักษณะทางพฤกษาศาสตร์

หม่อนเป็นพืชที่อยู่ในวงศ์ Moraceae มีชื่อวิทยาศาสตร์ว่า *Morus spp.* มีถิ่นกำเนิดกระจายกว้างขวางมากในเดบเทตropic (Tropical zone) เขตอบอุ่น (Subtropical zone) เขตหนาว (Temperate zone) และเขตหนาวเย็น (Sub-artic zone) (วสันต์, 2546) โดยทั่วไปหม่อนแบ่งออกเป็น 3 species ได้แก่ Red mulberry (*Morus rubra*) White mulberry (*Morus alba*) และ Black mulberry (*Morus nigra*) (Ercisli and Orhan, 2008)



ภาพที่ 1 ลักษณะของผลหม่อน

ที่มา : Anonymous (2008)

สิริวิทยาของหม่อน (ศิริพร, 2546)

1. ใบหม่อน

ใบเป็นส่วนสำคัญที่สุด เพราะเป็นส่วนที่นำໄไปใช้เลี้ยงไหม ประกอบด้วยแผ่นใบ ก้านใบ และหูใบ ขนาดปูร่วงและความหนาของใบแตกต่างกัน ไปตามสายพันธุ์ การจัดเรียงใบจะเป็นใบเดี่ยวออกจากลำต้นเรียงกันไปแบบสลับก้านใบ มีหูใบซึ่งเป็นส่วนช่วยป้องกันใบอ่อนและหลุดร่วงไปเมื่อใบเจริญเติบโตเต็มที่ ความถี่ของใบขึ้นอยู่กับพันธุ์ ซึ่งพันธุ์หม่อนที่ได้ผลผลิตสูงควรจะมีใบถี่และมีใบเป็นรูปไข่ โดยทั่วไปปริมาณน้ำในหม่อนอยู่ระหว่าง 64-83% โดยมีปริมาณน้ำแตกต่างกันขึ้นอยู่กับอายุของใบ พันธุ์หม่อน สภาพแวดล้อม และวิธีการตัดแต่งกิ่ง

ในประเทศไทยและอินเดียมีการเพิ่มผลผลิตของใบหม่อน เนื่องจากใช้เป็นแหล่งอาหารของหนอนไหม (*Bombyx mori* L.) เพื่อให้หนอนไหมผลิตไหม ในประเทศไทยมีปัจจัยที่ช่วยเพิ่มผลผลิตได้แก่ ก้าน ซึ่งในปัจจุบันมีการศึกษาองค์ประกอบสารสำคัญในใบและรากหม่อนพบว่ามี polyhydroxylated alkaloids และฟลาโวนอยด์เป็นองค์ประกอบ (Oki *et al.*, 2006; Pawlowsk *et al.*, 2008) Syvacy and Sokmen (2004) กล่าวว่าใบหม่อนสามารถแสดงคุณสมบัติในการควบคุมระดับน้ำตาลในเลือด ยับยั้งการเกิด lipid peroxidation และยับยั้งกิจกรรมของเอนไซม์ catalase (CAT) และยังสามารถนำมาประกอบเป็นอาหารได้โดยผงของใบหม่อนจะถูกใช้ร่วมกับแป้งในการทำแพ่นโรตี (paratha) ในอาหารของอินเดีย



ภาพที่ 2 ตัวอย่างลักษณะปราภูของใบหม่อนพันธุ์บูรัมย์ 60

2. راك

راكหม่อนประกอบด้วยรากแก้ว รากแขนง และรากฟอย รากแก้วและรากแขนงมีหน้าที่ ยึดลำต้นและกึ่งให้ทรงตัวอยู่บนดิน นอกจากนี้ยังเป็นที่ขันส่งและเก็บรักษาน้ำและการ ออกราก อิกด้วย ในขณะที่รากฟอยแผ่กระจายไปในดิน เพื่อทำหน้าที่ดูดซึมอาหารและน้ำจากดินแล้วส่งผ่าน รากแขนง รากแก้ว ลำต้น กิ่ง และใบ ความลึกของรากนี้อยู่กับชนิดของดิน ระดับน้ำในดิน วิธีการตัดแต่งกิ่งหม่อน และพันธุ์หม่อน โดยทั่วไประบบรากหม่อนจะกระจายทั่วในระดับความลึก ถึง 120 เซนติเมตรจากผิวดิน แต่พบว่าส่วนใหญ่ (80%) กระจายในระดับความลึก 10-15 เซนติเมตร

3. ลำต้นและกิ่ง

หม่อนเป็นพืชยืนต้น ในสภาพธรรมชาติสามารถอยู่ได้หลายสิบปี ลำต้นหม่อนจะตั้ง ตรง สูงใหญ่ มีกิ่งก้านมากมาก ขนาดของลำต้นโดยตามมาตรฐาน หม่อนบางพันธุ์มีความสูง 20-25 เมตร ลำต้นวัดโดยรอบ 8 เมตร แต่หม่อนที่ปลูกเพื่อเลี้ยง ใหม่ลำต้นไม่สูงเนื่องจากมีการตัด แต่งกิ่งอย่างสม่ำเสมอ ลักษณะการบำรุงรักษาเป็นอย่างคิ่งใหม่ที่เกิดจากตากเข้าบ้างจะเริบบ้างโดยติด หรือมากกว่าภายใน 2-3 เดือน ลักษณะลำต้นนี้อยู่กับพันธุ์ เช่น หม่อนน้อยมีลำต้นลักษณะ หม่อนญี่ปุ่นพันธุ์ Shimonuchi มีลักษณะต่ำๆ เท่า พันธุ์ Kosen มีลักษณะต่ำเหลือเชื่อ เป็นต้น



ภาพที่ 3 ลักษณะปราภูของต้นหม่อนสายพันธุ์กำแพงแสน-เอ็มบี-42-1

4. ดอก เมล็ด และผล

วสันต์ (2546) รายงานว่า หมื่นจัดเป็นผลไม้ในกลุ่ม deciduous fruit plant หรือประเภท hard wood คือใบจะร่วงในฤดูใบไม้ร่วง และมีการพักตัวในฤดูหนาว ตามดอกเป็นชนิดตารวม (mix bud) คือมีทั้งตากอกและตาใบอยู่ร่วมกัน มีผลแบบผลรวมซึ่งเป็นผลที่เกิดจากช่อดอกทั้งช่อร่วมกัน เป็นผลเดียวแต่สามารถมองเห็นเป็นผลเด็กๆ แยกกันอยู่บนแกนของช่อผล ผลเด็กๆ นี้เรียกว่า syconus ซึ่งผลเหล่านี้อาจเกิดจากการผสมเกสรหรือไม่ต้องผสมเกสรก็ได้ ส่วนลักษณะของดอก เป็นทั้งแบบดอกที่มีเกสรตัวผู้และตัวเมียแยกกันคนละต้น (dioecious) หรือบางพันธุ์อาจเป็นดอกที่ มีเกสรตัวผู้และตัวเมียอยู่ในต้นเดียวกัน (monoecious) โดยมีดอกหลายๆ ดอกอยู่ในช่อเดียวกัน

4.1 ดอก

4.1.1 ช่อดอกตัวผู้ ประกอบด้วยดอกตัวผู้หลายๆ ดอกรวมเป็นช่อเดียวกัน ดอกตัวผู้แต่ละดอกมีกลีบดอก (sepal) 4 กลีบ และเกสรตัวผู้ 4 เกสร (stamen) ซึ่งแบ่งออกเป็น 2 ส่วน คือ ก้านเกสร (filament) และอับ朵ของเกสร (anther) เมื่อดอกบานก้านเกสรจะยืดตัวออกและ ปลดปล่อยละอองเกสรที่มีลักษณะสีเหลืองออกมากเป็นจำนวนมาก มีการแพร่กระจายโดยใช้ลมเป็นตัวช่วย

4.1.2 ช่อดอกตัวเมีย ประกอบด้วยกลีบดอก 4 กลีบ รังไข่ (ovary) ก้านเกสรตัวเมีย (style) และยอดเกสรตัวเมีย (stigma) โดยกลีบดอกจะห่อหุ้มรังไข่ไว้ซึ่งทำให้มองดูมีลักษณะคล้ายถุงน้ำนมหุ้มรังไข่ (embryo sac) มีไข่อ่อน (ovule) บรรจุอยู่ ก้านเกสรจะมีความยาวแตกต่างกันออกไปตามแต่ละชนิดพันธุ์ ส่วนปลายสุดของก้านเกสรตัวเมียเรียกว่ายอดเกสรตัวเมีย ซึ่งมีขนหรือปุ่มที่หนาแน่นปุกคลุมอยู่บนยอดเกสรตัวเมียโดยเป็นแหล่งผลิตน้ำหวานขึ้นมาสำหรับตักจับเกสรตัวผู้ เมื่อยอดเกสรตัวเมียยื่ดออกเต็มที่และมีลักษณะสีขาว แสดงว่าดอกบานเต็มที่และเข้าสู่ระยะที่พร้อมจะได้รับการถ่ายละอองเกสรและได้รับการผสมพันธุ์แล้ว เมื่อเกสรตัวผู้ตกลงบนยอดเกสรตัวเมีย จะถูกจับยึดโดยเยื่ออุ้มของเกสรตัวเมียทำให้มีการพองตัวและแทงหลอดละอองเกสร (pollen tube) ลงไปสู่ถุงหุ้มรังไข่ และผสมกับไข่อ่อน หลังจากผ่านกระบวนการนี้แล้วการผสมพันธุ์จึงเกิดขึ้นอย่างสมบูรณ์

4.2 เมล็ดหม่อน

เมล็ดหม่อนมีลักษณะเป็นรูปไข่ สีเหลืองอ่อนหรือเหลืองเข้ม ขนาดเล็ก ประมาณ 1×1 มิลลิเมตร เมล็ดในพลดรวมของหม่อนที่เกิดขึ้นทั้งหมดเป็นเมล็ดที่ได้รับการผสม เกสรอยู่บางส่วน แต่บางเมล็ดเป็นเมล็ดลีบที่ไม่ได้รับการผสมเกสร

4.3 ผลหม่อน

การพัฒนาการของผลหม่อนเริ่มจากดอกหม่อนแตกออกมาพร้อมกับใบ จะบานหลังจากแตกซ่อนในพร้อมช่อดอกประมาณ 8-12 วัน ดอกที่บานเต็มที่ยอดเกสรตัวเมียจะมีลักษณะสีขาวใส เมื่อได้รับการผสมเกสรจะเปลี่ยนเป็นสีเทาภายใน 3 วัน จากนั้นจะมีการพัฒนาของผล โดยสีของผลเริ่มจากสีเขียว ขาว ชมพู แดง และสีดำ รวมระยะเวลาหลังจากออกบานประมาณ 40-45 วันผลจะเริ่มสุกและแก่ ลักษณะผลหม่อนจะอวนน้ำและประกอบด้วยน้ำหวานเมื่อผลแก่เต็มที่ จากนั้นผลจะเริ่มน้ำลงมีปริมาณของแข็งที่ละลายน้ำได้ (Total soluble solid) และน้ำตาลรีดิวช์ (reducing sugar) เพิ่มขึ้นถึงระยะประมาณ 56 วันหลังจากออกบาน โดยจะมีน้ำตาลรีดิวช์สูงถึง 65 กรัมต่อลิตร แต่ปริมาณกรดจะลดลงเรื่อยๆ ทั้งนี้ลักษณะของสีของผลไม่สามารถบ่งชี้ถึงลักษณะของพันธุ์ได้ เช่น พันธุ์ white mulberry จะมีสีของผลสีขาว ชมพู แดง และสีดำ ผลจะมีความหวานมาก แต่จะมีส่วนของสารที่ให้ความเปรี้ยวปนอญด้วย พันธุ์ red mulberry มีผลสีแดงเข้มไปจนถึงดำ ส่วนพันธุ์ black mulberry มีผลขนาดใหญ่และมีความหวานอยู่มาก นอกจากนั้นผลหม่อนเป็นผลไม้ที่มีสัดส่วนของความหวาน และความเปรี้ยวที่สมดุลกัน กล่าวได้ว่าเป็นผลไม้ที่มีรสชาติเด็ดสุด ซึ่งรสชาติความเปรี้ยวของผลหม่อนจัดได้ว่ามีระดับใกล้เคียงกับผลขององุ่น ในแคนประเทศไทย เช่น ประเทศตุรกี และกรีซเน้นการผลิตผลหม่อนมากกว่าในหม่อนโดยผลหม่อนสามารถรับประทานในรูปของผลสด แห้ง หรือในรูปของผลิตภัณฑ์ที่ผ่านกระบวนการการผลิต (Ercisli and Orhan, 2006) อีกทั้งในประเทศไทยมี Morus nigra และ Morus alba ในรูปของผลสดหรือทำเป็นผลิตภัณฑ์ต่างๆ เช่น แยม แมมพิวสัม (marmalaid) น้ำผลไม้ ไอศครีม และ ไวน์ เป็นต้น (Pawlowsk et al., 2008)

นอกจากนี้ผลหม่อนยังเป็นแหล่งของน้ำตาล กรด และแอนโซไซดานิน ในประเทศไทยใช้เป็นยาสำหรับรักษาไข้ ป้องกันไม่ให้ตับถูกทำลาย ทำให้ห้อต่อแข็งแรง ช่วยในการขับถ่ายปัสสาวะ และลดความดันเลือด สามารถใช้เป็น warming agent ใช้เป็นยาบำบัดโรคบิด

ใช้เป็นยาบำรุง ยาระงับประสาท และยา nhuận เป็นต้น อีกทั้งยังมีรายงานว่าผลหม่อนมีสมบัติในการป้องกันการเกิดโรคเบาหวาน (antidiabetic) ป้องกันการปฏิกิริยาออกซิเดชัน (antioxidative) ป้องกันการอักเสบ (antiinflammatory) และมีรายงานว่าในผลหม่อนมีไนมัน กรดไนมัน วิตามินซี แร่ธาตุ สารประกอบฟีโนอลิก และฟลาโวนอยด์อีกด้วย (Bae and Suh, 2007; Pawlowsk *et al.*, 2008)

ตัวอย่างพันธุ์หม่อนรับประทานผลที่ปลูกในประเทศไทย

พันธุ์หม่อนที่ใช้ปลูกเพื่อเก็บผลหม่อน หรือเก็บใบหม่อนแล้วเก็บผลหม่อนเป็นผลพลอยได้ กือ

1. พันธุ์เชียงใหม่

หม่อนพันธุ์เชียงใหม่ เป็นพันธุ์หม่อนผลสดที่นำเข้ามาปลูกในประเทศไทยมานานหลายสิบปีแล้ว แต่ไม่ปรากฏหลักฐานชัดเจน อีกทั้งไม่มีชื่อพันธุ์มาก่อน หม่อนพันธุ์เชียงใหม่มีลักษณะเด่นดังนี้ ให้ผลผลิตผลสดไม่ต่ำกว่า 1,000 กิโลกรัมต่อไร่ต่อปี ผลมีขนาดใหญ่และปริมาณกรดสูง เหนาะทึ้งสำหรับบริโภคสด และการแปรรูป สามารถก้าวหนดเวลาให้ผลผลิตได้ด้วยวิธีการบังคับให้ออกดอกติดผลนอกรดูภายใน สามารถขยายพันธุ์ได่ง่าย พื้นที่แนะนำปลูกได้แก่พื้นที่ดอนของภาคเหนือ ภาคตะวันออก และภาคตะวันออกเฉียงเหนือ หากเป็นพื้นที่ที่สามารถให้น้ำได้ในระหว่างที่ต้นหม่อนออกดอกติดผลจนถึงเก็บเกี่ยวจะทำให้ได้ผลผลิตสูงขึ้น (ศูนย์หม่อน ใหม่เกลิน พระเกียรติฯ เชียงใหม่, 2550)

2. พันธุ์บุรีรัมย์ 60

หม่อนพันธุ์บุรีรัมย์ 60 เป็นพันธุ์หม่อนที่ปรับปรุงพันธุ์ โดยใช้หม่อนพื้นเมืองของไทย กือ พันธุ์หม่อนน้อย (เพชรผู้) ผสมกับหม่อนพันธุ์ที่นำเข้าจากต่างประเทศ กือพันธุ์จีนเบอร์ 44 (เพชรเมีย) หม่อนพันธุ์บุรีรัมย์ 60 เป็นพันธุ์ที่มีการเจริญเติบโตดีในใหญ่หนา ข้อปล้องอีสักยณะเด่นของหม่อนพันธุ์บุรีรัมย์ 60 กือตอบสนองต่อปัจจัยดี ให้ผลผลิตต่อไร่สูง ประมาณ 3,500 กิโลกรัม ต่อไร่ต่อปี และคาดว่าจะให้ผลผลิตผลหม่อนไม่ต่ำกว่า 500 กิโลกรัม ต่อไร่ ต่อปี การเจริญเติบโตดี อัตราการอกรากมาก ขนาดใบใหญ่หนา อ่อนนุ่ม ไม่เหี่ยวย่าง่าย มีการแตกกิ่งเร็ว ต้านทานต่อโรคใน

ด่าง และ ไม่เหมาะสมกับการปลูกในพื้นที่ที่มีความอุดมสมบูรณ์ต่ำ มีปริมาณน้ำฝนไม่พอเพียง (วสันต์, 2546; นิรนาม, 2547)

3. พันธุ์กำแพงแสน-เอ็มบี-42-1

หม่อนพันธุ์กำแพงแสน-เอ็มบี-42-1 เป็นหม่อนกินผลที่นำด้านพันธุ์มาจากประเทศสาธารณรัฐประชาชนจีน โดยเกยตรกร และทางโครงการวิจัยเพื่อพัฒนาระบบการเกษตรในเขตชานเมืองใหญ่ ศูนย์วิจัยเพื่อการพัฒนาระบบเกษตรกรรม (DORAS Center) มหาวิทยาลัยเกษตรศาสตร์ ได้นำมาปลูก ณ แปลงทดลอง 2 ภาควิชาพืชสวน คณะเกษตร มหาวิทยาลัยเกษตรศาสตร์ วิทยาเขตกำแพงแสน ผลหม่อนมีผลขนาดใหญ่และติดผลดก ผลอ่อนมีสีเขียว ผลแก่เมื่อสีแดง เมื่อสุกมีสีม่วงแดงถึงดำ รสหวานอมเปรี้ยวถึงหวานมากเมื่อสุกเต็มที่ หม่อนหม่อนพันธุ์กำแพงแสน-เอ็มบี-42-1 ไม่เพียงแต่ใช้บริโภคผลเท่านั้น แต่ยังให้ใบที่เหมาะสมกับการเลี้ยงไก่ เนื่องจากใบหนานจึงสามารถใช้ประโยชน์ทั้งเป็นหม่อนกินผลและหม่อนใบ สามารถให้ผลผลิตได้ตลอดทั้งปี โดยให้ผลผลิตของผลเฉลี่ย 1,760 กิโลกรัม ต่อไร่ ต่อปี (ปราโมทย์ และคณะ, 2552)

สารประกอบฟีโนอลิก

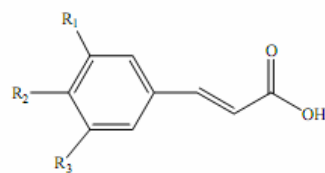
ปัจจุบันผู้บริโภคสนใจที่จะศึกษาบทบาทของสารประกอบฟีโนอลิกมากขึ้น เนื่องจากสามารถลดการเกิดโรคเรื้อรังต่างๆ เช่น โรคมะเร็ง โรคเกี่ยวกับหลอดเลือดหัวใจ อีกทั้งยังมีอิทธิพลต่อกลุ่มชาติเชื้อชาติ ความสามารถยับยั้งการเกิดปฏิกิริยาของอนุญลักษณะได้ ซึ่งปฏิกิริยานี้จะนำไปสู่การเกิดโรคเรื้อรังต่างๆ

สารประกอบฟีโนอลิกเป็นสารในกลุ่ม Secondary metabolite ปัจจุบันพบว่ามีสารประกอบฟีโนอลิกที่ทราบโครงสร้างแน่นอนแล้วกว่า 8,000 ชนิด ดังนั้นสารประกอบฟีโนอลิกที่มีไม่เล็กน้อยอย่างง่าย เช่น กรดฟีโนอลิก (phenolic acid) ไปจนถึงกลุ่มที่มีโครงสร้างเป็นโพลิเมอร์ (polymer) เช่น แทนนิน (tannin) เป็นต้น (วิวัฒน์, 2545) โครงสร้างทั่วไปของสารประกอบฟีโนอลิกประกอบด้วยเป็นวงอะโรเมติก (aromatic) และมีหมู่แทนที่เป็นหมู่ไฮดรอกซิล (hydroxyl group) อย่างน้อย 1 หมู่ (โอภา และคณะ, 2549) สามารถแบ่งได้ 3 กลุ่มใหญ่ที่สำคัญคือ กรดฟีโนอลิก ฟลาโนออยด์ (flavonoid) และแทนนิน (tannin) โดยในผลหม่อนมีสารประกอบฟีโนอลิกที่สำคัญอยู่ 2 กลุ่มใหญ่ ๆ คือ กรดฟีโนอลิก และฟลาโนออยด์ โดยเฉพาะอย่างยิ่งแอนโซไซดานิน

1. กรดฟีโนลิก (Phenolic acid)

กรดฟีโนลิก ประกอบด้วย กรดไฮดรอกซีซินนามิก (hydroxycinnamic acid) และ กรดไฮดรอกซีเบนโซอิก (hydroxybenzoic acid)

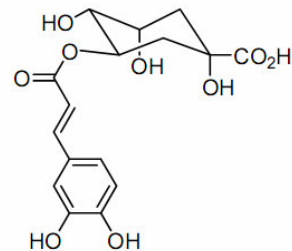
1.1 กรดไฮดรอกซีซินนามิก (Hydroxycinnamic acid)



ภาพที่ 4 โครงสร้างกรดไฮดรอกซีซินนามิก (Hydroxycinnamic acid)

ที่มา : Green (2007)

กรดไฮดรอกซีซินนามิก มีโครงสร้างหลักดังแสดงในภาพที่ 4 กรดไฮดรอกซี-ซินนามิกที่มักพบทั่วไปในพืช ได้แก่ กรดคาเฟอิก (caffeic acid) กรดเฟอรูริก (ferulic acid) กรดพาราคูมาริก (*p*-coumaric) และกรดซินแนปิก (sinapic acid) กรดเฟอรูริกคือกรดฟีโนลิกชนิดหลักที่พบในพืช เช่น ขัญพืช กาแฟ ผลไม้ และผัก ในธรรมชาติมักพบในรูปของ กรดไฮดรอกซีอสเทอร์ (hydroxyacid ester) โดยเกิดพันธะเอสเทอร์กับกรดควินิก (quinic acid) กรดชิกมิก (shikimic acid) กรดทาร์ทาริก (tartaric acid) ฟลาโวนอยด์ เชลลูโลส ลิกนิน หรือ โปรตีน ตัวอย่างเช่น กรดคลอโรจินิก (chlorogenic acid) (ภาพที่ 5) เกิดจากกรดทราบส์ซินนามิก เกิดพันธะเอสเทอร์กับกรดควินิก โดย 5-*O*-caffeoyle quinic acid คือกรดคลอโรจินิกที่พบมากที่สุด (Waterhouse, 2005; Green, 2007)

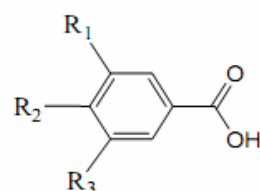


ภาพที่ 5 โครงสร้างกรดคลอโรจินิก (Chlorogenic acid)

ที่มา : Green (2007)

1.2 กรดไฮดรอกซีเบนโซอิก (Hydroxybenzoic acid)

กรดไฮดรอกซีเบนโซอิกส่วนมากพบในรูปของอนุพันธ์ และพบปริมาณน้อยในพืช ความหลากหลายของกรดไฮดรอกซีเบนโซอิกขึ้นอยู่กับการแทนที่ของหมู่ไฮดรอกซิลและเมทอกซิลบนวงของโรมาติก (ภาพที่ 6) โดยมากจะเกิดพันธะไกลโคไซด์หรือพันธะเอสเทอร์กับกรดอินทรีย์ เช่น กรดมาเลอิก (maleic acid) และกรดทาร์ทาริก (tartaric acid) หรือเกิดพันธะกับฟลาโวนอยด์ เป็นต้น ตัวอย่างกรดไฮดรอกซีเบนโซอิก เช่น กรดแกลลิก (gallic acid) กรดพาราไฮดรอกซีเบนโซอิก (*p*-hydroxybenzoic acid) และกรดวนิลลิก (vanillic acid) โดยกรดแกลลิก คือกรดไฮดรอกซีเบนโซอิกที่สามารถพบได้ทั่วไป กรดแกลลิก 2 โมเลกุลสามารถรวมตัวกันกลายเป็นกรดเอลลากิจิก (ellagic acid) ซึ่งกรดเอลลากิจิกนี้ได้รับความสนใจอย่างมากเนื่องจากมีคุณสมบัติในการต้านการเกิดมะเร็ง (anticarcinogenic) และต้านการเกิดออกซิเดชัน (antioxidant) ได้ (พิชญ์อร, 2549; Green, 2007)

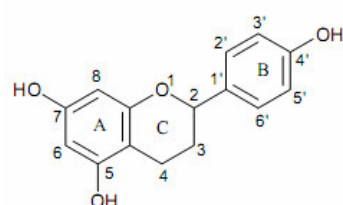


ภาพที่ 6 โครงสร้างกรดไฮดรอกซีเบนโซอิก (Hydroxybenzoic acid)

ที่มา : Green (2007)

2. ฟลาโวนอยด์ (Flavonoid)

ฟลาโวนอยด์จัดเป็นสารประกอบฟิโนลิกที่อุดมมากที่สุดในบรรดาสารประกอบฟิโนลิกจากพืชทั่วไปในพืชที่มีสีเขียว และพบในทุกส่วนของพืช ไม่ว่าจะเป็นใบ ราก เนื้อ ไม้ เปลือกต้น ดอก ผล หรือเมล็ด มีสูตรโครงสร้างหลักเป็นฟลาวน (flavan) หรือ 2-ฟิโนลเบนโซไฟрен (2-phenylbenzopyran) ประกอบด้วยคาร์บอน 15 อะตอมเรียงกันเป็นระบบ $C_6C_3C_6$ โดยมีวงบนซึ่ง 2 วงจับกันด้วยการบอน 3 อะตอม ซึ่งอาจจัดเรียงเกิดเป็นวงที่ 3 ทำให้โครงสร้างหลักที่ได้เหมือนโครงสร้างหลักของวิตามินอีที่เป็นโครงสร้างแบบโครแมน (chroman) หรือเบนโซไฟрен (benzopyran) (ภาพที่ 7) จากสูตรโครงสร้างหลักจะมีหมู่แทนที่ที่carban ตำแหน่งต่างๆ โดยเฉพาะที่วง A และ B ส่วนใหญ่จะเป็นหมู่ไฮดรอกซิล เม托กซิล และน้ำตาล ต่างๆ การแทนที่ของหมู่ต่างๆ เหล่านี้ทำให้เกิดเป็นฟลาโวนอยด์ในธรรมชาติที่แตกต่างกันเป็นจำนวนมาก ฟลาโวนอยด์มักพบในลักษณะของอนุพันธ์ของไกลโคไซด์ (glycoside) (วิวัฒน์, 2545; โอกาส และคณะ, 2549) และแบ่งเป็นกลุ่มย่อยได้ 6 กลุ่ม ได้แก่ แอนโซไซyanidin (anthocyanidin) ฟลาวนอล (flavanol) ฟลาโวนอล (flavonol) ฟลาโวน (flavone) ฟลาวนอน (flavanone) และ ไอโซฟลาโวน (isoflavone) แอนโซไซyaninคือฟลาโวนอยด์กลุ่มหลักที่พบในผลหม่อน (Kim and Lee, 2005)

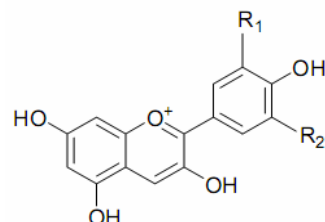


ภาพที่ 7 โครงสร้างหลักของสารประกอบฟลาโวนอยด์ (Flavonoid)

ที่มา : Green (2007)

2.1 แอนโธไซานินดิน (Anthocyanidin)

แอนโธไซานินดินและแอนโธไซานินคือสารสี (pigment) ที่มีโครงสร้างพื้นฐานเป็นแบบ diphenylpropanes ($C_6-C_3-C_6$) (ภาพที่ 8) สามารถละลายได้ในน้ำ (water-soluble) เป็นสารที่ทำให้เกิดสีแดง ชมพู ม่วง หรือน้ำเงินในพืช แอนโธไซานินอยู่ในรูปเอชิลไกลโคลโado (acylglycoside) ของแอนโธไซานินดิน (anthocyanidin (aglycone)) หรือที่เรียกว่าไกลโคลโado (glycoside) โดยมีโมเลกุลของน้ำตาลมาเกาะที่ตำแหน่งที่ 3 ของแอนโธไซานินดิน ความแตกต่างของแอนโธไซานินแต่ละชนิดจะขึ้นอยู่กับจำนวนของหมู่ไฮดรอกซิล ชนิดและจำนวนของน้ำตาลที่มาเกาะกับโมเลกุล ตำแหน่งที่เกาะ ชนิดและจำนวนของอะลิฟติก (aliphatic) หรือกรดอะโรมาติก (aromatic acid) ที่มาต่อ กับโมเลกุลของน้ำตาล (Kong *et al.*, 2003) ด้วยเหตุนี้จึงทำให้แอนโธไซานินส์มีสีตั้งแต่สีแดง น้ำเงิน จนถึงสีม่วง แอนโธไซานินดินที่พบมากที่สุดในพืชมี 6 ชนิด คือ เพลลาโภโนดิน (pelargonidin) ไซยานิดิน (cyanidin) เดลฟินิดิน (delphinidin) พีโอนิดิน (peonidin) พีทูนิดิน (petunidin) และมัลวิดิน (malvidin) แอนโธไซานินมีบทบาทสำคัญในการลดการเกิดโรคหลอดเลือดหัวใจ ช่วยในการมองเห็น อีกทั้งยังมีคุณสมบัติในการเป็นสารต้านออกไซเดชัน และต้านการเกิดมะเร็ง สามารถพบได้ทั่วไปในผักและผลไม้ต่างๆ เช่น สตรอเบอร์รี่ ผักกาดแดง บลูเบอร์รี่ อุ่งุ่น แบลคเบอร์รี่ ราสเบอร์รี่แดง พลัม เป็นต้น (Shahidi and Naczk, 2004; Stintzing and Carle, 2004; Giusti and Wrolstad, 2005)



ภาพที่ 8 โครงสร้างพื้นฐานของแอนโธไซานิน (Anthocyanin)

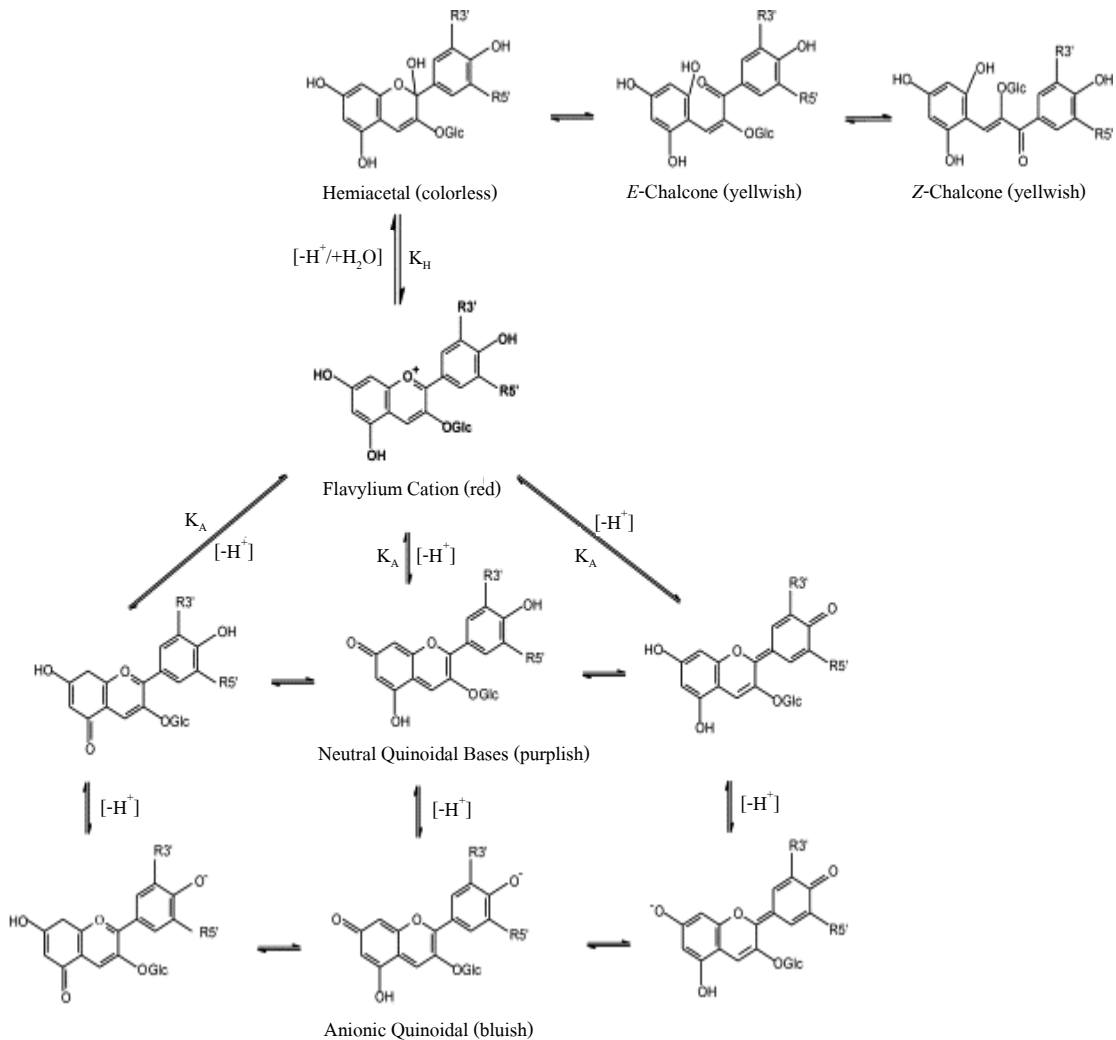
ที่มา : Green (2007)

ตารางที่ 1 ชนิดของแอนโซไซยานิดินที่พบมากที่สุดในพืชทั้ง 6 ชนิดและตำแหน่งการเติมหมู่ไฮดรอกซิล (hydroxyl) และหมู่เมทธิล (methyl)

แอนโซไซยานิดิน	ตำแหน่งการเติมหมู่ไฮดรอกซิลและหมู่เมทธิล		
	R ₃	R _{3'}	R ₅
เพลลาโกลนิดิน (pelargonidin)	H	H	H
ไซยานิดิน (cyanidin)	H	OH	H
เดลฟินิดิน (delphinidin)	H	OH	OH
พีโอนิดิน (peonidin)	H	OCH ₃	H
พีทูนิดิน (petunidin)	H	OCH ₃	OH
มัลวิดิน (malvidin)	H	OCH ₃	OCH ₃

ที่มา : ดัดแปลงจาก Kong *et al.* (2003)

แอนโซไซยานิมีอยู่ในสารละลายทำตัวเป็นอ่อนเป็นอ่อนดิเคเตอร์ จะเกิดการเปลี่ยนแปลงของโครงสร้าง และสีเมื่อค่าความเป็นกรด-ด่าง (pH) ของสารละลายเปลี่ยนแปลงไปโดยในสภาวะที่มีความเป็นกรด-ด่างต่ำหรือความเป็นกรด-ด่างกลาง แอนโซไซยานิจะมีโครงสร้างได้ทั้ง 4 แบบคือ flavylium cation quinoidal base carbinol pseudobase และ chalcone ที่ความเป็นกรด-ด่างต่ำกว่า 2 แอนโซไซยานิจะอยู่ในรูปของ flavylium cation (สีแดง) แต่เมื่อความเป็นกรด-ด่างเพิ่มขึ้น flavylium cation จะอยู่ในสภาวะที่ไม่เสถียรทำให้เกิดการเปลี่ยนแปลงโครงสร้างไปเป็น colourless pseudobase (ไม่มีสี) และ quinoidal base (สีน้ำเงิน) ดังภาพที่ 9



ภาพที่ 9 การเปลี่ยนแปลงโครงสร้างของแอนโซไซดานินที่ความเป็นกรด-ด่างต่างๆ

ที่มา : Stintzing and Carle (2004)

2.1.1 ปัจจัยที่มีผลต่อความคงตัวของแอนโซไซดานิน

2.1.1.1 อุณหภูมิ (Temperature)

แอนโซไซดานินสามารถถูกทำลายได้ด้วยความร้อนในระหว่างกระบวนการผลิตและในระหว่างการเก็บอาหาร. Markakis (1982) รายงานว่าเมื่อให้ความร้อนแก่สตอร์เบอร์รี่ที่อุณหภูมิ 100 องศาเซลเซียส เป็นเวลา 1 ชั่วโมงทำให้แอนโซไซดานินในสตอร์เบอร์รี่

เกิดการเสื่อมสลายไป 50% และมีค่าครึ่งชีวิตที่ 1 ชั่วโมง และ Kirca and Cemeroglu (2003) ศึกษาความคงตัวของแอนโธไซยานินของ blood orange ที่อุณหภูมิ 70 80 และ 90 องศาเซลเซียส พบร่วมกันว่า เมื่อให้ความร้อนที่อุณหภูมิสูงขึ้น ความคงตัวของ แอนโธไซยานินลดลง และมีค่าครึ่งชีวิตลดลง อีกทั้งในปี 2007 Kirca *et al.* ศึกษาความคงตัวของแอนโธไซยานินของแครอทม่วง (black carrot) ในสารละลายน้ำฟอสเฟตบัฟเฟอร์ที่ความเป็นกรด-ด่าง 2.5–7.0 โดยให้ความร้อนที่อุณหภูมิ 70 80 และ 90 องศาเซลเซียส พบร่วมกับความคงตัวของแอนโธไซยานินที่ความเป็นกรด-ด่างเดียวกันลดลง เมื่ออุณหภูมิเพิ่มขึ้น

2.1.1.2 ความเป็นกรด-ด่าง (pH)

แอนโธไซยานินมีความคงตัวในสารละลายน้ำฟอสเฟตบัฟเฟอร์ที่ความเป็นกรดมากกว่าในสารละลายน้ำฟอสเฟตบัฟเฟอร์ที่ความเป็นกรด-ด่าง 2.5–7.0 ที่อุณหภูมิต่างๆ กัน พบร่วมกับความคงตัวของแอนโธไซยานินลดลงอย่างมีนัยสำคัญทางสถิติ ($p \leq 0.05$) เมื่อสารละลายน้ำฟอสเฟตบัฟเฟอร์มีความเป็นกรด-ด่างมากกว่า 5.0 ในระหว่างที่ให้ความร้อน

2.1.1.3 แสง (Light)

แสงมีส่วนช่วยในการสังเคราะห์ (biosynthesis) แอนโธไซยานิน แต่ก็สามารถเร่งให้เกิดการเสื่อมสลายของแอนโธไซยานินได้ด้วย โดยมีรายงานว่าในแอปเปิลที่ซังไม่สุก เมื่ออยู่ในที่ที่มีแสงจะสุกและเปลี่ยนเป็นสีแดง แต่แอปเปิลที่อยู่ในที่ที่ไม่มีแสงยังคงมีสีเขียวอยู่ อีกทั้งยังมีรายงานว่าแสงแรงให้เกิดการเสื่อมสลายของแอนโธไซยานินที่สัดจากกากรุ่นในเครื่องคั่มอัดลม (Markakis, 1982)

2.1.1.4 เอนไซม์ (Enzyme)

เอนไซม์สามารถทำให้สีของแอนโธไซยานินซีดจางลงได้ โดยมีรายงานว่าเอนไซม์โพลีฟีนอลออกซิเดส (polyphenoloxidase หรือ PPO) สามารถเร่งการเสื่อมสลายของแอนโธไซยานินได้ แต่ถึงแม้ว่าโพลีฟีนอลออกซิเดสจะไม่สามารถทำปฏิกิริยากับ

แอนโซไไซยานินได้โดยตรง โดยทั่วไปแล้วโพลีฟีโนลออกซิเดสสามารถทำปฏิกิริยากับสารประกอบฟีโนลิกชนิดอื่นได้ดีกว่า โดย Fang *et al.* (2007) กล่าวว่าเมื่อโพลีฟีโนลออกซิเดสทำปฏิกิริยากับแคททีคิน(D-catechin) ทำให้สูญเสียแอนโซไไซยานินในสตรอเบอร์รี่ไปถึง 50-60 % ที่อุณหภูมิห้อง

2.1.1.5 ปฏิกิริยาคอนเดนเซชัน (Condensation)

แอนโซไไซยานินสามารถรวมตัวกันเองหรือรวมตัวกับสารประกอบอินทรีย์ตัวอื่นได้ เช่น กรดแอมิโนบางชนิด phloroglucinol catechin และ nucleophile นอกจากนี้ แอนโซไไซยานินยังสามารถรวมตัวกับ flavylium salt ได้เป็นสารประกอบที่ไม่มีสี ซึ่งสารประกอบที่เกิดขึ้นสามารถเกิดปฏิกิริยา และเกิดการเปลี่ยนแปลงต่อไปได้ (Markakis, 1982)

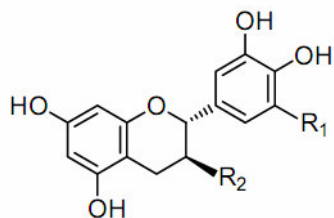
2.1.1.6 ซัลเฟอร์ไดออกไซด์ (Sulfer dioxide)

สีของแอนโซไไซยานินสามารถเกิดการซีดจางได้โดยซัลเฟอร์ได-ออกไซด์ ซึ่งมักพบในโรงงานอุตสาหกรรมที่เกี่ยวกับผลไม้ โดยซัลเฟอร์ไดออกไซด์ทำปฏิกิริยากับแอนโซไไซยานินเกิดสารประกอบเชิงซ้อนที่ไม่มีสี การซีดจางของสีนี้สามารถผันกลับหรือไม่ผันกลับก็ได้ (Markakis, 1982)

หน้าที่ที่สำคัญของแอนโซไไซยานินส่วนมาก คือการเป็นสิ่งที่ทำให้เกิดสีในพืชและผลิตภัณฑ์ที่มาจากการพืช ซึ่งช่วยในการดึงดูดสัตว์เพื่อทำให้เกิดการผสมเกสรดอกไม้และทำให้เกิดการแพร่กระจายของเมล็ดพันธุ์ และบทบาทหน้าที่อื่นๆ คือ สามารถทำหน้าที่ในการเป็นสารต้านออกซิเดชันและสารต้านจุลินทรีย์ได้ ในส่วนของการเป็นสารต้านออกซิเดชันนั้น แอนโซไไซยานินสามารถทำหน้าที่ในการเป็นตัวให้ไฮโดรเจนอะตอน (hydrogen donor) แก่อนุมูลอิสระ และทำหน้าที่ในการขับกับไอออนของโลหะเพื่อป้องกันการเกิดปฏิกิริยาออกซิเดชัน (Kong *et al.*, 2003) ด้วยเหตุนี้จึงสามารถป้องกันการเกิดโรคเรื้อรังต่างๆ ได้ เช่น โรคมะเร็ง โรคเบาหวาน โรคหัวใจ เป็นต้น

2.2 ฟลาวนอล (Flavanol)

ฟลาวนอลรู้จักกันดีในชื่อของเฟลวานทริโอลส์ (flavan-3-ols) มีโครงสร้างดังแสดงในภาพที่ 10 ในธรรมชาติพบในรูปของไกลโคน (aglycone) ซึ่งตรงข้ามกับฟลาโวนอยด์ส่วนใหญ่ที่มีกลุ่มในรูปที่ต่อ กับน้ำตาลหรือไกลโคไซด์ ตัวอย่างฟลาวนอลที่พบมาก เช่น แคททีคิน (catechin) อีพิแคททีคิน (epicatechin) และอีพิแกลโลแอกทีคิน (epigallocatechin) มีกลุ่มทั่วไปในชาชนิดต่างๆ เช่น ชาเขียว ชาอู่หลง และชาดำ เป็นต้น ฟลาวนอลสามารถเกิดปฏิกิริยาโพลิเมอไรเซชันเกิดเป็นโพรแอนโธไซยานินดิน (proanthocyanidin) ได้ (พิชญอร, 2549; Kim and Lee, 2005; Green, 2007)



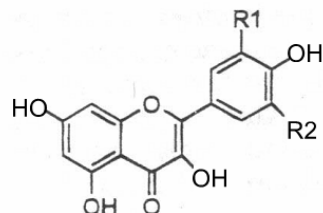
ภาพที่ 10 โครงสร้างพื้นฐานของฟลาวนอล (Flavanol)

ที่มา : Green (2007)

2.3 ฟลาโวนอล (Flavonol)

ฟลาโวนอลคือกลุ่มที่พบมากที่สุดในพืชเมื่อเทียบกับฟลาโวนอยด์กลุ่มอื่นๆ มีโครงสร้างคล้ายกับฟลาวนอล แตกต่างกันที่พันธะคู่ของอะตอนออกซิเจนที่จับที่ตำแหน่งที่ 4 ของวง C และตำแหน่งพันธะคู่ที่วง C อิกทั้งสองมีหมู่ไฮดรอกซิลเกาะอยู่ที่ตำแหน่งที่ 3 ของวง C (ภาพที่ 11) ปัจจุบันสามารถระบุชนิดของฟลาโวนอล ได้แล้วประมาณ 200 ชนิด การสังเคราะห์ฟลาโวนอลเป็นอยู่กับแสง ดังนั้นมักจะพบฟลาโวนอลบริเวณใบหรือผิวของผลไม้ และจะพบในปริมาณน้อยในพืชที่อยู่ใต้พื้นดิน ในธรรมชาติมักพบในรูปของไกลโคไซด์ ที่พบมากในผลไม้และผัก คือไกลโคไซด์ของเควอซิทิน (quercetin) ซึ่งคือเควอซิทิน-3-รูทิโนไซด์หรือรูทิน (rutin) (พิชญอร, 2549; Shahidi and Marian, 2004; Kim and Lee, 2005) Wada and Ou (2002) ศึกษาสารประกอบฟิวเลนใน red raspberry (*Rubus idaeus*) black raspberry (*Rubus occidentalis*)

marionberry (*Rubus ursinus*) และ vergreen blackberry (*Rubus laciniatus*) พบวมีเควอซิทิน-3-รูติโนไซด์เป็นองค์ประกอบ ส่วนที่อยู่ในรูปอะไกลโคนที่พบโดยทั่วไป ได้แก่ แคมเพอรอล (kaempferol) เควอซินติน (quercetin) และ ไมริซิทิน (myricetin) (ตารางที่ 3)



ภาพที่ 11 โครงสร้างพื้นฐานของฟลาโวนอล (Flavonol)

ที่มา : United state department of agriculture (USDA) (2003)

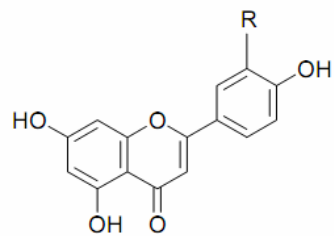
ตารางที่ 2 ชนิดของฟลาโวนอลและตำแหน่งการเติมหมู่ไฮดรอกซิลและหมู่เมทธิล

ฟลาโวนอล	ตำแหน่งการเติมหมู่ไฮดรอกซิลและหมู่เมทธิล	
	R ₁	R ₂
เควอซิทิน (quercetin)	OH	H
แคมเพอรอล (Kaempferol)	H	H
ไมริซิทิน (Myricetin)	OH	OH
ไอโซแรมนนิทิน (Isorhamnetin)	OCH ₃	H

ที่มา : ดัดแปลงจาก USDA (2003)

2.4 ฟลาโวน (Flavone)

ฟลาโวนคือกลุ่มของฟลาโวนอยด์ที่พบได้น้อยมากในพืช แต่มักพบในพืชตระกูลส้ม (citrus) Green (2007) กล่าวว่าปัจจุบันสามารถระบุชนิดของฟลาโวนได้ประมาณ 700 ชนิดในพืช ตัวอย่างของฟลาโวน ได้แก่ เอพิจินิน (apigenin) ลูติโลลิน (luteolin) และ โรอิโฟลิน (rhoifolin) เป็นต้น (Kim and Lee, 2005)

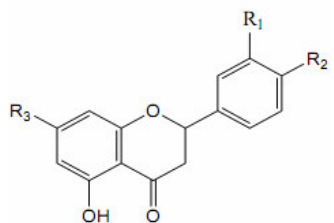


ภาพที่ 12 โครงสร้างพื้นฐานของฟลาโวน (Flavone)

ที่มา : Green (2007)

2.5 ฟลาวะโนน (Flavanone)

ฟลาวะโนนมักพบในพืชตระกูลส้ม ในธรรมชาติมักพบในรูปของไกลโคไซด์ ตัวอย่างเช่น เอสเพอริดิน (hesperidin) นาริงjin (naringin) และนีโอเอสเพอริดิน (neohesperidin) เป็นต้น (Kim and Lee, 2005)

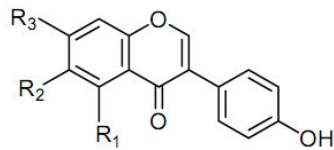


ภาพที่ 13 โครงสร้างพื้นฐานของฟลาวะโนน (Flavanone)

ที่มา : Green (2007)

2.6 ไอโซฟลาโวน (Isoflavone)

ไอโซฟลาโวนมักพบในพืชตระกูลถั่วที่มีลักษณะเป็นฝัก (legumes) เช่น ไดซีน (daidzein) จีนิสทีน (genistein) ไกลซิทีน (glycitein) ไดซิน (daidzin) จีนิสทิน (genistin) และ ไกลซิทิน (glycitin) เหล่านี้คือไอโซฟลาโวนที่สำคัญในพืช (วิวัฒน์, 2549; Kim and Lee, 2005)



ภาพที่ 14 โครงสร้างพื้นฐานของไอโซฟลาโวน (Isoflavone)

ที่มา : Green (2007)

ตารางที่ 3 แหล่งของพีชที่พบฟลาโวนอยด์ชนิดต่างๆ

Source	Subclass	Flavonoid
Cherry		cyanidin, delphinidin, malvidin, peonidin, petunidin
Elderberry	anthocyanin	cyanidin
Red onions		cyanidin
Blueberries		cyanidin, delphinidin, malvidin, pelargonidin
Raspberries		cyanidin, delphinidin, malvidin, pelargonidin
Mushrooms		epicatechin, epicatechin 3-gallate, epigallocatechin
Olives		catechin, gallicatechin, epigallicatechin 3-gallate
Black Tea	flavanol	epicatechin, epicatechin 3-gallate, epigallocatechin, catechin, theaflavin
Peaches		epicatechin, epigallicatechin 3-gallate, gallicatechin
Peppers		quercetin
Radishes	flavonol	kaempferol, myricetin, quercetin
Tomato		kaempferol, quercetin
Strawberries		kaempferol, myricetin, quercetin

ตารางที่ 3 (ต่อ)

Source	Subclass	Flavonoid
Oolong Tea		apigenin, luteolin
Basil	flavone	apigenin, luteolin
Apricots		apigenin, luteolin
Blood orange		eriodictyol, hesperetin, naringenin
Lemons	flavanone	eriodictyol, hesperetin, naringenin
Sour orange		eriodictyol, hesperetin, naringenin
Grapefruit		naringenin, eriodictyol, hesperetin, naringenin

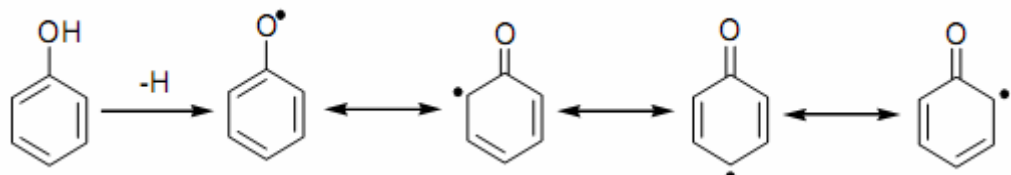
ที่มา : USDA (2003)

พืชสร้างสารประกอบฟิโนอลิกขึ้นเพื่อใช้ประโยชน์ในการเจริญเติบโต และใช้เป็นกลไกในการป้องกันอันตรายต่างๆ ให้กับพืช เช่น ฟลาโวนอยด์มีบทบาทในกรองรังสีรังสีอัลตราไวโอเลต (UV) ซึ่งเป็นรังสีที่สามารถทำลายเซลล์พืชได้ โดยเฉพาะอย่างยิ่งฟลาโวนและฟลาโวนอลสามารถดูดกลืนแสงในช่วงของแสง UV-B (280-320 นาโนเมตร) ซึ่งเป็นช่วงความยาวคลื่นที่สามารถทำลายกรดนิวคลีอิกและ metabolic enzyme ของพืช อีกทั้งสารประกอบฟิโนอลิกบางชนิด เช่น แคมเฟอรอล และเคอไซติน-3-กลูโคไซด์ สามารถยับยั้งเชื้อร้า (*Verticillium fungi*) ที่เป็นสาเหตุทำให้ใบร่วงได้ โดยกลไกที่ใช้ยับยั้งจุลินทรีย์คือ สารประกอบฟิโนอลิกจะเข้าไปยับยั้งการทำงานของเอนไซม์ของจุลินทรีย์ และเข้าไปทำปฏิกิริยาเกิดสารประกอบเชิงซ้อนกับโปรตีนภายนอกเซลล์ เป็นสาเหตุให้ผนังเซลล์ของจุลินทรีย์แตก (Green, 2007) อีกทั้งสารประกอบฟิโนอลิก โดยเฉพาะอย่างยิ่งแอนโธไซยานินยังมีบทบาทในการดึงดูดสัตว์ นก และแมลงเพื่อช่วยในการผสมพันธุ์หรือผสมเกสรขยายพันธุ์ของพืชแต่ละชนิด (วิวัฒน์, 2545) อีกทั้งยังมีความสำคัญต่อคุณภาพทางปราสาทสมัพส (สี กลิ่นรส และรสชาติ) ของผลไม้สด ผักสด และผลิตภัณฑ์ต่างๆ (Kim et al., 2003)

ความสามารถต้านออกซิเดชันของสารประกอบฟีโนลิก

สารประกอบฟีโนลิกในผักและผลไม้มีประโยชน์ต่อสุขภาพสามารถป้องกันการเกิดโรคเรื้อรังต่างๆ ได้ เช่น โรคหัวใจ และโรคมะเร็ง เป็นต้น ต้านการอكسิเจน ต้านการแฟ้ และมีคุณสมบัติในการละลายลิ่มเลือด รวมไปถึงการเป็นสารต้านการก่อมะเร็ง และสามารถลดความดันโลหิตจากฤทธิ์ขยับหลอดเลือด เป็นต้น (โภกา และคณะ, 2549) เนื่องจากสารประกอบฟีโนลิกนี้ ความสามารถต้านออกซิเดชันได้ Green (2007) กล่าวว่าความสามารถต้านออกซิเดชันของสารประกอบฟีโนลิกมีกลไกการเกิดปฏิกิริยาอยู่ 3 กลไก ดังนี้

1. ความสามารถในการจับกับอนุมูลอิสระ (scavenging free radical) สารที่สามารถจับกับอนุมูลอิสระ ได้คือสารที่สามารถให้อิเล็กตรอนหรือไฮโดรเจนอะตอนแก่อนุมูลอิสระ เพื่อยับยั่งไม่ให้ออนุมูลอิสระเกิดปฏิกิริยาต่อ ได้ ความสามารถในการจับกับอนุมูลอิสระของสารประกอบฟีโนลิกเกี่ยวกับการที่สารประกอบฟีโนลิกสามารถให้ไฮโดรเจนแก่อนุมูลอิสระ แล้วสารประกอบฟีโนลิกก็จะเปลี่ยนไปเป็นอนุมูลฟีโนล (phenol radicals) ซึ่งเป็นโครงสร้างที่มีความคงด้วยเนื่องจากอิเล็กตรอนคู่โดดเดี่ยวจะเกิด resonance-stabilized delocalization ภายในวงอะโรมาติก (ภาพที่ 15) ดังนั้นอนุมูลฟีโนลจึงเกิดปฏิกิริยาต่อได้ยาก เป็นการชะลอการเกิดปฏิกิริยาออกซิเดชัน



ภาพที่ 15 การเกิด delocalization ของอิเล็กตรอนคู่โดดเดี่ยวของอนุมูลฟีโนล

ที่มา : Green (2007)

2. ความสามารถในการจับกับโลหะ (chelating transition-metals) สารประกอบฟีโนลิกสามารถจับกับโลหะ ซึ่งโลหะเป็นตัวเร่งให้เกิดปฏิกิริยาออกซิเดชัน โดยกรดฟีโนลิกและฟลาโวนอยด์สามารถเกิดสารประกอบเชิงช้อนกับเหล็ก (iron) และคอปเปอร์ไอออน (copper iron) ได้

3. ขั้นตอนการทำงานของเอนไซม์ที่เป็นตัวเร่งให้เกิดอนุมูลอิสระ โดยสารประกอบฟินอลิกสามารถขับยิ่งการทำงานของเอนไซม์ที่เกี่ยวข้องกับการเกิดอนุมูลอิสระได้ เช่น ในตระกูลออกไซด์ซินเทส (nitric oxide synthase) ไทโรซีนไคเนส (tyrosine kinase) และแซนทีโนออกซิเดส (xanthine oxidase)

สารต้านออกซิเดชัน

สารต้านออกซิเดชัน (antioxidant) หมายถึงสารที่มีปริมาณน้อยเมื่อเทียบกับสารตั้งต้น (substrate) ทำหน้าที่ลดหรือขับยึงปฏิกิริยาที่ก่อให้เกิดออกซิเจนหรือสารเพอร์ออกไซด์ (peroxide) หรือหมายถึงสารในอาหารที่มีผลในการลด reactive oxygen species (ROS) หรือ reactive nitrogen species (RNS) ในร่างกาย (Huang *et al.*, 2005) ได้แก่ อนุมูลชูปเปอร์ออกไซด์ (superoxide radical, O_2^\cdot) อนุมูลไฮดรอกซิล (hydroxyl radical, $\cdot OH$) อนุมูลไฮโดรเพอร์ออกซิล (hydroperoxyl radical, HO_2^\cdot) อนุมูลเพอร์ออกซิล (peroxyl radical, RO_2^\cdot) อนุมูลแอลกอออกซิล (alkoxy radical, RO^\cdot) อนุมูลไนตริกออกไซด์ (nitric oxide radical, NO^\cdot) อนุมูลไนโตรเจนไดออกไซด์ (nitrogen dioxide, NO_2^\cdot) (โอภา และคณะ, 2549)

สารต้านออกซิเดชันสามารถช่วยยืดอายุการเก็บอาหาร โดยเฉพาะอย่างยิ่งในมันหรืออาหารที่มีไขมันเป็นองค์ประกอบ โดยช่วยชะลอการขั้นตอนการเกิด lipid peroxidation ซึ่งเป็นสาเหตุหลักที่ทำให้อาหารเกิดการเสื่อมเสียในระหว่างกระบวนการผลิตหรือการเก็บรักษา (Goli *et al.*, 2005)

โอภา และคณะ (2549) และ Prior *et al.* (2005) รายงานว่าสารต้านออกซิเดชันสามารถแบ่งได้อย่างน้อย 4 กลุ่ม ดังนี้คือ

1. เอนไซม์ ในระดับเซลล์เอนไซม์เป็นกลไกสำคัญขั้นแรกที่ทำหน้าที่ควบคุมปริมาณอนุมูลอิสระให้อยู่ในสมดุล เอนไซม์ที่สำคัญได้แก่ เอนไซม์ชูปเปอร์ออกไซด์ดิสมิวเทส (superoxide dismutase หรือ SOD) เอนไซม์กลูต้าไทด์โโนนเพอร์ออกซิเดส (glutathione peroxidase หรือ GPX) และเอนไซม์คاتาเลส (catalase หรือ CAT) เป็นต้น

2. สารที่มีโมเลกุลขนาดใหญ่ เช่น อัลบูมิน (albumin) เซรูโลพลาสมิน (ceruloplasmin) เฟอร์ริติน (ferritin) และ โปรตีนชนิดอื่นๆ โดยโปรตีนจับและแยกโลหะที่เกี่ยวข้องในขั้นตอนการเกิดอนุมูลไฮดรอกซิດ ($\cdot\text{OH}$) เข้ามาร่วมไว้ในโครงสร้างให้อยู่ในรูปสารประกอบเชิงซ้อน โลหะจึงไม่สามารถทำหน้าที่เร่งปฏิกิริยาการเกิดอนุมูลอิสระได้
3. สารที่มีโมเลกุลขนาดเล็ก เช่น วิตามินซี (ascorbic acid) กลูต้าไธโอน (glutathione) กรดยูริก (uric acid) วิตามินอี (tocopherol) แครอทีนอยด์ (carotenoid) และสารประกอบฟีโนอลิก เป็นต้น สารต้านออกซิเดชันในกลุ่มนี้จะหยุดปฏิกิริยาลูกโซ่ของการเกิดอนุมูล เช่น วิตามินอีทำปฏิกิริยาจัดอนุมูลอิพิเดปอร์ออกซีและไดเป็นอนุมูลวิตามินอี (E-O⁺) ซึ่งอนุมูลวิตามินอีเป็นอนุมูลที่มีความไวต่อการทำให้ไม่สามารถเกิด lipid peroxidation ต่อไปได้
4. ฮอร์โมนบางชนิด เช่น เอสโตรเจน (estrogen) แอนจิโอเทนซิน (angiotensin) และเมลาโทนิน (melatonin) เป็นต้น

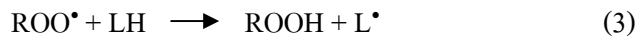
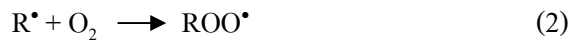
1. หลักการวัดสมบัติการต้านออกซิเดชัน

ปฏิกิริยาเคมีที่เกี่ยวข้องกับหลักการวัดการต้านออกซิเดชันสามารถแบ่งได้ 2 กลุ่มดังนี้

1.1 วิธีการวัดการแลกเปลี่ยนอะตอมไฮโดรเจน (hydrogen atom transfer (HAT) reaction)

Huang *et al.* (2005) รายงานว่าหลักการนี้เป็นการวัดความสามารถในการแพร่ขั้นกันในเชิงจลดาศาสตร์ หลักการนี้ประกอบด้วยสารที่ผลิตอนุมูลอิสระ (synthetic free radical generator) สารตั้งต้นของปฏิกิริยา (oxidizable molecular probe) และสารต้านออกซิเดชัน (antioxidant) ขั้นตอนเริ่มต้นสารประกอบอะโซ (azo compound) จะถูกกระตุ้น โดยทั่วไปจะใช้ความร้อนในการกระตุ้นเพื่อทำให้เกิดการสลายตัวกลาญเป็นอนุมูลเพอร์ออกซิลเพื่อเป็นตัวแทนของอนุมูลอิสระในธรรมชาติ การเกิดปฏิกิริยาเป็นไปตาม 4 ขั้นตอน ดังนี้

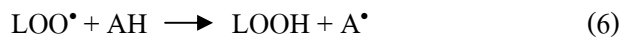
Initiation



Propagation



Inhibition



Termination



เมื่อ

R_2N_2 = สารประกอบอะโซ (azo compound)

ROO^\bullet = อนุมูลเพอร์ออกซิล (peroxyl radical)

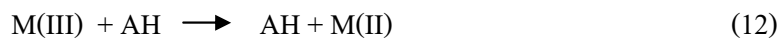
LH = สารตั้งต้น (substrate)

AH = สารต้านออกซิเดชัน (antioxidant)

วิธีการวิเคราะห์ในกลุ่มนี้ได้แก่ Oxygen radical absorbance capacity (ORAC) assay และ total radical trapping antioxidant parameter (TRAP) assay ซึ่ง 2 วิธีนี้จะวัดปริมาณไฮโดรเจนอะตอมที่มีการแตกเปลี่ยน โดยวัดการเรืองแสงของสารฟลูออเรสเซนต์ที่ลดลงเมื่อเกิดการออกซิเดชัน เมื่อระบบมีสารต้านออกซิเดชัน สารต้านออกซิเดชันจะไปแย่งจับกับสารเรืองแสงทำให้ความเข้มของสารฟลูออเรสเซนต์ลดลงด้วยความเร็วที่ช้าลง

1.2 วิธีการวัดการแตกเปลี่ยนอิเล็กตรอนเดียว (single electron transfer (SET) reaction)

วิธีการนี้เป็นการหาความสามารถในการส่งผ่านอิเล็กตรอนไปยังสารอื่น ได้แก่ โลหะ และอนุมูลอิสระ ดังสมการที่ 9-12 (Prior *et al.*, 2005)



Huang *et al.* (2005) รายงานว่าวิธีนี้ประกอบด้วยส่วนผสมของสาร 2 ชนิดคือ สารต้านออกซิเดชัน และสารออกซิไดซ์ (probe) และเกิดปฏิกิริยาตามสมการที่ 13



Probe ซึ่งคือสารออกซิไดซ์จะรับอิเล็กตรอนจากสารต้านออกซิเดชัน ทำให้ probe เปลี่ยนสี การเปลี่ยนสีของ probe จะเป็นสัดส่วนกับปริมาณสารต้านออกซิเดชัน คือถ้าสารต้านออกซิเดชันมีความเข้มข้นมากสีของ probe ก็จะลดลงเร็ว วิธีการในกลุ่มนี้ ได้แก่ total phenols assay by Folin-Ciocalteu reagent (FCR) Trolox equivalent antioxidant capacity (TEAC) assay Ferric ion reducing antioxidant power (FRAP) assay และ 2, 2-diphenyl-1-picrylhydrazyl (DPPH) radical scavenging capacity assay

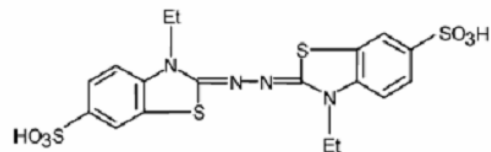
1.2.1 Total phenols assay by Folin-Ciocalteu reagent (FCR)

วิธีการนี้เป็นการวัดความสามารถในการรีดิวซ์ของสาร หลักการคือสารประกอบฟินอลิกสามารถเกิดปฏิกิริยากับโฟลิน-ซีโอลีโคธาตุ (Folin-Ciocalteu reagent (FCR)) ภายใต้สภาวะที่เป็นด่าง (เมื่อเติมด้วยโซเดียมคาร์บอนเนตซึ่งมีความเป็นกรด-ด่างประมาณ 10) สารประกอบฟินอลิกจะเกิดการแตกตัวได้เป็นฟินอลे�ทแอน (phenolate anion) สามารถรีดิวซ์โฟลิน-ซีโอลีโคธาตุ ทำให้เกิดสารประกอบที่ให้สีน้ำเงิน ทำการวัดค่าการดูดกลืนแสงที่ความยาวคลื่น 760 นาโนเมตร

1.2.2 Trolox equivalent antioxidant capacity (TEAC) assay หรือ ABTS assay

วิธีการนี้เป็นการวัดความสามารถในการยับยั้งอนุมูลอิสระ ABTS (ABTS radical cation, ABTS⁺) เปรียบเทียบกับ Trolox วัดได้จากการลดลงของสีในสารละลาย โดยสาร ABTS

(2, 2-azonobis-(3-ethylbenzothiazoline-6-sulphonate)) มีสูตรโครงสร้างดังแสดงในภาพที่ 16 ซึ่งในสภาวะปกติคุณลักษณะที่ความยาวคลื่น 342 นาโนเมตร เมื่อถูกกระตุ้นให้ผลิตอนุมูลอิสระจะเปลี่ยนมาคุณลักษณะที่ความยาวคลื่น 414 นาโนเมตร



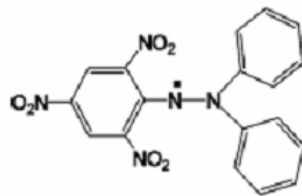
ภาพที่ 16 โครงสร้างทางเคมีของ ABTS

ที่มา: Prior *et al.* (2005)

ข้อดีของวิธี TEAC คือ ทำได้ง่าย โดยอนุมูลอิสระ ABTS จะทำปฏิกิริยาอย่างรวดเร็วกับสารต้านอนุมูลอิสระภายใน 30 นาที ปกติใช้เวลาประมาณ 5 นาที การวิเคราะห์ทำได้ในช่วงความเป็นกรด-ด่างกว้างทำให้สามารถศึกษาผลได้โดยละเอียด อนุมูลอิสระ ABTS ละลายได้ทั้งในน้ำและสารทำละลายอินทรีย์ ใช้วิเคราะห์หาความสามารถในการต้านออกซิเดชันของสารต่างๆ ไม่ว่าจะเป็นสารที่ละลายน้ำ หรือสารที่ละลายในไขมัน ข้อเสียคือ อนุมูลอิสระ ABTS ไม่เป็นสารตามธรรมชาติที่ก่อให้เกิดอนุมูลอิสระในเซลล์หรือในร่างกาย (โօภา และคณะ, 2549)

1.2.3 2, 2-diphenyl-1-picrylhydrazyl (DPPH) radical scavenging capacity assay

วิธีการนี้เป็นวิธีที่วัดความสามารถต้านอนุมูลอิสระ DPPH (2, 2-diphenyl-1-picrylhydrazyl) (ภาพที่ 17) โดยวัดได้จากการซึ่ดจางของสีที่ความยาวคลื่น 515 นาโนเมตร อนุมูลอิสระ DPPH เป็นหนึ่งในสองลึงสามชนิดของอนุมูลอิสระที่มีความคงตัว มีสีม่วงเมื่อออยู่ในรูปอนุมูลอิสระแล้วโดยไม่ต้องทำปฏิกิริยาเหมือนกับอนุมูลอิสระ ABTS สามารถคุณลักษณะที่ความยาวคลื่น 515 นาโนเมตร (โօภา และคณะ, 2549; Huang *et al.*, 2005)



ภาพที่ 17 โครงสร้างทางเคมีของ DPPH

ที่มา: Prior *et al.* (2005)

ข้อดีของวิธีนี้คือ ง่าย ใช้เครื่องมือสามัญทั่วๆ ไป นิยมใช้เป็นวิธีเบื้องต้นในการทดสอบฤทธิ์ต้านอนุมูลของสารต้านอนุมูลอิสระจากธรรมชาติ ข้อเสียของวิธีนี้คือ อนุมูลอิสระ DPPH มีความคงตัวไม่ไวต่อปฏิกิริยาเคมีอนอนุมูลอิสระที่เกิดขึ้นในเซลล์หรือร่างกาย ดังนั้นวิธีนี้ จึงไม่สามารถแยกแยะ หรือจัดอันดับอนุมูลอิสระที่ความไวสูงได้ นอกจากนี้ โครงสร้างทางเคมีของอนุมูลอิสระ DPPH ที่แสดงในภาพที่ 17 จะเห็นว่าอิเล็กตรอนเดียวของอนุมูลอิสระถูกบดังด้วย วงบนซึ่น 3 วงและหมุนไปๆ ทำให้สารต้านอนุมูลที่มีฤทธิ์แรงแต่มีขนาดใหญ่ไม่สามารถเข้าไปทำปฏิกิริยาหรือเกิดปฏิกิริยาซักก่าวความเป็นจริง นอกจากนี้ สารรีดิวช์สามารถทำให้สีของอนุมูลอิสระ DPPH จางลงได้อีกด้วย (โอภา และคณะ, 2549)

ในปัจจุบันมีการศึกษาเกี่ยวกับชนิดและปริมาณของสารประกอบฟินอลิกและ ความสามารถต้านออกซิเดชันของผลหม่อน เนื่องจากมีรายงานว่าผลหม่อนมีสมบัติในการป้องกัน การเกิดโรคเบาหวาน (antidiabetic) ป้องกันการปฏิกิริยาออกซิเดชัน (antioxidative) ป้องกันการ อักเสบ (anti-inflammatory) ดังที่กล่าวไปข้างต้น ในปี 2006 Oki *et al.* ศึกษาการเปลี่ยนแปลง สมบัติการต้านอนุมูลอิสระและองค์ประกอบของผลหม่อนสายพันธุ์ต่างๆ ในประเทศไทยปั่นใน ระหว่างการเจริญเติบโต พบร่วมกับผลหม่อนทั้ง 8 สายพันธุ์มีกรดฟินอลิกและแอนโซไซยานินส์เป็น องค์ประกอบ และสามารถแสดงสมบัติการต้านอนุมูลอิสระ DPPH โดยมีสมบัติการต้านอนุมูล อิสระอยู่ระหว่าง 2.5-20.3 มิลลิโมลสมมูลของ Trolox ต่อกรัมของน้ำหนักสด อีกทั้ง Bea and Suh (2007) รายงานว่าผลหม่อน (*Morus alba L.*) ในประเทศไทยลีสารสามารถแสดงสมบัติการต้าน ออกซิเดชันไม่ว่าจะเป็นสมบัติการต้านอนุมูลอิสระ DPPH สมบัติการต้านอนุมูล ไฮดรอกซิล สมบัติการต้านอนุมูลชุบเปอร์ออกไซด์แอนโซไซต์ และความสามารถในการรีดิวช์ เป็นต้น ซึ่ง สมบัติการต้านออกซิเดชันเหล่านี้เป็นผลมาจากการประกอบฟินอลิกที่มีในผลหม่อน อีกทั้งในปี

เดียวกัน Ercisli and Orhan ศึกษาองค์ประกอบทางเคมีของผลหม่อน 3 species “ได้แก่” white mulberry (*Morus alba*) red mulberry (*Morus rubra*) และ black mulberry (*Morus nigra*) พบร้า black mulberry มีปริมาณสารประกอบฟีโนลิกและฟลาโวนอยด์ทั้งหมดมากที่สุด โดยมีปริมาณเท่ากับ 1,422 มิลลิกรัมสมมูลของกรดแกลลิกต่อ 100 กรัมน้ำหนักสด และ 276 มิลลิกรัมสมมูลของเควอชิทินต่อ 100 กรัมน้ำหนักสด และ Lin and Tang (2007) รายงานว่าผลหม่อนมีปริมาณสารประกอบฟีโนลิกทั้งหมดและปริมาณฟลาโวนอยด์ทั้งหมดมากที่สุดเมื่อเปรียบเทียบกับสตรอเบอร์รี่ พลัม พริกไทย (เขียว เหลือง และแดง) ผักชน ห้อมหัวใหญ่ เมล่อน และบีทรูท โดยมีปริมาณสารประกอบฟีโนลิกทั้งหมดเท่ากับ 1515.9 ± 5.7 มิลลิกรัมสมมูลของกรดแกลลิกต่อ 100 กรัมน้ำหนักสด และมีปริมาณฟลาโวนอยด์ทั้งหมดเท่ากับ 250.1 ± 6.3 มิลลิกรัมสมมูลของเควอชิทินต่อ 100 กรัมน้ำหนักสด

ปัจจัยที่มีผลต่อการเปลี่ยนแปลงสารประกอบฟีโนลิกและความสามารถต้านออกซิเดชันของพืช

ปริมาณสารประกอบฟีโนลิกและความสามารถต้านออกซิเดชันของพืชแต่ละชนิดมีความแตกต่างกัน นอกจากนี้ปริมาณสารประกอบฟีโนลิกและความสามารถต้านออกซิเดชันยังขึ้นอยู่กับปัจจัยหลายประการ เช่น สายพันธุ์ ระยะเวลาเจริญเติบโต ฤดูกาล และ species เป็นต้น

1. สายพันธุ์

สายพันธุ์คือหนึ่งในปัจจัยที่ส่งผลต่อปริมาณและองค์ประกอบของสารประกอบฟีโนลิก (Kim *et al.*, 2003) Orak (2007) ทำการศึกษาปริมาณแอนโซไซยานินส์ทั้งหมด ปริมาณสารประกอบฟีโนลิกทั้งหมด และความสามารถต้านออกซิเดชันของสารสกัดจากองุ่นสายพันธุ์ต่างๆ 16 สายพันธุ์ พบว่าองุ่นสายพันธุ์ต่างๆ มีปริมาณแอนโซไซยานินส์ทั้งหมด สารประกอบฟีโนลิกทั้งหมดแตกต่างกัน ส่งผลให้มีความสามารถต้านออกเดชันแตกต่างกันด้วย ในปี 2008 Ozgen *et al.* ศึกษาสมบัติทางเคมีและสมบัติการต้านออกซิเดชันของทับทิม (*Punica granatum* L.) 6 สายพันธุ์ โดยทำการวิเคราะห์ปริมาณสารประกอบฟีโนลิกทั้งหมด ปริมาณแอนโซไซยานินส์ทั้งหมด สมบัติการต้านออกซิเดชัน 2 วิธี “ได้แก่” FRAP (ferric reducing antioxidant power) และ TEAC (trolox equivalent antioxidant capacity) assays พบร้าทับทิมทั้ง 6 สายพันธุ์มีปริมาณสารประกอบฟีโนลิกทั้งหมดอยู่ระหว่าง 1,245 ถึง 2,076 มิลลิกรัมสมมูลของกรดแกลลิกต่อน้ำทับทิม 1 กิโล และมีปริมาณแอนโซไซยานินส์ทั้งหมดอยู่ระหว่าง 6.12 ถึง 219 มิลลิกรัมสมมูล

ของ ไซyanidin-3-กลูโคไซด์ต่อนำ้ทับทิม 1 ลิตร โดยแต่ละสายพันธุ์มีปริมาณสารประกอบฟินอลิกทึ้งหมด แอน โซไซyanินส์ทึ้งหมด และความสามารถต้านออกซิเดชันที่แตกต่างกัน

2. ระยะการเจริญเติบโต

ระยะการเจริญเติบโตคืออีกปัจจัยหนึ่งที่สำคัญที่มีอิทธิพลต่อสารชีวเคมี ลักษณะทางกายภาพ และการเปลี่ยนแปลงทางโครงสร้างของผลไม้และผัก (Menichini *et al.*, 2009) Lima *et al.* (2005) ศึกษาปริมาณสารประกอบฟินอลิกและแครโตรทินอยด์ของผล Acerola fruit (*Malpighia emarginata* D.C.) ที่ทำการเก็บเกี่ยวที่ 3 ระยะการเจริญเติบโตคือ initial stage (ผลมีสีเขียวทึ้งหมด) half-mature (ผลมีสีเหลืองถึงสีแดง) และ completely mature (ผลสีแดงถึงสีม่วง) พบร้าสารประกอบฟินอลิกของผล Acerola บางสายพันธุ์มีปริมาณลดลงเมื่อมีการเจริญเติบโตมากขึ้น ตรงข้ามกับปริมาณของแครโตรทินอยด์ โดยแครโตรทินอยด์จะมีปริมาณเพิ่มมากขึ้นเมื่อผล Acerola เจริญเติบโตมากขึ้น และ Castrejon *et al.* (2008) ตรวจสอบการเปลี่ยนแปลงของสารประกอบฟินอลิกและสมบัติการต้านออกซิเดชันของบลูเบอร์รี (*V. corymbosum* L.) ในระหว่างการเจริญเติบโตและการสุก พบร้าเมื่อบลูเบอร์รีมีการเจริญเติบโตมากขึ้นจะมีการสะสมแอนโซไซyanินมากขึ้น ในขณะที่ฟลาโวนอลและกรดไฮดรอกซิชินามิกจะมีปริมาณลดลง ในส่วนของความสามารถต้านออกซิเดชันจะมีแนวโน้ม เช่นเดียวกับปริมาณสารประกอบฟินอลิกทึ้งหมดคือมีแนวโน้มลดลงเมื่อบลูเบอร์รีสุกมากขึ้น

3. ฤทธิภาพ

ภูมิอาค่าหรือฤทธิภาพมีอิทธิพลต่อปริมาณสารประกอบฟินอลิกของผล acerola โดยผล acerola ที่เก็บเกี่ยวในช่วงฤดูแล้งจะมีปริมาณสารประกอบฟินอลิกมากกว่าผลที่เก็บเกี่ยวในช่วงฤดูฝน ทั้งนี้เนื่องมาจากน้ำฝนอาจจะเลือจางน้ำผลไม้ภายในเซลล์และทำให้มีปริมาณสารประกอบฟินอลิกลดลง (Lima *et al.*, 2005) อีกทั้ง Ferreyra *et al.* (2007) รายงานว่าการเก็บเกี่ยวสารเบนอร์รีในช่วงฤดูร้อนจะมีปริมาณสารประกอบฟินอลิก และสมบัติการต้านอนุมูลอิสระ DPPH มากกว่าในช่วงฤดูหนาว

4. Specie

Gerasopoulos and Stavroulakis (1997) ศึกษาคุณลักษณะทางคุณภาพของผลหม่อน 2 species คือ *M. Alba* (white mulberry 3 สายพันธุ์ ได้แก่ สายพันธุ์ Mavri Rodini และ Aspri) และ *M. Nigra* (black mulberry ได้แก่ สายพันธุ์ Mavromurnia) พบว่าผลหม่อนสายพันธุ์ Mavromurnia (*M. Nigra*) มีปริมาณแอนโธไซยานินส์ทั้งหมดมากกว่าผลหม่อนสายพันธุ์อื่น (*M. Alba*) และในปี 2007 Ercisli and Orhan ศึกษาองค์ประกอบทางเคมี เช่น ปริมาณของเย็นที่ละลายน้ำได้ (Total soluble solid) ความเป็นกรด-ด่าง โดยเฉพาะอย่างยิ่งปริมาณสารประกอบฟีโนอลิกทั้งหมดและปริมาณฟลาโวนอยด์ทั้งหมดของผลหม่อน 3 species คือ white mulberry (*Morus alba* L.) red mulberry (*Morus rubra* L.) และ black mulberry (*Morus nigra* L.) พบว่า specie มีผลต่อปริมาณสารประกอบฟีโนอลิกและฟลาโวนอยด์ทั้งหมด โดย *Morus nigra* L. มีปริมาณสารประกอบฟีโนอลิกและฟลาโวนอยด์ทั้งหมดมากที่สุด รองลงมาคือ *Morus rubra* L. และ *Morus alba* L. ตามลำดับ โดยผู้วิจัยกล่าวว่าเนื่องมาจากความแตกต่างทางพันธุกรรม โดยในงานวิจัยนี้ทำการเก็บเกี่ยวผลหม่อนที่มีอายุเท่ากันและเจริญเติบโตภายใต้ภูมิประเทศเดียวกัน

ອຸປະກອນີ່ແລະວິທີກາຣ

ອຸປະກອນີ່

1. ວັດຄຸດົບ

ພລ້ມ່ອນ 3 ສາຍພັນຊີ້ໄດ້ແກ່ ສາຍພັນຊີ້ເຊີ່ງໃໝ່ ກຳແພງແສນ-ເອັມປີ-42-1 ແລະ ບຸຮັມຢໍ 60 ປຸກູກທີ່ແປງທົດລອງຄະເກນຕຣ ມາວິທຍລ້ຽກຍຕຣາສຕຣ ວິທຍາເບຕກຳແພງແສນ ທຳກາຣເກີ່ນເກີ່ຍາ ເດືອນມີຖຸນາຍນ 2551 ແຕ່ລະ ສາຍພັນຊີ້ທຳກາຣເກີ່ນເກີ່ຍາ 4 ຮະຍະກາຣເຈົ້າຢູ່ເຕີບໂຕ ດັ່ງນີ້ ພລອ່ອນ (immature) ພລກິ່ງສຸກ (semi-mature) ພລສຸກ (mature) ແລະ ພລສຸກເຕີມທີ່ (fully mature)

2. ສາຣເຄມີ

2.1 ກຣດແກລລິກ (Gallic acid; $(HO)_3C_6H_2CO_2H$: Analytical grade, Sigma-Aldrich, St. Louise, U.S.A.)

2.2 ແຄທີ່ຄິນໄຢເດຣຕ (Catechin hydrate; $C_{15}H_{14}O_6 \cdot xH_2O$: Analytical grade, Sigma-Aldrich, St. Louise, U.S.A.)

2.3 ໄຊຍານິດິນ-3-ກລູໂຄໂຫຼດ (Cyanidin-3-glucoside chloride; $C_{21}H_{21}O_{11}Cl$, HPLC: Extrasynthese, France)

2.4 ໄຊຍານິດິນ-3-ຮູທິໂໂນໄຫຼດ ຄລອໂໄຣດ (Cyanidin-3-rotinoside chloride; $C_{27}H_{31}O_{15}Cl$, HPLC: Extrasynthese, France)

2.5 ເຄວອຊີທິນ-3-ຮູທິໂໂນໄຫຼດ ທີ່ຮູທິໂໂນ (Quercetin-3-rutinoside ທີ່ຮູທິໂໂນ; $C_{27}H_{30}O_{16}$, HPLC: Extrasynthese, France)

2.6 ກຣດຄລອໂໄຈນິກ (Chlorogenic acid; $C_{16}H_{18}O_9$, Analytical grade, Sigma-Aldrich, St. Louise, U.S.A.)

2.7 ໂິຟິນ-ສີໂອເຄາຖູ (Folin-Ciocalteu reagent; Analytical grade, Sigma-Aldrich, St. Louise, U.S.A.)

2.8 ໄຊເຄີມກາຣ້ບອນຕ (Sodium carbonate; Na_2CO_3 ; Analytical grade, Ajax Finechem, Auckland, New Zealand)

- 2.9 ໄປແກສເຊື້ມ ໄດ-ໄອໂດຣເຈນ ພອສເພັດ (Potassium di-hydrogen phosphate; KH_2PO_4 : Analytical grade, Ajax Finechem, Auckland, New Zealand)
- 2.10 ໄດ-ໄປແກສເຊື້ມ ໄອໂດຣເຈນ ພອສເພັດ (Di-potassium hydrogen phosphate; K_2HPO_4 : Ajax Finechem, Auckland, New Zealand)
- 2.11 ໂັບເຄີຍ ໄອດຣອກໄຟຕ໌ (Sodium hydroxide; NaOH: Analytical grade, Merck, Germany)
- 2.12 ກຣດແອສຄອർປິກ (Ascorbic acid; $\text{C}_6\text{H}_8\text{O}_6$: food grade, ທ້າງໜຸ່ນສ່ວນຈຳກັດແຫຼກເທອ່ຽນ ເຄມືຄອລ, ປະເທດໄກຍ)
- 2.13 ກຣດໄອໂດຣຄລອອິກ 37% (37% Hydrochloric acid; HCl: Analytical grade, Merck, Germany)
- 2.14 ອະົງໂຕຣ ໄນໄຕຣລ໌ (Acetronitrile; CH_3CN : HPLC grade, Mallinckrodt Baker Inc., Phillipsburg, NJ, U.S.A.)
- 2.15 ໝາການອດ (Methanol; CH_3OH : Analytical grade, Mallinckrodt Baker Inc., Phillipsburg, NJ, U.S.A.)
- 2.16 ໝາການອດ (Methanol; CH_3OH : HPLC grade, Mallinckrodt Baker Inc., Phillipsburg, NJ, U.S.A.)
- 2.17 ເອຫານອດ (Ethanol; $\text{C}_2\text{H}_5\text{OH}$: Analytical grade, Merck, Germany)
- 2.18 2, 2'-ອະໂຟບິສ (2-ອະມິດໂນ ໂພຣເພນ) ໄອໂດຣຄລອອິກ; (2, 2,-azobis-(2-amidinopropane) HCl: AAPH, Aldrich, Steinheim, Germany)
- 2.19 2, 2'-ອະໂຟໂນ-ບິສ (3-ເອທິລເບນ ໂູ້ໄທອະໂຟລິນ-6-ສ້າລ ໂົມືກ ແອຊີດ); (2, 2,-Azino-bis(3- ethylbenzothiazoline-6-sulfonic acid) diammonium salt): ABTS,Aldrich, Steinheim,Germany)
- 2.20 2, 2-ໄຟຟິນິດ-1-ໄຟຄຣິລ-ໄອດຣາໜີດ; (2, 2-Diphenyl-1-picrylhydrazyl) (DPPH, Aldrich, Steinheim, Germany)
- 2.21 ໂປແກສເຊື້ມຄລອໄຣຕ໌ (Potassium chloride; KCl: Analytical grade, Merck, Germany)
- 2.22 ໂັບເຄີຍອະຊີເຕເທ (Sodium acetate; $\text{CH}_3\text{COONa.3H}_2\text{O}$: Analytical grade, Ajax Finechem, Auckland, New Zealand)
- 2.23 ກຣດພອສພອິກ 85% (85% Phosphoric acid; H_3PO_4 : Analytical grade, Merck, Germany)

3. อุปกรณ์และเครื่องมือ

- 3.1 เครื่องสเปกโทโรฟโตมิเตอร์ (Spectrophotometer: Model Spectronic Genesys 10 UV Scanning Thermo Electron Corporation, U.S.A.)
- 3.2 เครื่องเหวี่ยงแยก (Centrifuge: Sorvall RC 5C Plus Superspeed Centrifuge, Minnesota, USA)
- 3.3 เครื่องสั่นสะเทือนด้วยคลื่นเสียง (Sonicator: Bandelin Sonorex, Model RK 52, Berlin, Germany)
- 3.4 เครื่องวัดสี (Colorimeter: 3500d, Model Minolta, Japan)
- 3.5 เครื่องวัดค่าความเป็นกรด-ด่าง (pH meter: Orion 2 Star, Beverly, Massachusetts., USA.)
- 3.6 อ่างควบคุมอุณหภูมิ (Water bath: Model WB 7/14/22/29/45, Memmert, Schwach, Germany)
- 3.7 เครื่องปั่นเป็นเนื้อดีเจ็กัน (Homogenizer: T10 basic, Australia)
- 3.8 เครื่องผสมสารละลาย (Vortex mixer: genie II, U.S.A.)
- 3.9 ตู้แช่เยือกแข็ง (Freezer: SF-C995 (GYN), Sanyo, Thailand)
- 3.10 เครื่องโคมาราไฟฟ์ของเหลวแบบสมรรถนะสูง (High Performance Liquid Chromatograph: Waters, Milford, MA, U.S.A.)
- 3.11 เครื่องทำแห้งแบบเยือกแข็ง (Freeze dryer: Heto Model FD 2.5, Heto Lab Equipment A/S, Allerod, Denmark)
- 3.12 เครื่องชั่ง 2 ตำแหน่ง (Balance 2 decimal: Model TP2KS, OHAUS, U.S.A)
- 3.13 เครื่องชั่ง 4 ตำแหน่ง (Balance 4 decimal Model ED2248, Series Extend, Satorius, Germany)
- 3.14 เครื่องวัดความชื้น (Karl Fisher: Model 841, Methrom, Switzerland)
- 3.15 เครื่องกวนสารละลายด้วยแท่นแม่เหล็ก (Hot plate stirrer: Model HS-101, GEM, Thailand)
- 3.16 ชุดเครื่องเก็บมาตรฐานสำหรับการวิเคราะห์

วิธีการ

1. การคัดแยกตัวอย่างผลหม่อนตามระดับการเจริญเติบโต

1.1 การคัดแยกตัวอย่างผลหม่อนสด

เก็บเกี่ยวตัวอย่างผลหม่อนสายพันธุ์เชียงใหม่ กำแพงแสน-อืนบี-42-1 และบุรีรัมย์ 60 โดยใช้สีขาวเป็นดัชนีในการวัดระดับการเจริญเติบโต ซึ่งสามารถแบ่งระดับการเจริญเติบโตได้ 4 ระดับ ดังนี้

1. ผลอ่อน (ระยะการเจริญเติบโตที่ 1 หรือ immature stage)

- ผลหม่อนสีเขียวถึงสีชมพู

2. ผลกึ่งสุก (ระยะการเจริญเติบโตที่ 2 หรือ semi-mature stage)

- ผลหม่อนสีชมพูถึงสีแดง

3. ผลสุก (ระยะการเจริญเติบโตที่ 3 หรือ mature stage)

- ผลหม่อนสีแดงถึงสีม่วง

4. ผลสุกเต็มที่ (ระยะการเจริญเติบโตที่ 4 หรือ fully mature stage)

- ผลหม่อนสีม่วงเข้มจนถึงสีดำ

หลังจากเก็บเกี่ยวผลหม่อนตามระดับการเจริญเติบโตข้างต้น ตรวจสอบลักษณะทางกายภาพคือขนาด (ความยาวและเส้นผ่านศูนย์กลาง) และสี หลังจากนั้นถ่ายภาพลักษณะประกายของผลหม่อนที่ระยะการเจริญเติบโตต่างๆ เพื่อใช้เป็นดัชนีการเก็บเกี่ยวผลหม่อน โดยการเปรียบเทียบสีของผลหม่อนกับภาพถ่ายที่ผู้วิจัยสร้างขึ้นมา

1.2 การตรวจสอบลักษณะทางกายภาพ

1.2.1 การวัดขนาด

วัดขนาดทั้งความยาวและเส้นผ่านศูนย์กลางของผลหม่อนทุกสายพันธุ์แต่ละระยะการเจริญเติบโตด้วยวาร์เนียร์แคลิปเปอร์ (Vernier Caliper) โดยสุ่มตัวอย่างละ 30 ผล โดยความยาว

วัดจากข้าวผลหม่อนไปยังปลายอีกด้านหนึ่ง และเส้นผ่านศูนย์กลางวัดโดยการตัดแบ่งผลหม่อนตามแนวขวาง และวัดเส้นผ่านศูนย์กลางจากขอบด้านหนึ่งไปยังขอบอีกด้านโดยวัดผ่านแกนกลางของผลหม่อน

1.2.2 การวัดสีตัวอย่างผลหม่อนที่ระบบการเจริญเติบโตต่างๆ

วัดสีตัวอย่างผลหม่อนปั่นละเอียด (puree') โดยนำตัวอย่างผลหม่อนสดทั้ง 3 สายพันธุ์ที่ผ่านการคัดแยกในข้อ 1.1 มาปั่นให้ละเอียด และนำมาวัดสีด้วยเครื่องวัดสี (3500d, Model Minolta, Japan) และแสดงผลเป็นค่า L* a* b* ทั้งนี้เพื่อใช้เป็นข้อมูลในการสร้างดัชนีการเก็บเกี่ยวผลหม่อนที่ระบบการเจริญเติบโตต่างๆ

2. การเตรียมตัวอย่างผลหม่อน

หลังจากการคัดแยกตัวอย่างผลหม่อนทั้ง 3 สายพันธุ์ที่ระบบการเจริญเติบโตต่างๆ (ข้อ 1.1) นำตัวอย่างผลหม่อนมาตีดขี้ว้า ล้างให้สะอาด ผึงให้แห้ง และแช่ในตู้เรجنหลวงทันที จากนั้นนำไปเก็บไว้ที่อุณหภูมิ -20 องศาเซลเซียส และนำไปทำแห้งด้วยเครื่องทำแห้งแบบเยือกแข็ง (Heto Model FD 2.5, Heto Lab Equipment A/S, Allerod, Denmark) จนแห้ง เพื่อใช้ในการวิเคราะห์ปริมาณสารประกอบฟินอลิกทั้งหมด แอนโพรไไซานินส์ทั้งหมด ความสามารถต้านออกซิเดชัน (สมบัติการต้านอนุมูลอิสระ 2, 2-Diphenyl-1-picrylhydrazyl (DPPH) และ 2, 2'-azobis (3-ethylbenzothiazoline-6-sulfonic acid) diammonium salt (ABTS)) และวิเคราะห์ชนิดและปริมาณสารประกอบฟินอลิกโดยเทคนิค High Performance Liquid Chromatography (HPLC)

3. การสกัดตัวอย่าง

นำตัวอย่างผลหม่อนแห้งที่ได้จากการเตรียมตัวอย่างข้อ 2 มาทำการสกัด โดยใช้วิธีที่ดัดแปลงจากวิธีของ Kim *et al.* (2002) และ Rodriguez-Saona and Wrolstad (2005) โดยนำตัวอย่างผลหม่อนแห้ง 1 กรัม ใส่ในหลอดสำหรับหมุนเหวี่ยง เติมสารละลายนมอลเข้มข้นร้อยละ 50 ที่มีส่วนผสมของกรดไฮโดรคลอริกร้อยละ 0.01 ปริมาตร 12 มิลลิลิตร ปั่นให้ละเอียดด้วยเครื่องปั่นเป็นเนื้อเดียวกัน (T10 basic, Australia) นาน 2 นาที และนำไปสั่นสะเทือนด้วยเครื่องสั่นสะเทือนด้วยคลื่นเสียง (Bandelin Sonorex, Model RK 52, Berlin, Germany) ที่อุณหภูมิ 4 องศาเซลเซียส

เป็นเวลา 15 นาที แล้วนำไปหมุนเหวี่ยงโดยเครื่องเหวี่ยงแยก (Sorvall RC 5C Plus Superspeed Centrifuge, Minnesota, USA) ด้วยความเร็วรอบ 11,000 รอบต่อนาที ที่อุณหภูมิ 4 องศาเซลเซียส นาน 30 นาที แยกส่วนใส่ส่วนปรับปริมาตร นำส่วนกากที่เหลือไปสกัดซ้ำอีก 1 ครั้ง แยกส่วนใส และนำไปรวมกับส่วนใสที่ได้จากการสกัดครั้งแรก แล้วปรับปริมาตรสุดท้ายเป็น 25 มิลลิลิตร สกัดตัวอย่างละ 3 ซอง

4. การตรวจสอบปริมาณสารประกอบฟีโนลิกทั้งหมด (Total phenolic content)

ตรวจสอบปริมาณสารประกอบฟีโนลิกทั้งหมด โดยวิธี total phenols assay ซึ่งดัดแปลงจากวิธีของ Kim and Lee (2002) โดยคุณสารสกัด (ข้อ 3.1) 0.1 มิลลิลิตร ลงในหลอดทดลอง เติมน้ำกลั่น 0.5 มิลลิลิตร จากนั้นเติมโพลิน-ซีโอลีเคน 0.1 มิลลิลิตร ทึบไวนาน 6 นาที เติมสารละลายโซเดียมคาร์บอเนตออยละ 7 ปริมาตร 1 มิลลิลิตร และนำกลั่น 1 มิลลิลิตร ตั้งไว้ที่อุณหภูมิห้องนาน 90 นาที นำมาวัดค่าการดูดกลืนแสงที่ 760 นาโนเมตร วัดค่าสารสกัดละ 3 ครั้ง นำค่าที่ได้มาเปรียบเทียบกับกราฟมาตรฐานของกรดแแกลลิกความเข้มข้น 20-100 ppm (ภาพผนวกที่ 1) รายงานผลเป็นปริมาณสารประกอบฟีโนลิกทั้งหมด (มิลลิกรัมสมมูลของกรดแแกลลิกต่อ 100 กรัมน้ำหนักแห้ง)

5. การตรวจวัดปริมาณแอนโซไซยานินส์ทั้งหมด (Total monomeric anthocyanins content)

ตรวจสอบปริมาณแอนโซไซยานินส์ทั้งหมดโดยวิธี pH-differential (Giusti and Wrolstad, 2005) หาค่า Dilution Factor (DF) โดยการเจือจางสารสกัดที่ได้จากการสกัดข้อ 3.1 ด้วยสารละลายบัฟเฟอร์โพแทสเซียมคลอไรด์ที่มีความเข้มข้น 0.025 โมลาร์และความเป็นกรด-ด่าง 1.0 (pH 1.0) และวัดค่าการดูดกลืนแสงที่ความยาวคลื่น 510 นาโนเมตร ให้ค่าที่ได้อยู่ในช่วง 0.2-0.8 จากนั้นจึงนำสารสกัดมาเจือจางด้วย DF ที่ได้ด้วยสารละลายบัฟเฟอร์โพแทสเซียมคลอไรด์ที่มีความเข้มข้น 0.025 โมลาร์และความเป็นกรด-ด่าง 1.0 (pH 1.0) และสารละลายบัฟเฟอร์โซเดียมอะซิตอที่มีความเข้มข้น 0.4 โมลาร์และความเป็นกรด-ด่าง 4.5 (pH 4.5) และวัดค่าการดูดกลืนแสงที่ความยาวคลื่น 510 ($A_{510\text{ nm}}$) และ 700 นาโนเมตร ($A_{700\text{ nm}}$) โดยใช้น้ำกลั่นเป็นแบลนค์ (blank) จากนั้นจึงคำนวณค่าการดูดกลืนแสงของตัวอย่าง (A) (สมการที่ 14) แล้วนำค่าดังกล่าวไปคำนวณเป็นปริมาณแอนโซไซยานินส์ทั้งหมดในตัวอย่างเริ่มต้น (สมการที่ 15)

$$A = (A_{510nm} - A_{700nm})_{\text{pH}1.0} - (A_{510nm} - A_{700nm})_{\text{pH}4.5} \quad (14)$$

$$\text{ปริมาณแอนโซไซยานินส์ทั้งหมด (มิลลิกรัมต่อลิตร)} = (A \times \text{MW} \times \text{DF} \times 1000) / (\mathcal{E} \times 1) \quad (15)$$

โดย MW = มวล โ摩เลกุลของ ไชยานิดิน-3-กลูโคไซด์ = 449.2

DF (Dilution Factor) = อัตราส่วนของปริมาตรสุดท้ายของสารละลายตัวอย่าง
เทื่อจากกับปริมาตรเริ่มต้นของตัวอย่าง

\mathcal{E} (Molar absorptivity) ของไชยานิดิน-3-กลูโคไซด์ = 26900

6. การตรวจสอบความสามารถต้านออกซิเดชัน

6.1 การตรวจสอบสมบัติการต้านอนุมูลอิสระ 2, 2-Diphenyl-1-picrylhydrazyl (DPPH) (DPPH Radical Scavenging Capacity)

ตรวจสอบสมบัติการต้านอนุมูลอิสระ DPPH โดยวิธีที่คัดแปลงจากวิธีของ Singh *et al.* (2002) โดยนำสารสักดิ์ (ข้อ 3.1) 0.1 มิลลิลิตร (หากต้องเจือจางตัวอย่างให้ใช้สารละลายเมทานอล เช่นน้ำร้อยละ 50 ที่มีส่วนผสมของกรดไฮโดรคลอริกร้อยละ 0.01) จากนั้นเติมสารละลาย DPPH 0.1 มิลลิโมลาร์ ปริมาตร 5 มิลลิลิตร เข่า และตั้งทิ้งไว้ที่อุณหภูมิห้อง 20 นาที วัดค่าการดูดกลืน แสงที่ 517 นาโนเมตร เทียบกับกราฟมาตรฐานของวิตามินซีความเข้มข้น 20-100 ppm (ภาพพนวกที่ 2) รายงานผลเป็นสมบัติการต้านอนุมูลอิสระ DPPH (มิลลิกรัมสมมูลของวิตามินซีต่อ 100 กรัม น้ำหนักแห้ง)

6.2 การตรวจสอบสมบัติการต้านอนุมูลอิสระ 2, 2'-azobis (3-ethylbenzthiazoline-6-sulfonic acid) diammonium salt (ABTS) (ABTS Radical Scavenging Capacity)

ตรวจสอบสมบัติการต้านอนุมูลอิสระ ABTS โดยวิธีที่คัดแปลงจากวิธีของ Kim *et al.* (2002) โดยนำขวดของสารละลายฟอสเฟตบัฟเฟอร์ (phosphate buffer หรือ PBS) 100 มิลลิลิตร ไปวางในอ่างควบคุมอุณหภูมิที่อุณหภูมิ 70 องศาเซลเซียส จากนั้นเติม 1.0 มิลลิโมลาร์ 2, 2'-azobis-(2-amidinopropane) HCl (AAPH) และ 2.5 มิลลิโมลาร์ ABTS (เตรียมสารละลายอนุมูลอิสระ โดยใช้ AAPH 27.117 มิลลิกรัม และ ABTS 137.175 มิลลิกรัม ต่อ 100 มิลลิลิตร PBS) ลงไปให้ความร้อน 20 นาที โดยวนทุก 5 นาที และตั้งไว้ที่อุณหภูมิห้องเป็นเวลา 10 นาที จากนั้นกรอง

สารละลายนมูกอิสระ โดยใช้ GHP Acrodisc® 25 mm Syringe Filter with 0.45 µm GHP membrane เจือจากสารละลายน้ำที่ได้ด้วยฟอสเฟตบัฟเฟอร์ จนกระทั่งได้ค่าการดูดกลืนแสง 0.650 ± 0.020 นาโนเมตร บ่มสารละลายนมูกอิสระที่อุณหภูมิ 37 องศาเซลเซียส จนกระทั่งทำการวิเคราะห์ ผสมตัวอย่างที่ได้จากการสกัด (ข้อ 3.1) 20 ไมโครลิตร และสารละลายนมูกอิสระ 980 ไมโครลิตร และนำมาวัดค่าการดูดกลืนแสงที่ 734 นาโนเมตร เพื่อบันทึกการฟอกขาวของวิตามินซีความเข้มข้น 20-100 ppm (ภาพนวากที่ 3) รายงานผลเป็นสมบัติการต้านอนุมูลอิสระ ABTS (มิลลิกรัมสมมูลของวิตามินซีต่อ 100 กรัมน้ำหนักแห้ง)

7. การวิเคราะห์ชนิดและปริมาณของสารประกอบฟีโนอลิกโดยเทคนิค High performance liquid chromatography (HPLC)

วิเคราะห์ชนิดและปริมาณของสารประกอบฟีโนอลิก โดยใช้วิธีที่คัดแปลงจากวิธีจาก Chantanawarangoon (2005) โดยเทคนิค High Performance Liquid Chromatography (HPLC) (Waters, Mailford, MA, USA) ระบบประกอบด้วย Waters 600 pumps (Waters, Mailford, MA, USA) Waters 996 UV diode-array detector และ Waters 717 plus auto sampler ฉีดสารละลายน้ำที่ได้จากการสกัดข้อ 3.1 ปริมาตร 20 ไมโครลิตร โดยฉีดตัวอย่างละ 3 กรัมเข้าสู่คอลัมน์ชนิด C18 (Symmetry®, 4.6 mm x 250 mm) (Waters, Mailford, MA, USA) โดยมีวัฏภาคเคลื่อนที่ (mobile phase) เป็นน้ำปราศจากไออกอน (DI water) และ acetonitrile ที่มีส่วนผสมของกรดฟอสฟอริก (phosphoric acid) ร้อยละ 0.1 ทั้ง 2 วัฏภาคเคลื่อนที่ (วัฏภาคเคลื่อนที่ A และ B ตามลำดับ) โดยสัดส่วนของวัฏภาคเคลื่อนที่ใช้ในการวิเคราะห์แสดงในตารางที่ 4 ด้วยอัตราการไหล (flow rate) 1 มิลลิลิตรต่อนาที และใช้ UV diode-array detector ตรวจวัดกรดฟีโนอลิกที่ความยาวคลื่น 320 นาโนเมตร พลาโนนอลที่ความยาวคลื่น 370 นาโนเมตร และแอนโซไซยานินที่ความยาวคลื่น 520 นาโนเมตร ประมาณผลที่ได้โดยโปรแกรมสำเร็จรูป Empower 2 chromatography data software (Waters, Mailford, MA, USA)

ตารางที่ 4 สัดส่วนของวัตถุภาระเคลื่อนที่ในการวิเคราะห์สารประกอบฟีโนอลิกโดยเทคนิค HPLC

เวลา (นาที)	วัตถุภาระเคลื่อนที่ A (ร้อยละ)	วัตถุภาระเคลื่อนที่ B (ร้อยละ)
0	100	0
10	95	5
50	70	30
55	92	8
60	100	0

วิเคราะห์ปริมาณสารโดยนำพื้นที่ต่อกرافเทียบกับกราฟมาตรฐานของกรดคลอโรจินิก (chlorogenic acid) (ภาพผนวกที่ 4) ที่ความยาวคลื่น 320 นาโนเมตร ที่มีความเข้มข้น 5-250 ppm เค้าอชิทิน-3-รูทิโนไซด์ (quercetin-3-rutinoside) หรือรูทิน (rutin) (ภาพผนวกที่ 6) ที่ความยาวคลื่น 370 นาโนเมตร ที่มีความเข้มข้น 5-100 ppm และไซยาnidin-3-กลูโคไซด์ (cyanidin-3-glucoside) และไซยาnidin-3-รูทิโนไซด์ (cyanidin-3-rutinoside) (ภาพผนวกที่ 8 และ 10 ตามลำดับ) ที่ความยาวคลื่น 520 นาโนเมตร ที่มีความเข้มข้น 5-100 ppm และรายงานผลเป็นมิลลิกรัมต่อ 100 กรัม น้ำหนักแห้ง ตรวจสอบความถูกต้องของสารประกอบฟีโนอลิกที่วิเคราะห์ได้โดยการทดสอบมาตรฐานที่ทราบความเข้มข้นที่แน่นอนเข้าไปในตัวอย่าง และเปรียบเทียบความถูกต้องของพื้นที่ต่อกرافที่วิเคราะห์ได้ (spike)

8. การประเมินผลทางสถิติ

วิเคราะห์ข้อมูลโดยใช้โปรแกรมสำเร็จรูป เพื่อวิเคราะห์ความแปรปรวน (Analysis of Variance) แบบ Completely Randomized Design (CRD) เปรียบเทียบค่าเฉลี่ยโดย LSD (Least Significant Difference) ที่ระดับความเชื่อมั่นร้อยละ 95

9. สถานที่ทำการวิจัย

ห้องปฏิบัติการภาควิชาวิทยาศาสตร์และเทคโนโลยีอาหาร คณะอุตสาหกรรมเกษตร มหาวิทยาลัยเกษตรศาสตร์ วิทยาเขตบางเขน กรุงเทพฯ

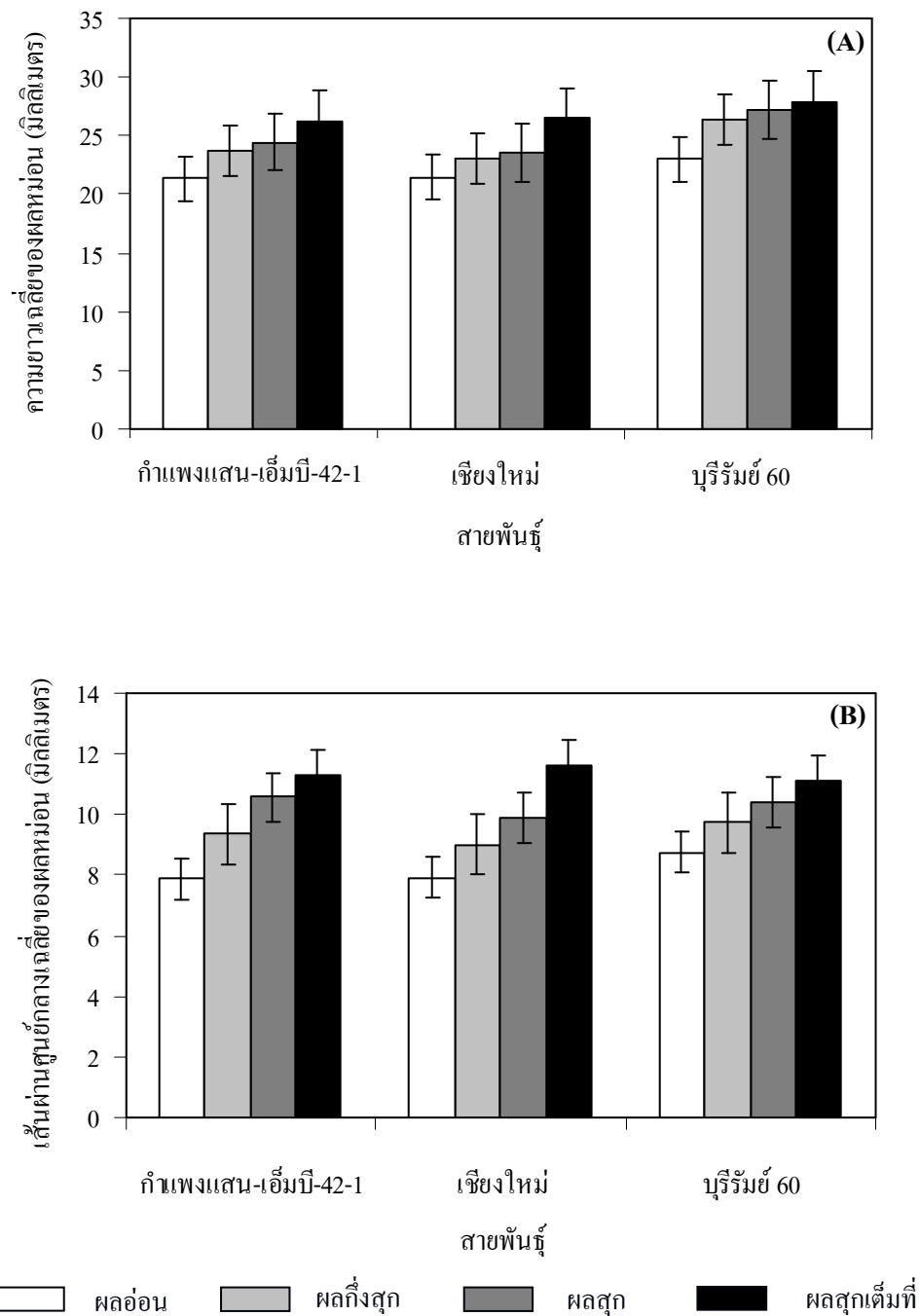
ผลและวิจารณ์

1. ลักษณะทางกายภาพของผลหม่อนที่ระยะการเจริญเติบโตแตกต่างกัน

1.1 การเปลี่ยนแปลงขนาดของผลหม่อนที่ระยะการเจริญเติบโตแตกต่างกัน

เมื่อทำการวัดขนาดทั้งความยาวและเส้นผ่านศูนย์กลางของผลหม่อนทุกสายพันธุ์แต่ละระยะการเจริญเติบโต พบร่วมกันทั้ง 3 สายพันธุ์มีขนาดใหญ่ขึ้นเมื่อมีการเจริญเติบโตมากขึ้น เนื่องจากเมื่อผลหม่อนเริ่มสุกและแก่จะมีลักษณะบวนน้ำและประกอบไปด้วยน้ำหวานเมื่อผลแก่เต็มที่ (วงศ์สันต์, 2548) โดยจะมีความยาวเฉลี่ยเพิ่มมากขึ้น (ภาพที่ 18A) ซึ่งในระยะผลสุกเติมที่ของสายพันธุ์เชียงใหม่ กำแพงแสน-อี้มบี-42-1 และบุรีรัมย์ 60 มีความยาวเฉลี่ยมากที่สุด ($p \leq 0.05$) มีค่าเท่ากับ 26.5 ± 2.5 26.3 ± 2.6 และ 27.9 ± 2.2 มิลลิเมตร ตามลำดับ รองลงมาคือ ผลสุก และผลกึ่งสุก ซึ่งมีความยาวไม่แตกต่างกันอย่างมีนัยสำคัญ ($p > 0.05$) และผลอ่อนมีความหวานน้อยที่สุดในทุกสายพันธุ์ และเมื่อเปรียบเทียบความยาวเฉลี่ยของทั้ง 3 สายพันธุ์ที่ระยะการเจริญเติบโตเดียวกันพบว่า สายพันธุ์บุรีรัมย์ 60 มีความยาวเฉลี่ยมากที่สุด ($p \leq 0.05$) ที่ทุกระยะการเจริญเติบโต ผลหม่อนสายพันธุ์กำแพงแสน-อี้มบี-42-1 และเชียงใหม่มีความยาวไม่แตกต่างกันอย่างมีนัยสำคัญ ($p > 0.05$)

ในส่วนของเส้นผ่านศูนย์กลางเฉลี่ยพบว่าผลหม่อนทั้ง 3 สายพันธุ์มีเส้นผ่านศูนย์กลางเฉลี่ยมากขึ้นเมื่อมีการเจริญเติบโตเพิ่มขึ้น เช่นเดียวกัน (ภาพที่ 18B) โดยผลสุกเติมที่ของสายพันธุ์เชียงใหม่ กำแพงแสน-อี้มบี-42-1 และบุรีรัมย์ 60 จะมีเส้นผ่านศูนย์กลางเฉลี่ยมากที่สุด ($p \leq 0.05$) มีค่าเท่ากับ 11.6 ± 0.9 11.3 ± 0.8 และ 11.1 ± 0.7 มิลลิเมตร ตามลำดับ รองลงมาคือผลสุก ผลกึ่งสุก และผลอ่อน ตามลำดับ และเมื่อเปรียบเทียบเส้นผ่านศูนย์กลางเฉลี่ยของผลหม่อนที่ระยะการเจริญเติบโตเดียวกันพบว่า ในระยะผลอ่อนของผลหม่อนสายพันธุ์บุรีรัมย์ 60 มีเส้นผ่านศูนย์กลางเฉลี่ยมากที่สุด ($p \leq 0.05$) ในขณะที่สายพันธุ์กำแพงแสน-อี้มบี-42-1 และเชียงใหม่มีขนาดเส้นผ่านศูนย์กลางเฉลี่ยไม่แตกต่างอย่างมีนัยสำคัญ ($p > 0.05$) ในส่วนของระยะผลกึ่งสุกพบว่าผลหม่อนทั้ง 3 สายพันธุ์มีเส้นผ่านศูนย์กลางไม่แตกต่างอย่างมีนัยสำคัญ ($p > 0.05$) ในระยะผลสุกพบว่าสายพันธุ์เชียงใหม่ ($p \leq 0.05$) และในระยะผลสุกเติมที่พบว่าผลหม่อนทั้ง 3 สายพันธุ์มีเส้นผ่านศูนย์กลางเฉลี่ยไม่แตกต่างอย่างมีนัยสำคัญ ($p > 0.05$)



ภาพที่ 18 ความเยาว์เฉลี่ย (A) และเส้นผ่านศูนย์กลางของผลหม่อง (B) ของตัวอย่างผลหม่อง 3 สายพันธุ์ที่
กระบวนการเจริญเติบโตแตกต่างกัน

หมายเหตุ : ข้อมูลแสดงค่าเฉลี่ย ($n=30$)

1.2 การเปลี่ยนแปลงสีของผลหม่อนที่ระบบการเจริญเติบโตแตกต่างกัน

การเปลี่ยนแปลงสีของผลหม่อนเมื่อมีการเจริญเติบโต ผลหม่อนจะมีสีเขียวอ่อนเหลืองในระบบผลอ่อน และจะพัฒนาไปเป็นสีชมพู สีแดง และสีม่วงเข้มจนถึงสีดำ เมื่อเจริญเติบโตเข้าสู่ระยะผลกึ่งสุก ผลสุก และผลสุกเต็มที่ ตามลำดับ การเปลี่ยนแปลงสีของผลหม่อนเกิดขึ้น เนื่องมา จากคลอโรฟิลล์ที่มีอยู่ในผลอ่อนจะเสื่อมสลายไปตามธรรมชาติจาก外因 ไซม์คลอโรฟิลเลส (chlorophyllase) หรือเกิดจากการสูญเสียอนุญาตแมกนีเซียม (Mg^{++}) เนื่องจากการหักออกความเสื่อมสลายของเม็ดสีคลอโรพลาสต์ (chloroplast) ทำให้เกิดการเปลี่ยนแปลงไปเป็นสีเหลืองหรือสีอ่อนเมื่อมีการเจริญเติบโตมากขึ้น (ชนะบูลล์, 2548) ซึ่งในผลหม่อนเมื่อมีการพัฒนาของผลมากขึ้นจะเกิดการเปลี่ยนแปลงจากสีเขียวไปเป็นสีชมพู แดง และม่วงเข้ม สีเหล่านี้เป็นสีที่เกิดจากการคัดกรองควัตถุกลุ่มฟลาโนนอยด์ ซึ่งก็คือแอนโซไซตานิน โดยการเปลี่ยนแปลงสีในตัวอย่างผลหม่อนทั้ง 3 สายพันธุ์ แสดงค่า L* (ค่าความสว่างเริ่มจากสีขาว ($L^*=100$) ไปจนถึงสีดำ ($L^*=0$)) (ตารางที่ 5) a* (เป็นสีแดงเมื่อเป็นบวก หรือเป็นสีเขียวเมื่อเป็นลบ) (ตารางที่ 6) b* (เป็นสีเหลืองเมื่อเป็นบวก หรือเป็นสีน้ำเงินเมื่อเป็นลบ) (ตารางที่ 7)

ตารางที่ 5 ค่า L* ของผลหม่อนที่ระบบการเจริญเติบโตต่างๆ

ระบบการเจริญเติบโต	ค่า L*		
	สายพันธุ์กำแพงแสน-อี้มปี-42-1	สายพันธุ์เชียงใหม่	สายพันธุ์บุรีรัมย์ 60
ผลอ่อน	$36.63^{A, b} \pm 1.54$	$33.56^{A, b} \pm 0.61$	$45.70^{A, a} \pm 1.76$
ผลกึ่งสุก	$30.58^{B, b} \pm 0.17$	$30.49^{B, b} \pm 0.24$	$34.12^{B, a} \pm 0.59$
ผลสุก	$16.98^{C, b} \pm 0.54$	$20.94^{C, a} \pm 0.50$	$16.89^{C, b} \pm 0.95$
ผลสุกเต็มที่	$8.09^{D, a} \pm 1.06$	$10.30^{D, a} \pm 0.13$	$8.07^{D, a} \pm 1.15$

หมายเหตุ ค่าเฉลี่ย \pm ส่วนเบี่ยงเบนมาตรฐาน (n=2)

ตัวอักษรพิมพ์ใหญ่ (A-D) ที่ต่างกันมีความแตกต่างกันทางสถิติ ($p \leq 0.05$) ระหว่างคอลัมน์เดียวกันเมื่อเปรียบเทียบค่าเฉลี่ยโดยใช้วิธี LSD

ตัวอักษรพิมพ์เล็ก (a-c) ที่ต่างกันมีความแตกต่างกันทางสถิติ ($p \leq 0.05$) ระหว่างแต่เดียวกันเมื่อเปรียบเทียบค่าเฉลี่ยโดยใช้วิธี LSD

ตารางที่ 6 ค่า a* ของผลหม่อนที่ระยะการเจริญเติบโตต่างๆ

ระยะการ เจริญเติบโต	ค่า a*		
	สายพันธุ์กำแพงแสน-ເອັມບີ-42-1	สายพันธุ์เชียงใหม่	สายพันธุ์บูรีรัมย์ 60
ผลอ่อน	1.66 ^{D, ab} ± 0.06	3.90 ^{D, b} ± 0.56	6.44 ^{B, a} ± 1.33
ผลกึ่งสุก	16.55 ^{B, a} ± 0.55	15.74 ^{B, a} ± 0.42	16.80 ^{A, a} ± 0.61
ผลสุก	18.89 ^{A, b} ± 0.17	17.41 ^{A, a} ± 0.25	15.25 ^{A, c} ± 0.34
ผลสุกเต็มที่	8.18 ^{C, b} ± 0.01	7.46 ^{C, a} ± 0.03	6.16 ^{B, c} ± 0.10

หมายเหตุ ค่าเฉลี่ย ± ส่วนเบี่ยงเบนมาตรฐาน (n=2)

ตัวอักษรพิมพ์ใหญ่ (A-D) ที่ต่างกันมีความแตกต่างกันทางสถิติ ($p \leq 0.05$) ระหว่าง
คอลัมน์เดียวกันเมื่อเปรียบเทียบค่าเฉลี่ยโดยใช้วิธี LSD

ตัวอักษรพิมพ์เล็ก (a-c) ที่ต่างกันมีความแตกต่างกันทางสถิติ ($p \leq 0.05$) ระหว่างแผล
เดียวกันเมื่อเปรียบเทียบค่าเฉลี่ยโดยใช้วิธี LSD

ตารางที่ 7 ค่า b* ของผลหม่อนที่ระยะการเจริญเติบโตต่างๆ

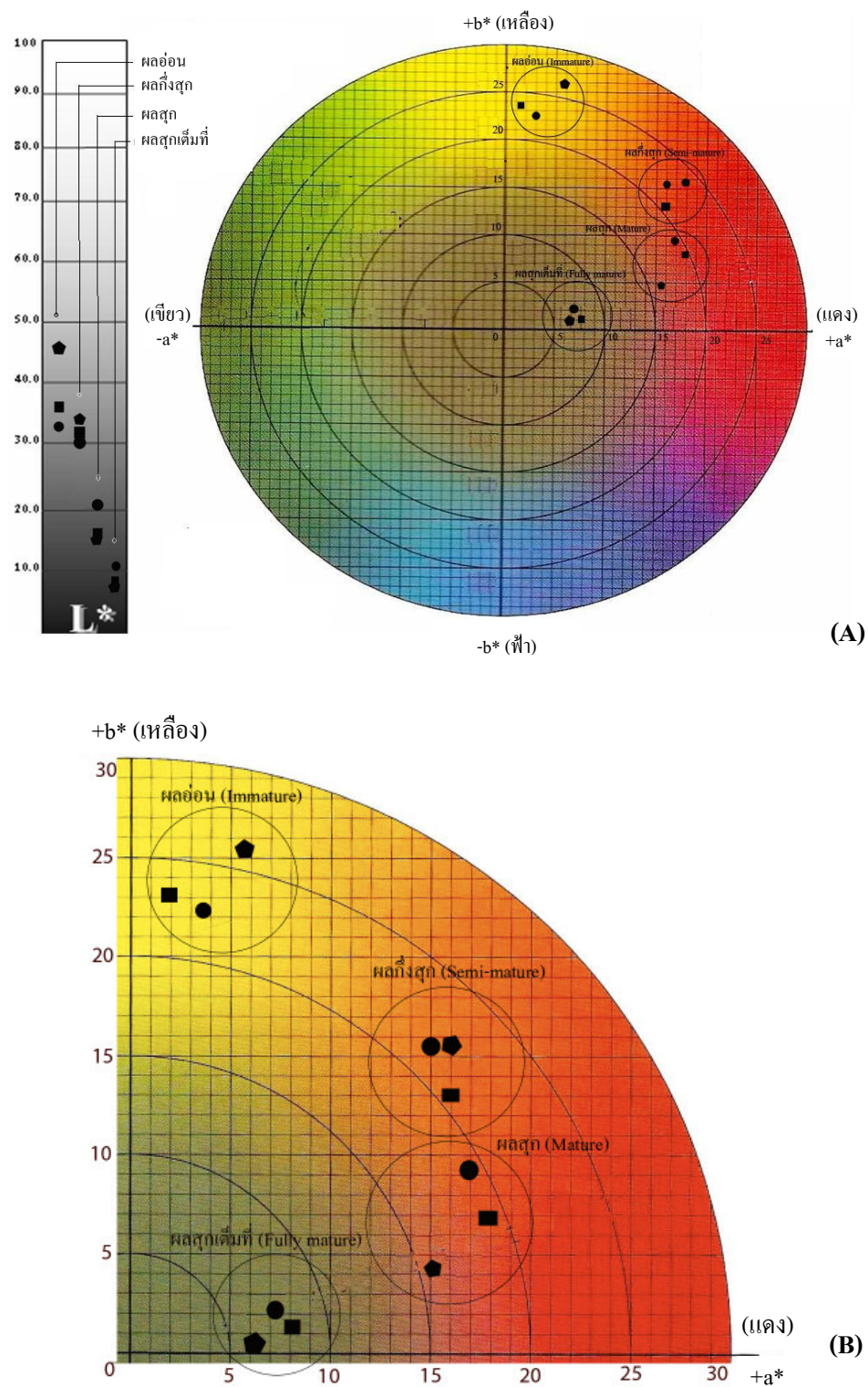
ระยะการ เจริญเติบโต	ค่า b*		
	สายพันธุ์กำแพงแสน-ເອັມບີ-42-1	สายพันธุ์เชียงใหม่	สายพันธุ์บูรีรัมย์ 60
ผลอ่อน	23.21 ^{A, b} ± 0.70	22.36 ^{A, b} ± 0.87	25.71 ^{A, a} ± 0.27
ผลกึ่งสุก	13.69 ^{B, a} ± 0.97	15.55 ^{B, a} ± 1.22	15.68 ^{B, a} ± 0.68
ผลสุก	6.97 ^{C, a} ± 0.02	9.16 ^{C, b} ± 0.77	4.65 ^{C, c} ± 0.57
ผลสุกเต็มที่	1.81 ^{D, a} ± 0.34	2.23 ^{D, a} ± 0.84	0.92 ^{D, a} ± 0.15

หมายเหตุ ค่าเฉลี่ย ± ส่วนเบี่ยงเบนมาตรฐาน (n=2)

ตัวอักษรพิมพ์ใหญ่ (A-D) ที่ต่างกันมีความแตกต่างกันทางสถิติ ($p \leq 0.05$) ระหว่าง
คอลัมน์เดียวกันเมื่อเปรียบเทียบค่าเฉลี่ยโดยใช้วิธี LSD

ตัวอักษรพิมพ์เล็ก (a-c) ที่ต่างกันมีความแตกต่างกันทางสถิติ ($p \leq 0.05$) ระหว่างแผล
เดียวกันเมื่อเปรียบเทียบค่าเฉลี่ยโดยใช้วิธี LSD

เมื่อพิจารณาค่า L* พบว่าค่า L* มีค่าลดลงอย่างมีนัยสำคัญ ($p \leq 0.05$) เมื่อผลหม่อนมีการเจริญเติบโตมากขึ้นในทุกสายพันธุ์ ในส่วนของค่า a* พบว่าจากระยะผลอ่อนจนถึงผลสุกมีค่า a* เพิ่มมากขึ้นอย่างมีนัยสำคัญ ($p \leq 0.05$) แต่จะมีค่าลดลงเมื่อเข้าสู่ระยะผลสุกเต็มที่ และค่า b* จะมีค่าลดลงอย่างมีนัยสำคัญ ($p \leq 0.05$) เมื่อผลหม่อนมีการเจริญเติบโตมากขึ้นทั้ง 3 สายพันธุ์ และเมื่อนำค่า L* a* b* มาสร้างกราฟเพื่อแสดงผลสีของผลหม่อนทั้ง 3 สายพันธุ์ในแต่ละระยะการเจริญเติบโต (ภาพที่ 19) พบว่าสามารถแบ่งออกได้เป็น 4 กลุ่มคือ กลุ่มที่ 1 ระยะผลอ่อนจะมีเฉดสีเหลือง กลุ่มที่ 2 ระยะผลกึ่งสุกมีเฉดสีชมพู กลุ่มที่ 3 ระยะผลสุกมีเฉดสีแดง และกลุ่มที่ 4 ระยะผลสุกเต็มที่ มีเฉดสีดำ ซึ่งสอดคล้องกับสีของผลหม่อนที่มองเห็นด้วยตาเปล่า (ภาพที่ 20 21 และ 22) โดยผลหม่อนทั้ง 3 สายพันธุ์หากมองด้วยตาเปล่าในระยะผลอ่อนจะมีลักษณะสีเขียวอ่อนเหลือง ซึ่งมีค่าอุณหภูมิเฉดสีเหลืองมากกว่าสีเขียว (ค่า a* เท่ากับ 1.66 ถึง 6.44 และ b* เท่ากับ 22.36 ถึง 25.71) ในส่วนของระยะผลกึ่งสุกและผลสุกมีค่า a* ใกล้เคียงกัน แต่ผลสุกมีค่า b* น้อยกว่าผลกึ่งสุก ($p \leq 0.05$) แสดงให้เห็นว่าผลสุกมีสีเข้าใกล้เฉดสีน้ำเงินมากกว่า อิกทั้งมีค่า L* น้อยกว่าจึงมองเห็นเป็นสีแดง เป็นกว่าผลกึ่งสุก และในระยะผลสุกเต็มที่ของผลหม่อนทั้ง 3 สายพันธุ์เมื่อมองด้วยตาเปล่าจะเห็นเป็นสีม่วงเข้มอุดมด้วยผล สอดคล้องกับค่า L* a* b* ที่วัดได้ โดยมีค่า L* และ b* ต่ำที่สุด คือ 8.07 ถึง 10.30 และ 0.92 ถึง 2.23 ตามลำดับ เมื่อเปรียบเทียบกับผลหม่อนที่ระยะการเจริญเติบโตอื่นๆ แสดงให้เห็นว่ามีสีเข้าใกล้เฉดสีน้ำเงินมากที่สุด



ภาพที่ 19 ชาร์ทแสดงค่าสี (A) และส่วนขยายของชาร์ทสี (B) ของผลหมื่นสายพันธุ์เชียงใหม่ (●)
กำแพงแสน-เอ็มบี-42-1 (■) และบุรีรัมย์ 60 (◆) ที่ระยะการเจริญเติบโตต่างกัน



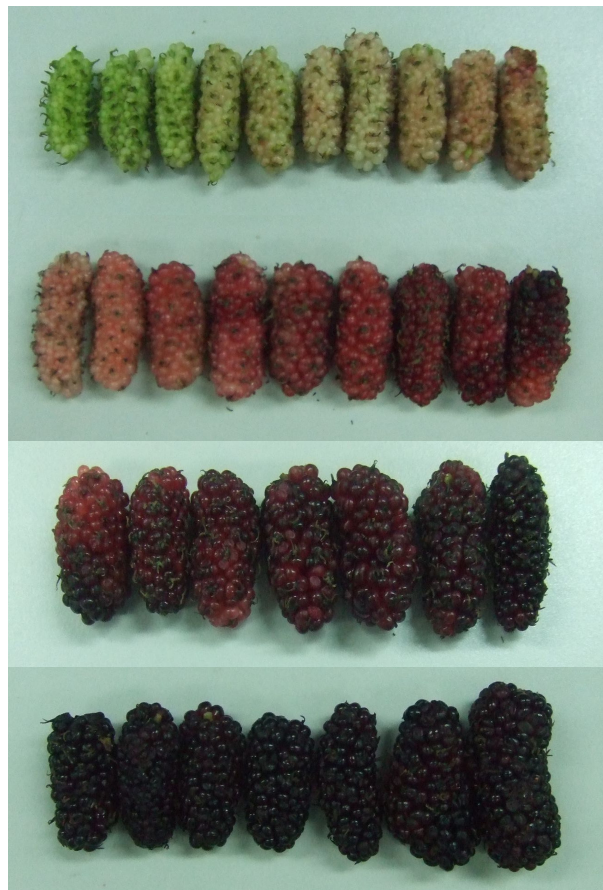
ผลอ่อน (ระยะการเจริญเติบโตที่ 1)

ผลกึ่งสุก (ระยะการเจริญเติบโตที่ 2)

ผลสุก (ระยะการเจริญเติบโตที่ 3)

ผลสุกเดิมที่ (ระยะการเจริญเติบโตที่ 4)

ภาพที่ 20 ลักษณะปราภู (visual quality) ของผลหม่อนสายพันธุ์กำแพงแสน- เอ็มบี-42-1
ที่ระยะการเจริญเติบโตต่างๆ



ผลอ่อน (ระยะการเจริญเติบโตที่ 1)

ผลกึ่งสุก (ระยะการเจริญเติบโตที่ 2)

ผลสุก (ระยะการเจริญเติบโตที่ 3)

ผลสุกเต็มที่ (ระยะการเจริญเติบโตที่ 4)

ภาพที่ 21 ลักษณะปรากฎ (visual quality) ของผลหม่อนสายพันธุ์บูรีรัมย์ 60 ที่ระยะการเจริญเติบโตต่างๆ



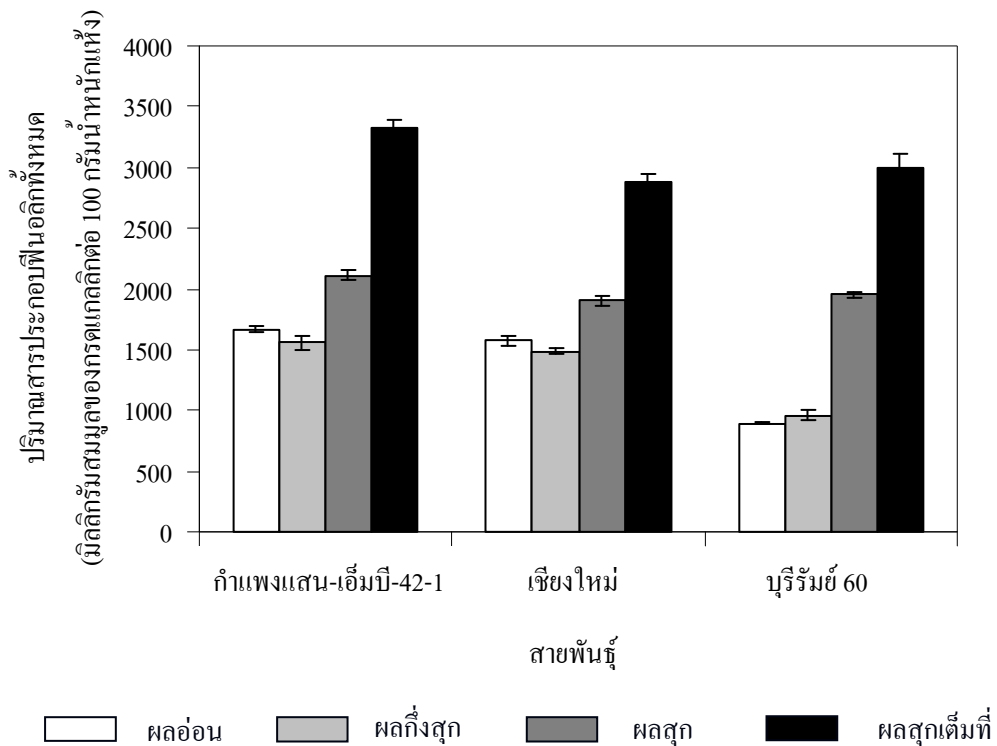
ภาพที่ 22 ลักษณะปรากฏ (visual quality) ของผลหม่อนสายพันธุ์เชียงใหม่ ที่ระยะการเจริญเติบโตต่างๆ

2. ปริมาณสารประกอบฟีโนลิกทั้งหมด (Total phenolic content)

จากการศึกษาผลของสายพันธุ์และระยะการเจริญเติบโตเพื่อหาปริมาณสารประกอบฟีโนลิกทั้งหมดของผลหม่อน 3 สายพันธุ์ พบร่วมกันว่าสารประกอบฟีโนลิกทั้งหมดมีปริมาณตั้งแต่ 891.6 ± 8.8 ถึง $3,317.7 \pm 79.5$ มิลลิกรัมสมมูลของกรดแกลลิกต่อ 100 กรัมน้ำหนักแห้ง (ภาพที่ 23) ซึ่งปริมาณสารประกอบฟีโนลิกทั้งหมดของผลหม่อนทุกสายพันธุ์มีแนวโน้มสูงขึ้นเมื่อมีการเจริญเติบโตมากขึ้น เมื่อเปรียบเทียบในสายพันธุ์เดียวกันพบว่าสายพันธุ์เชียงใหม่ในระยะผลสุกเต็มที่มีปริมาณสารประกอบฟีโนลิกทั้งหมดมากที่สุด ($p \leq 0.05$) ซึ่งมีปริมาณเท่ากับ $2,877.9 \pm 66.6$ มิลลิกรัมสมมูลของกรดแกลลิกต่อ 100 กรัมน้ำหนักแห้ง รองลงมาคือ ผลสุก ผลอ่อน และผลกึ่งสุก ตามลำดับ ในส่วนของสายพันธุ์กำแพงแสน-เอ็นบี-42-1 พบร่วมกันว่ามีแนวโน้มเช่นเดียวกับสายพันธุ์เชียงใหม่ โดยผลสุกเต็มที่มีปริมาณสารประกอบฟีโนลิกทั้งหมดมากที่สุด ($p \leq 0.05$) มีปริมาณ

เท่ากับ $3,317.7 \pm 79.5$ มิลลิกรัมสมมูลของกรดแกลลิกต่อ 100 กรัมน้ำหนักแห้ง รองลงมาคือผลสุกผลอ่อน และผลกึ่งสุก ตามลำดับ และเมื่อพิจารณาสายพันธุ์บูรีรัมย์ 60 พบร่วมกับผลสุกเต้มที่จะมีปริมาณสารประกอบฟินอลิกทั้งหมดมากที่สุด ($p \leq 0.05$) มีค่าเท่ากับ $2,995.1 \pm 116.8$ มิลลิกรัมสมมูลของกรดแกลลิกต่อ 100 กรัมน้ำหนักแห้ง รองลงมาคือ ผลสุก ในส่วนของผลกึ่งสุกและผลอ่อนมีปริมาณไม่แตกต่างกัน ($p > 0.05$) ผลการทดลองที่ได้สอดคล้องกับผลการทดลองของ Bouaziz *et al.* (2004) ที่ศึกษาการเปลี่ยนแปลงของสารประกอบฟินอลิกทั้งหมดของผลมะกอกที่เก็บเกี่ยวในระยะเวลาต่างๆ ตั้งแต่เดือนกรกฎาคม ปี 2002 (ผลสีเขียว) ถึงเดือนกุมภาพันธ์ ปี 2003 (ผลสีดำ) พบร่วมกับปริมาณสารประกอบฟินอลิกทั้งหมดของผลมะกอกมีแนวโน้มเพิ่มมากขึ้นเมื่อมีการเจริญเติบโตมากขึ้น และมีปริมาณมากที่สุดในผลมะกอกที่มีสีดำที่เก็บเกี่ยวในช่วงเดือนตุลาคม ปี 2002 ถึงเดือนกุมภาพันธ์ ปี 2003 แต่แตกต่างจากผลการทดลองของ Wang and Lin (2000) ที่พบร่วมกับปริมาณสารประกอบฟินอลิกทั้งหมดของแบลคเบอร์รี และสตรอเบอร์รีจะมีปริมาณลดลงเมื่อมีการเจริญเติบโตมากขึ้น ทั้งนี้อาจเนื่องมาจากเป็นผลไม้ต่างชนิดกันทำให้มีพันธุกรรมที่ต่างกัน ซึ่งพันธุกรรมเป็นปัจจัยหนึ่งที่มีผลต่อการเปลี่ยนแปลงของสารประกอบฟินอลิกในพืช (Lima *et al.*, 2005)

ในส่วนของความแตกต่างระหว่างสายพันธุ์พบว่าผลหม่อนทั้ง 3 สายพันธุ์มีปริมาณสารประกอบฟินอลิกทั้งหมดแตกต่างกัน โดยผลอ่อนของสายพันธุ์กำแพงแสน-เอ็มบี-42-1 มีปริมาณสารประกอบฟินอลิกทั้งหมดมากที่สุด ($p \leq 0.05$) รองลงมาคือ สายพันธุ์เชียงใหม่ และบูรีรัมย์ 60 ตามลำดับ ในส่วนของผลกึ่งสุกพบว่าสายพันธุ์กำแพงแสน-เอ็มบี-42-1 และเชียงใหม่มีปริมาณสารประกอบฟินอลิกทั้งหมดมากกว่าสายพันธุ์บูรีรัมย์ 60 ($p \leq 0.05$) และผลสุกและผลสุกเต้มที่ของสายพันธุ์กำแพงแสน-เอ็มบี-42-1 มีปริมาณสารประกอบฟินอลิกทั้งหมดมากกว่าสายพันธุ์บูรีรัมย์ 60 ($p \leq 0.05$) โดยผลสุกเต้มที่ของสายพันธุ์กำแพงแสน-เอ็มบี-42-1 มีปริมาณสารประกอบฟินอลิกทั้งหมดมากกว่าสายพันธุ์เชียงใหม่และบูรีรัมย์ 60 คิดเป็น 13.3% และ 9.7% ตามลำดับ ผลการทดลองที่ได้สอดคล้องกับ Kim *et al.* (2003) พบร่วมกับผลลัมแต่ละสายพันธุ์จะมีปริมาณสารประกอบฟินอลิกทั้งหมดต่างกัน อีกทั้งในปีเดียวกัน Borbalan *et al.* ศึกษาปริมาณโพลีฟินอลิกทั้งหมดขององุ่นแดงและองุ่นขาวพบว่าองุ่นแดงมีปริมาณโพลีฟินอลิกค่อนข้างมากกว่าองุ่นขาว



ภาพที่ 23 ปริมาณสารประกอบฟีโนลิกทั้งหมด (total phenolic content) ของตัวอย่างผลหม่อน 3 สายพันธุ์ที่รับประทานเจริญเติบโตแตกต่างกัน

หมายเหตุ : ข้อมูลแสดงค่าเฉลี่ย ($n=3$)

เมื่อเปรียบเทียบปริมาณสารประกอบฟีโนลิกทั้งหมดในระยะผลสุกเต็มที่ของผลหม่อน สายพันธุ์กำแพงแสน-ເຈັນນີ-42-1 โดยมีปริมาณเท่ากับ $3,317.7 \pm 79.5$ มิลลิกรัมสมมูลของกรด แกลลิกต่อ 100 กรัมน้ำหนักแห้ง หรือ 583.5 ± 14.0 มิลลิกรัมต่อ 100 กรัมน้ำหนักสด กับบลูเบอร์รี่ (cv. Serra) และแครนเบอร์รี่ (cv. Ben Lear) (Zheng and Wang, 2003) พบว่ามีปริมาณสารประกอบฟีโนลิกทั้งหมดเท่ากับ 412 และ 315 มิลลิกรัมต่อ 100 กรัมน้ำหนักสด ตามลำดับ

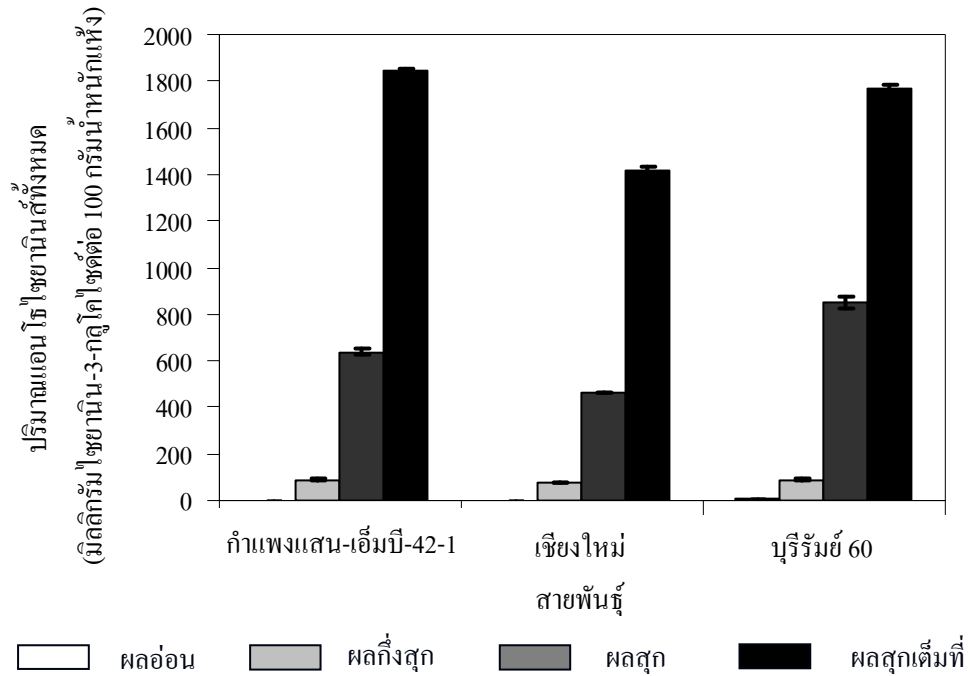
3. ปริมาณแอนโธไซยานินส์ทั้งหมด (Total monomeric anthocyanin content)

จากการศึกษาปริมาณแอนโธไซยานินส์ทั้งหมดของผลหม่อนทั้ง 3 สายพันธุ์ที่รับประทานเจริญเติบโตแตกต่างกันโดยวิธี pH-differential พบว่าแอนโธไซยานินส์ทั้งหมดมีปริมาณตั้งแต่

2.6 ± 0.1 ถึง $1,843.6 \pm 13.9$ มิลลิกรัมของไซยานินดิน-3-กลูโคไซด์ต่อ 100 กรัมน้ำหนักแห้ง (ภาพที่ 24) โดยผลหม่อนทั้ง 3 สายพันธุ์เมื่อมีการพัฒนาของผลมากขึ้น แอนโซไซยานินส์ทั้งหมดมีปริมาณเพิ่มมากขึ้น ซึ่งผลหม่อนที่สุกเต็มที่มีปริมาณแอนโซไซยานินส์ทั้งหมดมากที่สุด ($p \leq 0.05$) รองลงมาคือ ผลสุก ผลกึ่งสุก และผลอ่อน ตามลำดับ การเปลี่ยนแปลงของปริมาณแอนโซไซยานินส์สอดคล้อง กับการเปลี่ยนแปลงสีที่สังเกตได้ โดยเมื่อผลหม่อนยังอ่อนอยู่จะมีสีเขียวซึ่งพนแอนโซไซยานินส์ ทั้งหมดในปริมาณที่น้อยมาก คือ 2.6 ± 0.1 ถึง 6.8 ± 0.6 มิลลิกรัมของไซยานินดิน-3-กลูโคไซด์ต่อ 100 กรัมน้ำหนักแห้ง และเมื่อเริญเดินโตมากขึ้นจะมีสีชมพู สีแดง และสีม่วงเข้ม ตามลำดับ (ภาพที่ 25) ทั้งนี้เนื่องจากผลไม้ที่มีสีแดงส่วนใหญ่แล้วจะมีการสะสมแอนโซไซยานินส์และมีการเสื่อม สลายของกลอโรฟิลล์ เมื่อระยะเวลาเริญเดินโตเพิ่มขึ้น (ธนาบุตรย์, 2548; Mozetic *et al.*, 2004) ผลการทดลองที่ได้สอดคล้องกับ Gerasopoulos and Stavroulakis (1997) ที่ทำการศึกษาคุณภาพทาง ลักษณะของผลหม่อนสายพันธุ์ Mavri Rodini และ Aspri (*Morus Alba*) และสายพันธุ์ Mavromurnia (*Morus Nigra*) ในประเทศกรีซที่ระยะเวลาเริญเดินโตต่างๆ คือ ผลอ่อน ผลกึ่งสุก และผลสุกเต็มที่ พบร่วมกับปริมาณแอนโซไซยานินส์ทั้งหมดของผลหม่อนทุกสายพันธุ์จะมีปริมาณมาก ขึ้นตามการเจริญเดินโต โดยผลสุกเต็มที่มีปริมาณแอนโซไซยานินส์ทั้งหมดมากที่สุด

เมื่อเปรียบเทียบปริมาณแอนโซไซยานินส์ทั้งหมดของผลหม่อน 3 สายพันธุ์ในระยะสุก เต็มที่ พบร่วมกับสายพันธุ์กำแพงแสน-เอ็มบี-42-1 มีปริมาณแอนโซไซยานินส์ทั้งหมดมากที่สุด ($p \leq 0.05$) เท่ากับ $1,843.6 \pm 13.9$ มิลลิกรัมของไซยานินดิน-3-กลูโคไซด์ต่อ 100 กรัมน้ำหนักแห้ง รองลงมาคือ สายพันธุ์บูรีรัมย์ 60 และเชียงใหม่ ตามลำดับ ผลการทดลองที่ได้สอดคล้องกับ Oki *et al.* (2006) พบร่วมกับผลหม่อนทั้ง 8 สายพันธุ์ มีปริมาณแอนโซไซยานินส์แตกต่างกัน และระยะ สุกเต็มที่จะมีปริมาณแอนโซไซยานินส์ทั้งหมดมากที่สุด รองลงมาคือ ผลสุก ผลกึ่งสุก และผลอ่อน ตามลำดับ เมื่อเปรียบเทียบปริมาณแอนโซไซยานินส์ทั้งหมดของผลหม่อน 3 สายพันธุ์ที่ระยะผลสุก เต็มที่กับผลหม่อน 27 สายพันธุ์ในการทดลองของ Isabelle *et al.* (2008) ที่ปลูกในประเทศไทย พบร่วมกับผลหม่อนสายพันธุ์กำแพงแสน-เอ็มบี-42-1 เชียงใหม่ และบูรีรัมย์ 60 มีปริมาณ แอนโซไซยานินส์ทั้งหมดใกล้เคียงกับสายพันธุ์ Nan-2 Tang-10 Guiyou-10-19 Shangshan-6 Bei-2-8 และ Yueyou-32 ซึ่งมีปริมาณแอนโซไซยานินส์ทั้งหมดตั้งแต่ $1,502.0$ ถึง $2,083.4$ มิลลิกรัมต่อ 100 กรัมน้ำหนักแห้ง แต่ผลหม่อนสายพันธุ์กำแพงแสน-เอ็มบี-42-1 เชียงใหม่ และบูรีรัมย์ 60 มี ปริมาณแอนโซไซยานินส์ทั้งหมดน้อยกว่าสายพันธุ์ 7403 (คือสายพันธุ์ที่มีปริมาณ แอนโซไซยานินส์ทั้งหมดมากที่สุด ($p \leq 0.05$) เมื่อเปรียบเทียบกับ 27 สายพันธุ์) เท่ากับ 32.1%

47.7% และ 34.7% ตามลำดับ และมีปริมาณมากกว่าสายพันธุ์ Yueyou-87 (คือสายพันธุ์ที่มีปริมาณแอนโธไซยานินส์ทั้งหมดน้อยสุด ($p \leq 0.05$)) เท่ากับ 97.5% 96.8% และ 97.4% ตามลำดับ



ภาพที่ 24 ปริมาณแอนโธไซยานินส์ทั้งหมดของตัวอย่างผลหมื่น 3 สายพันธุ์ที่ระยะการเจริญเติบโตแตกต่างกัน

หมายเหตุ : ข้อมูลแสดงค่าเฉลี่ย ($n=3$)



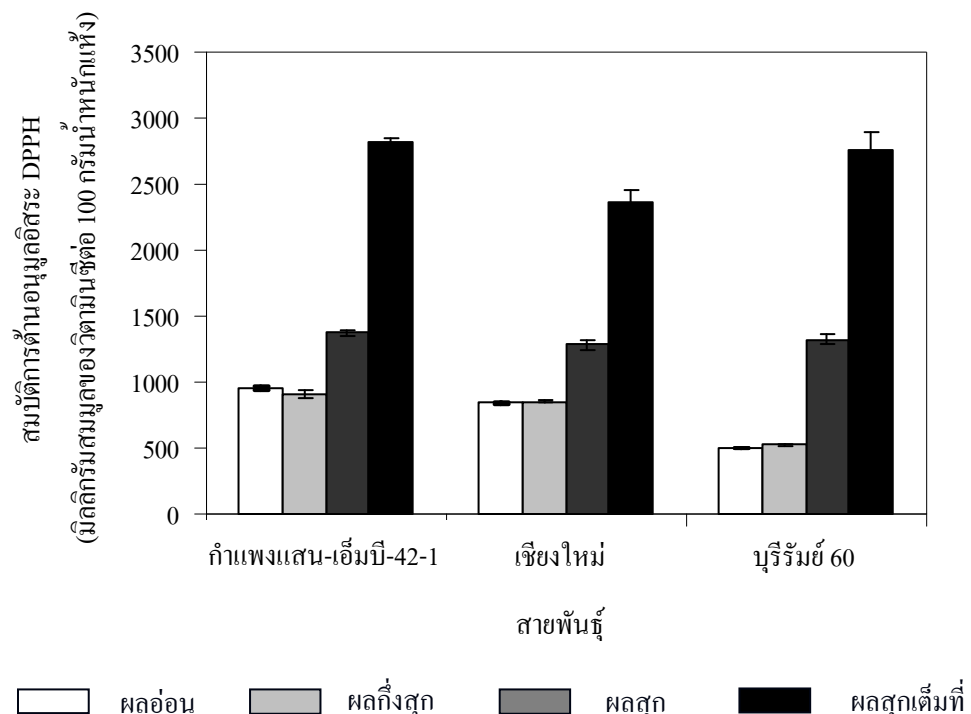
ภาพที่ 25 ตัวอย่างภาพถ่ายลักษณะปราภู (visual quality) ของผลหมื่นสายพันธุ์เชียงใหม่ที่ระยะการเจริญเติบโตแตกต่างกัน

จากการศึกษาผลของสายพันธุ์และระเบียบการเจริญเติบโตต่อปริมาณสารประกอบฟีโนลิกทั้งหมดและปริมาณแอนโธไซยานินส์ทั้งหมดของผลหม่อน พบร่วมกับการเพิ่มขึ้นของปริมาณสารประกอบฟีโนลิกทั้งหมดของผลหม่อนทั้ง 3 สายพันธุ์สอดคล้องกับการเพิ่มขึ้นของปริมาณแอนโธไซยานินส์ทั้งหมด เมื่อผลหม่อนมีการเจริญเติบโตมากขึ้น ทั้งนี้ผลไม้บางชนิดโดยเฉพาะผลไม้ที่มีสีแดงจะมีการสะสมสารประกอบฟีโนลิกในกลุ่มของฟลาโวนอยด์โดยเฉพาะอย่างยิ่ง แอนโธไซยานินส์ เมื่อผลไม้มีการเจริญเติบโตจึงทำให้มีปริมาณสารประกอบฟีโนลิกมากขึ้น (Hakkinen, 2000) และเมื่อพิจารณาในระเบียบผลอ่อนและผลกึ่งสุกของผลหม่อนทั้ง 3 สายพันธุ์พบว่าถึงแม้ว่าจะมีปริมาณแอนโธไซยานินส์ทั้งหมดน้อย แต่ยังคงมีปริมาณสารประกอบฟีโนลิกทั้งหมดปานกลาง เนื่องจากผลไม้ที่ยังอ่อน (immature) นักจะมีการสะสมสารประกอบฟีโนลิกเพื่อช่วยป้องกันตัวเองจากศัตรูภายนอก เช่น โรค และแมลงต่างๆ (จริงแท้, 2549) และการที่สายพันธุ์ต่างกันทำให้มีปริมาณสารประกอบฟีโนลิกทั้งหมดและปริมาณแอนโธไซยานินส์ทั้งหมดต่างกัน อาจเนื่องมาจากความแตกต่างทางพันธุกรรม (Lima *et al.*, 2005) ความแตกต่างทางพันธุกรรมนี้อาจทำให้มีการผลิตสารตั้งต้นหรือเอนไซม์ที่ใช้ในการสังเคราะห์สารประกอบฟีโนลิกได้ต่างกัน อีกทั้งการทำงานของเอนไซม์ก็อาจต่างกัน ซึ่งเป็นสาเหตุให้มีปริมาณสารประกอบฟีโนลิกและปริมาณแอนโธไซยานินส์ทั้งหมดต่างกัน Hakkinen (2000) รายงานว่าปริมาณแอนไซม์การทำงานหรือกิจกรรมของเอนไซม์ การทำงานร่วมกันของเอนไซม์ และปริมาณสารตั้งต้น คือสิ่งสำคัญที่ควบคุมกลไกการสังเคราะห์สารประกอบฟีโนลิก อีกทั้งความแตกต่างที่เกิดขึ้นอาจเนื่องมาจากการสห出入น้ำได้อีก เช่น แสงอาทิตย์ ปริมาณน้ำฝน ภูมิประเทศ ดิน ความอุดมสมบูรณ์ของดิน และฤดูกาล เป็นต้น (Lima *et al.*, 2005; Pawlowska *et al.*, 2008)

4. สมบัติการต้านอนุมูลอิสระ 2, 2-Diphenyl-1-picrylhydrazyl (DPPH) และอนุมูลอิสระ 2, 2'-azobis (3-ethylbenzthiazoline-6-sulfonic acid) diammmonium salt (ABTS) (DPPH และ ABTS Radical Scavenging Capacity)

เมื่อศึกษาสมบัติการต้านอนุมูลอิสระ DPPH และ ABTS ของผลหม่อนทั้ง 3 สายพันธุ์ที่ระเบียบการเจริญเติบโตแตกต่างกัน พบร่วมกับการต้านอนุมูลอิสระ DPPH มีค่าแตกต่างกันไปตามสายพันธุ์และระเบียบการเจริญเติบโต โดยมีค่าตั้งแต่ 503.4 ± 3.6 ถึง $2,812.2 \pm 33.7$ มิลลิกรัมสมมูลของวิตามินซีต่อ 100 กรัมน้ำหนักแห้ง (ภาพที่ 26) โดยในระเบียบสุกเต็มที่ของทุกสายพันธุ์มีสมบัติการต้านอนุมูลอิสระ DPPH มากที่สุด ($p \leq 0.05$) รองลงมาคือผลสุก ในส่วนของผลกึ่งสุกและอ่อนมีสมบัติการต้านอนุมูลอิสระ DPPH ไม่แตกต่างกัน ($p > 0.05$) และเมื่อเปรียบเทียบความแตกต่าง

ระหว่างสายพันธุ์พบว่าในระยะผลอ่อนและผลกึ่งสุกของสายพันธุ์กำแพงแสน-ເອັນນີ-42-1 มีสมบัติการต้านอนุมูลอิสระ DPPH มากกว่าสายพันธุ์เชียงใหม่และบุรีรัมย์ 60 ตามลำดับ ($p \leq 0.05$) ซึ่งมีค่าเท่ากับ 954.4 ± 12.3 และ 909.6 ± 27.5 มิลลิกรัมสมมูลของวิตามินซีต่อ 100 กรัมน้ำหนักแห้ง ตามลำดับ แต่ในระยะผลสุกของทั้ง 3 สายพันธุ์มีสมบัติการต้านอนุมูลอิสระ DPPH ไม่แตกต่างกัน ($p > 0.05$) ในส่วนของผลสุกเต็มที่พบว่าสายพันธุ์กำแพงแสน-ເອັນນີ-42-1 และบุรีรัมย์ 60 มีสมบัติการต้านอนุมูลอิสระ DPPH มากที่สุด ($p \leq 0.05$) มีค่าเท่ากับ $2,812.2 \pm 33.7$ และ $2,761.0 \pm 127.6$ มิลลิกรัมสมมูลของวิตามินซีต่อ 100 กรัมน้ำหนักแห้ง ตามลำดับ

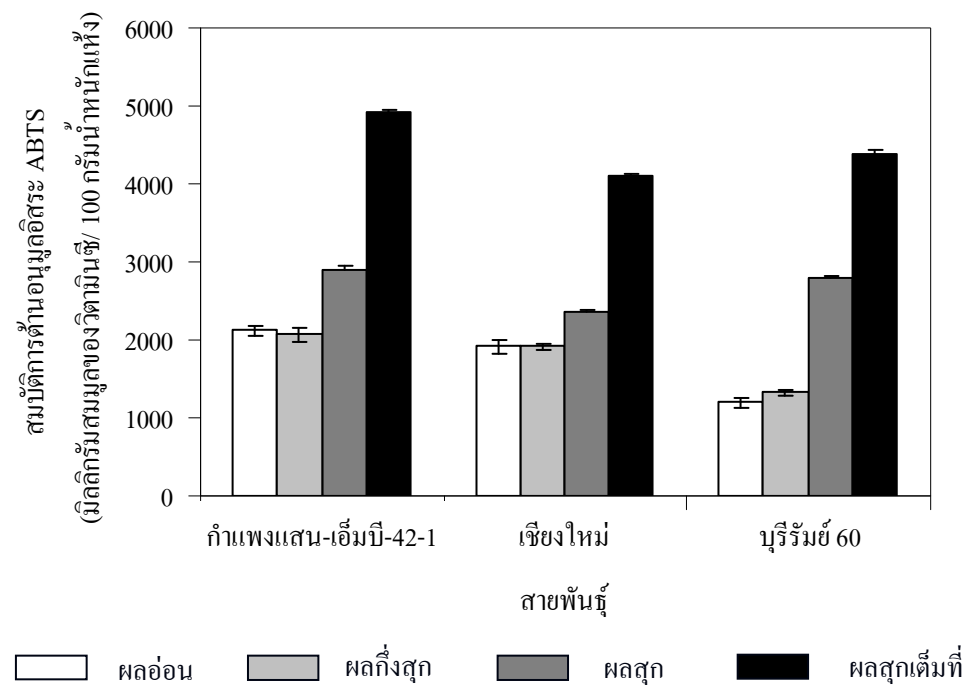


ภาพที่ 26 สมบัติการต้านอนุมูลอิสระ DPPH ของตัวอย่างผลหม่อน 3 สายพันธุ์ที่ระยะการเจริญเติบโตแตกต่างกัน

หมายเหตุ : ข้อมูลแสดงค่าเฉลี่ย ($n=3$)

ในส่วนของสมบัติการต้านอนุมูลอิสระ ABTS พบว่ามีค่าตั้งแต่ $1,198.3 \pm 61.0$ ถึง $4,926.1 \pm 23.2$ มิลลิกรัมสมมูลของวิตามินซีต่อ 100 กรัมน้ำหนักแห้ง (ภาพที่ 27) และมีแนวโน้มการเพิ่มขึ้นช่วงเดียวกับสมบัติการต้านอนุมูลอิสระ DPPH ซึ่งผลอ่อนและผลกึ่งสุกของสายพันธุ์

กำแพงแสน-เอ็มบี-42-1 มีสมบัติการต้านอนุมูลอิสระ ABTS มากที่สุด ($p \leq 0.05$) ซึ่งมีค่าเท่ากับ $2,118.2 \pm 61.0$ และ $2,065.9 \pm 85.9$ มิลลิกรัมสมมูลของวิตามินซีต่อ 100 กรัมน้ำหนักแห้ง ตามลำดับ รองลงมาคือ สายพันธุ์เชียงใหม่และบุรีรัมย์ 60 ตามลำดับ ในส่วนของผลสุกและผลสุกเต้มที่พบว่า สายพันธุ์กำแพงแสน-เอ็มบี-42-1 มีสมบัติการต้านอนุมูลอิสระ ABTS มากที่สุด ($p \leq 0.05$) ซึ่งมีค่าเท่ากับ $2,909.0 \pm 35.1$ และ $4,926.1 \pm 23.2$ มิลลิกรัมสมมูลของวิตามินซีต่อ 100 กรัมน้ำหนักแห้ง ตามลำดับ รองลงมาคือสายพันธุ์บุรีรัมย์ 60 และเชียงใหม่ ตามลำดับ



ภาพที่ 27 สมบัติการต้านอนุมูลอิสระ ABTS ของตัวอย่างผลหม่อน 3 สายพันธุ์ที่ระยะการเจริญเติบโตแตกต่างกัน

หมายเหตุ : ข้อมูลแสดงค่าเฉลี่ย ($n=3$)

ผลการทดลองที่ได้สอดคล้องกับ Oki *et al.* (2006) พบว่าผลหม่อนทั้ง 8 สายพันธุ์เมื่อมีการพัฒนาของผลมากขึ้น สมบัติการต้านอนุมูลอิสระ DPPH มีแนวโน้มเพิ่มมากขึ้น และผลหม่อนในระยะสุกเต้มที่แสดงสมบัติการต้านอนุมูลอิสระ DPPH มากที่สุด และพบว่าผลหม่อนสายพันธุ์ต่างกันจะแสดงสมบัติการต้านอนุมูลอิสระ DPPH ที่แตกต่างกันอีกด้วย อีกทั้งผลการทดลองยัง

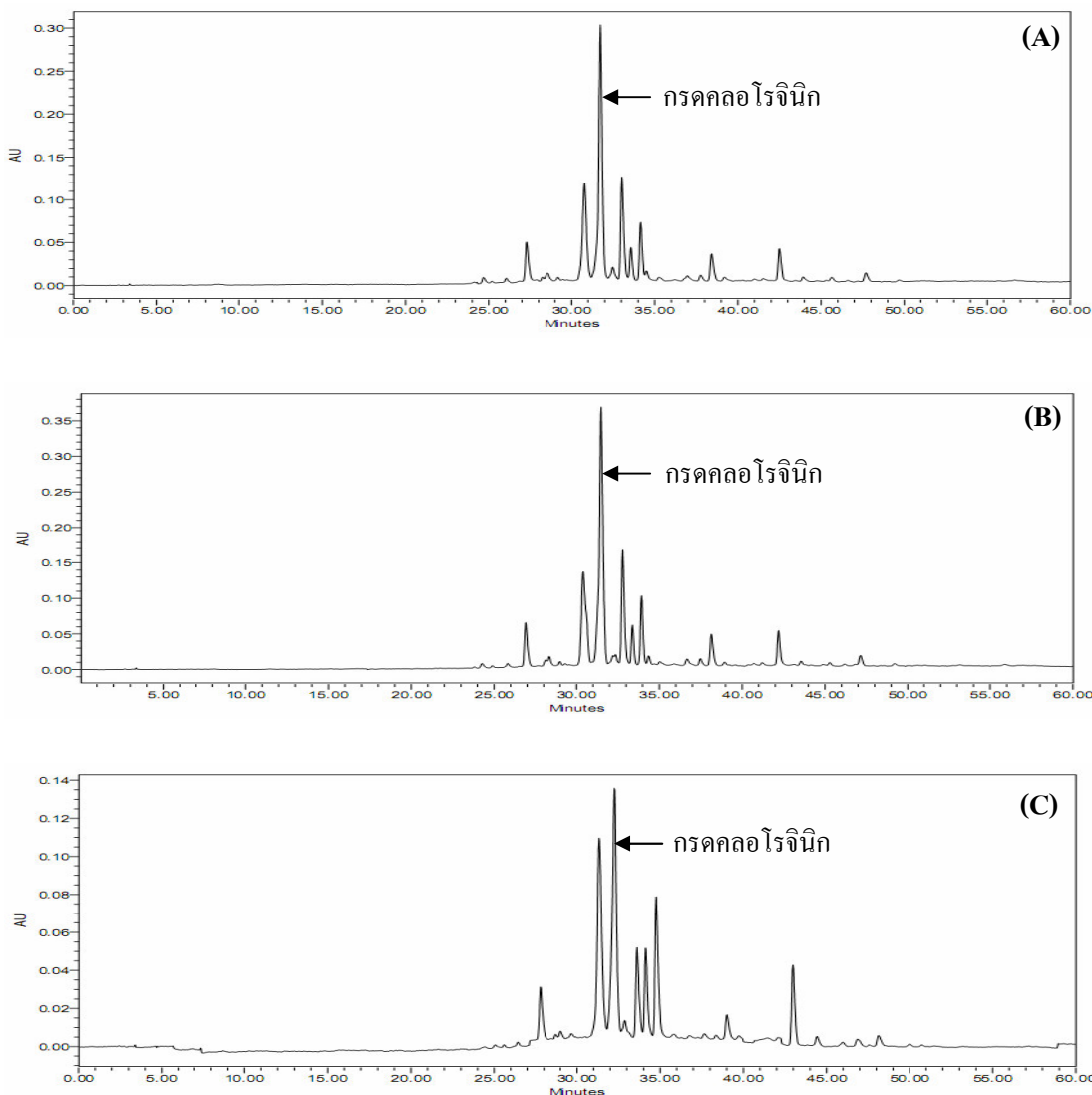
สอดคล้องกับ Bae and Suh (2007) ที่รายงานว่าสายพันธุ์มีอิทธิพลต่อสมบัติการต้านออกซิเดชันของผลหม่อน ไม่ว่าจะเป็นสมบัติการต้านอนุมูลอิสระ DPPH หรือ อนุมูลไอกลอกซิล เป็นต้น

การที่สมบัติการต้านอนุมูลอิสระ DPPH และ ABTS ของผลหม่อนทั้ง 3 สายพันธุ์มีค่าเพิ่มขึ้น ทั้งนี้เนื่องมาจากเมื่อผลหม่อนมีการเจริญเติบโตมากขึ้นจะมีปริมาณสารประกอบฟินอลิกทั้งหมดเพิ่มขึ้น ซึ่งสารประกอบฟินอลิกสามารถแสดงสมบัติการต้านอนุมูลอิสระ DPPH และ ABTS โดยสามารถให้อิเล็กตรอนหรือไออกไซเจนอะตอนแก่อนุมูลอิสระ เพื่อยับยั้งไม่ให้ออนุมูลอิสระเกิดปฏิกิริยาต่อได้ (Green, 2007) ดังนั้นเมื่อปริมาณสารประกอบฟินอลิกทั้งหมดเพิ่มขึ้นจึงส่งผลให้สมบัติการต้านอนุมูลอิสระ DPPH และ ABTS มีค่าเพิ่มมากขึ้นด้วยเช่นกัน (ค่าสหสัมพันธ์
(r) เท่ากับ 0.982 และ 0.993 ตามลำดับ) และเมื่อทำการวิเคราะห์ความสัมพันธ์ระหว่างสมบัติการต้านอนุมูลอิสระ DPPH และ ABTS พบว่ามีค่าสหสัมพันธ์เท่ากับ 0.989 ทั้งนี้การที่ค่าสหสัมพันธ์ระหว่างสมบัติการต้านอนุมูลอิสระ DPPH และ ABTS มีค่าสูงเนื่องจากกลไกในการเกิดปฏิกิริยาเป็นกลไกเดียวกัน คือเป็นการแลกเปลี่ยนอิเล็กตรอนเดียว (single electron transfer (SET) reaction) (Huang *et al.*, 2005)

5. การวิเคราะห์ชนิดและปริมาณสารประกอบฟินอลิกโดยเทคนิค High Performance Liquid Chromatography (HPLC)

5.1 การศึกษานิodic และปริมาณของสารประกอบฟินอลิกในกลุ่มของกรดฟินอลิก

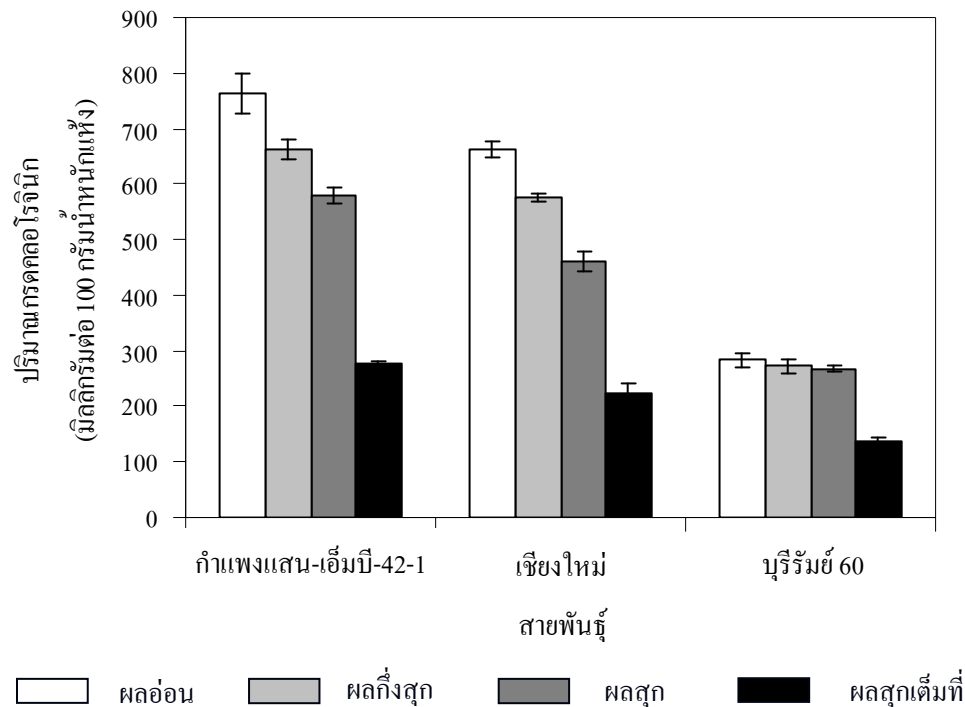
จากการศึกษานิodicของกรดฟินอลิกในผลหม่อนทั้ง 3 สายพันธุ์ ที่ระยะการเจริญเติบโตต่างๆ ที่ความยาวคลื่น 320 นาโนเมตร พบว่าผลหม่อนสายพันธุ์เชียงใหม่ กำแพงแสน-เอ็มบี-42-1 และบูรีรัมย์ 60 มีกรดคลอโรจินิก (chlorogenic acid) เป็นกรดฟินอลิกชนิดหลักซึ่งพบทั้งในผลอ่อนผลกึ่งสุก ผลสุก และผลสุกเต็มที่ (ภาพที่ 28) ผลการทดลองที่ได้กับผลการทดลองของ Oki *et al.* (2006) ที่พบว่ากรดคลอโรจินิก (chlorogenic acid) และไโโโซเมอร์ของกรดคลอโรจินิก คือสารประกอบฟินอลิกชนิดหลักในกลุ่มของกรดฟินอลิกที่พบในผลหม่อน 8 สายพันธุ์ที่ทำการศึกษาอีกทั้งยังสอดคล้องกับผลการทดลองของ Isabelle *et al.* (2008) พบว่ากรดคลอโรจินิก (3-caffeoylequinic acid และ 5-caffeoylequinic acid) คือกรดฟินอลิกที่พบในผลหม่อนระยะสุกเต็มที่ของสายพันธุ์ Guo-2



ภาพที่ 28 ตัวอย่าง HPLC โพรมาโทแกรมของกรดคลอโรจินิก (chlorogenic acid) ของผลหม่อน 3 สายพันธุ์ (A: สายพันธุ์เชียงใหม่ B: สายพันธุ์กำแพงแสน-เอ็มบี-42-1 และ C: สายพันธุ์บุรีรัมย์ 60) ที่ระเบการเจริญเติบโตที่ 4 (ผลสุกเต็มที่)

เมื่อศึกษาปริมาณกรดคลอโรจินิกของผลหม่อนสายพันธุ์เชียงใหม่ กำแพงแสน-เอ็มบี-42-1 และบุรีรัมย์ 60 ที่ระเบการเจริญเติบโตต่างๆ พบร่วมกับกรดคลอโรจินิกมีปริมาณตั้งแต่ 137.5 ± 6.9 ถึง 762.5 ± 36.2 มิลลิกรัมต่อ 100 กรัมน้ำหนักแห้ง (ภาพที่ 29) โดยผลหม่อนสายพันธุ์เชียงใหม่และ กำแพงแสน-เอ็มบี-42-1 กรดคลอโรจินิกมีปริมาณลดลงเมื่อผลหม่อนมีการเจริญเติบโตมากขึ้น โดยผลอ่อนจะมีปริมาณกรดคลอโรจินิกมากที่สุด ($p \leq 0.05$) รองลงมาคือผลกึ่งสุก ผลสุก และผลสุกเต็มที่ ตามลำดับ โดยมีปริมาณลดลงจากระยะผลอ่อนจนถึงผลสุกเต็มที่คิดเป็น 66.0% และ 63.7%

ในสายพันธุ์เชียงใหม่และกำแพงแสน-เอ็มบี-42-1 ตามลำดับ ในส่วนของสายพันธุ์บูรีรัมย์ 60 ปริมาณกรดคลอโรจินิกของผลอ่อน ผลกึ่งสุก และผลสุกไม่แตกต่างกัน ($p>0.05$) แต่จะมีปริมาณลดลงอย่างมีนัยสำคัญ ($p\leq 0.05$) เมื่อผลหม่อนสุกเต็มที่ โดยมีปริมาณลดลง 51.4% เมื่อเปรียบเทียบกับผลอ่อน



ภาพที่ 29 ปริมาณกรดคลอโรจินิก (chlorogenic acid) ของตัวอย่างผลหม่อน 3 สายพันธุ์ที่ระยะการเจริญเติบโตแตกต่างกัน

หมายเหตุ : ข้อมูลแสดงค่าเฉลี่ย ($n=3$)

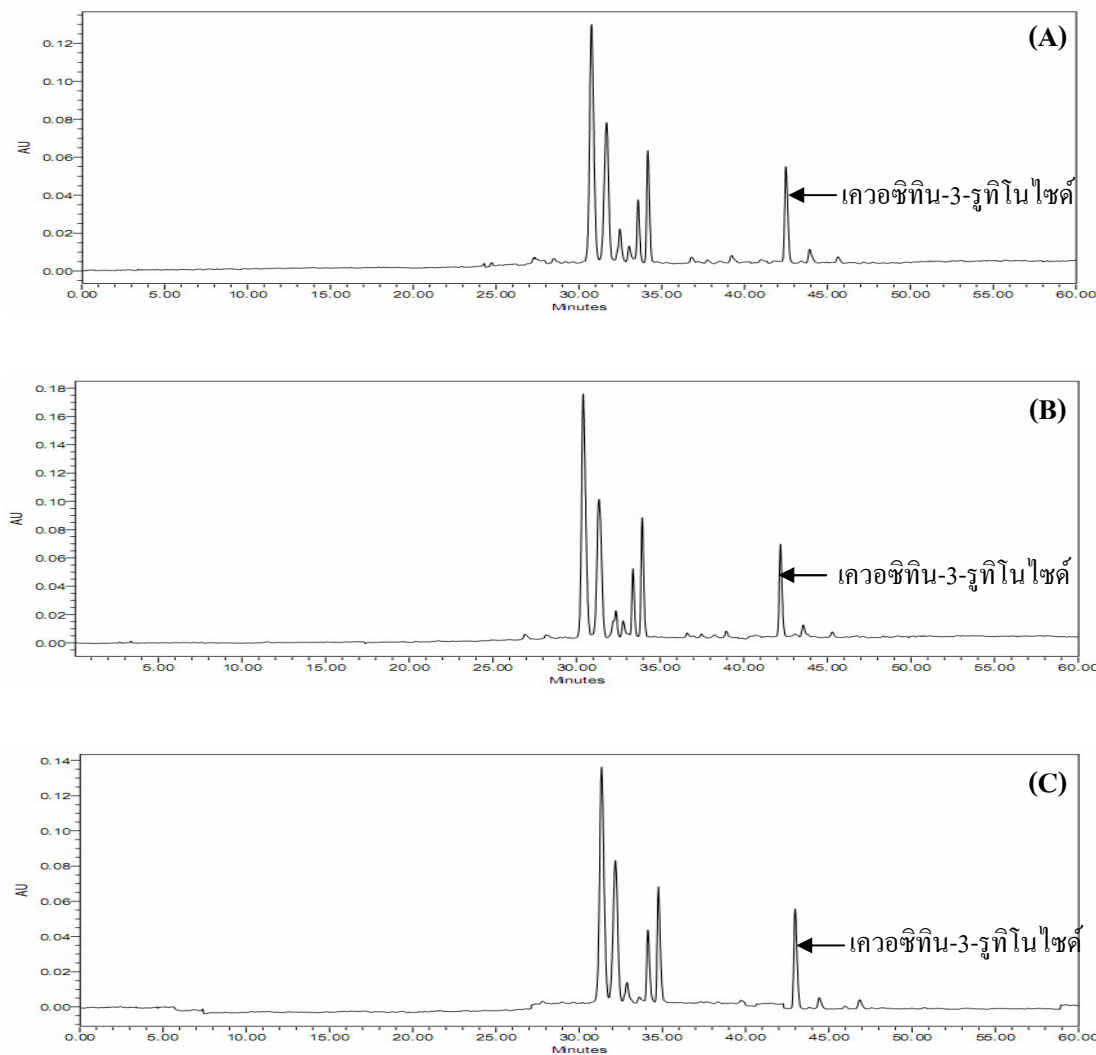
ผลการทดลองที่ได้สอดคล้องกับการทดลองของ Mozetic *et al.* (2004) ที่พบว่า กรดนีโอลคลอโรจินิก (neochlogenic acid) มีปริมาณลดลง เมื่อ sweet cherries (*Prunus avium L.*) มีการเจริญเติบโตมากขึ้น โดยในผลไม้ที่ยังอ่อนอยู่จะมีปริมาณของกรดคลอโรจินิกอยู่สูง แต่จะมีปริมาณลดลงในระหว่างการเจริญเติบโต (Awad and Jager, 2002) การที่กรดคลอโรจินิกมีปริมาณลดลงเมื่อผลหม่อนมีการเจริญเติบโตมากขึ้น อาจเนื่องมาจากการพาราความาริกที่เป็นสารตั้งต้นในการสังเคราะห์กรดคลอโรจินิกหรือกรดคลอโรจินิกถูกใช้เป็นสารตั้งต้นในการสังเคราะห์

สารประกอบในกลุ่มของพลาโวนอยด์ เช่น แอนโซไซตานิน (Mozetic *et al.*, 2004; Green, 2007) และเมื่อเปรียบเทียบปริมาณกรดคลอโรจินิกของผลหม่อนแต่ละสายพันธุ์ พบร่วมกันว่าสายพันธุ์กำแพงแสน-เอ็มบี-42-1 มีปริมาณกรดคลอโรจินิกมากที่สุด ($p \leq 0.05$) ทุกรายการเจริญเติบโต รองลงมาคือ สายพันธุ์เชียงใหม่ และบุรีรัมย์ 60 ตามลำดับ

5.2 การศึกษานิคและปริมาณของสารประกอบฟีนอลิกในกลุ่มของพลาโวนอยด์

5.2.1 การศึกษานิคและปริมาณของพลาโวนอล

จากการศึกษานิคของพลาโวนอลในผลหม่อนทั้ง 3 สายพันธุ์ ที่ระบุการเจริญเติบโตต่างๆ ที่ความยาวคลื่น 370 นาโนเมตร พบร่วมกันว่าผลหม่อนทั้ง 3 สายพันธุ์มีเควอซิทิน-3-รูทิโนไซด์ (รูทิน) เป็นองค์ประกอบตัวหลัก ในผลอ่อน ผลกึ่งสุก ผลสุก และผลสุกเต็มที่ (ภาพที่ 30) เช่นเดียวกับผลการทดลองของ Pawlowska *et al.* (2008) ที่ศึกษาเพื่อระบุนิคของสารประกอบฟีนอลิกในสารสกัดจาก black mulberry (*Morus nigra*) และ white mulberry (*Morus alba*) โดยเทคนิค HPLC-PDA-ESI-MS พบร่วมกันว่าสารประกอบในกลุ่มพลาโวนอล ซึ่งได้แก่ เควอซิทิน-3-O-รูทิโนไซด์ (quercetin-3-O-rutinoside) เควอซิทิน-3-O-กลูโคไซด์ (quercetin-3-O-glucoside) และแคมฟีฟอรอล-3-O-รูทิโนไซด์ (kaempferol-3-O-rutinoside) เป็นองค์ประกอบโดยเควอซิทิน-3-O-รูทิโนไซด์ กือพลาโวนอลนิคหลักของ black mulberry (*Morus nigra*) และ white mulberry (*Morus alba*) ซึ่งมีปริมาณมากกว่าเควอซิทิน-3-O-กลูโคไซด์ และแคมฟีฟอรอล-3-O-รูทิโนไซด์ 89.7% และ 95.4% ตามลำดับ ใน black mulberry (*Morus nigra*) และ 77.2% และ 78.7% ตามลำดับ ใน white mulberry (*Morus alba*)



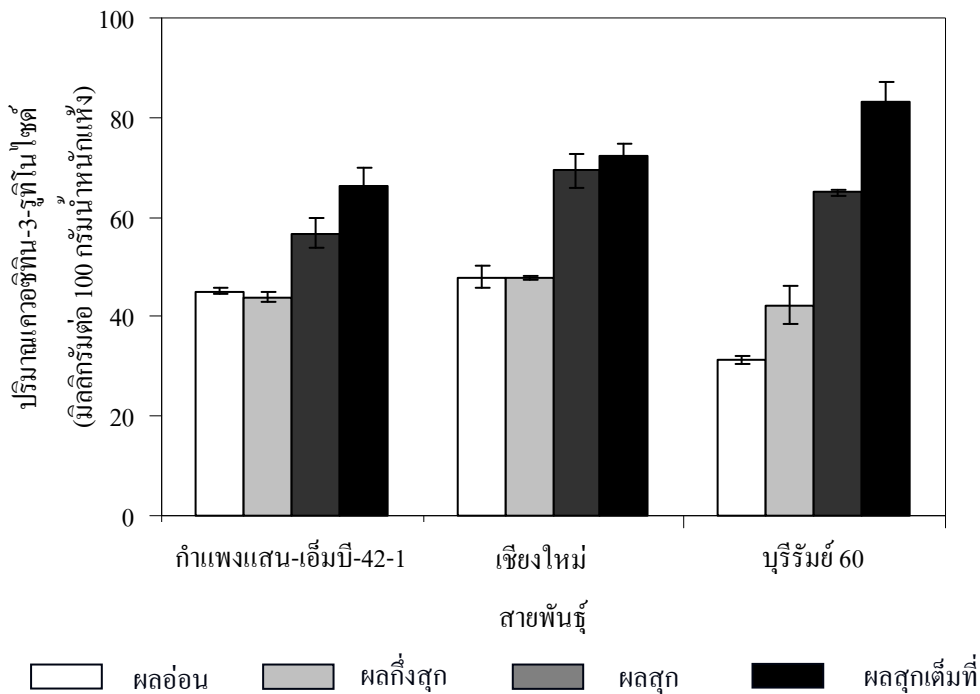
ภาพที่ 30 ตัวอย่าง HPLC โคมาราโ dikrogram ของเคอซิทิน-3-รูติโนไซด์ (quercetin-3-rutinoside)

ของผลหม่อน 3 สายพันธุ์ (A: สายพันธุ์เชียงใหม่ B: สายพันธุ์กำแพงแสน-อี้มบี-42-1

และ C: สายพันธุ์บุรีรัมย์ 60) ที่ระยะการเจริญเติบโตที่ 4 (ผลสุกเต็มที่)

เมื่อศึกษาปริมาณเคอซิทิน-3-รูติโนไซด์ โดยเทคนิค HPLC ของผลหม่อนทั้ง 3 สายพันธุ์ที่ระยะการเจริญเติบโตแตกต่างกัน พบร่วมเคอซิทิน-3-รูติโนไซด์ มีปริมาณตั้งแต่ 31.4 ± 0.9 ถึง 83.3 ± 3.6 มิลลิกรัมต่อ 100 กรัมน้ำหนักแห้ง (ภาพที่ 31) ซึ่งมีปริมาณแตกต่างกันไป ตามสายพันธุ์และระยะการเจริญเติบโต โดยปริมาณเคอซิทิน-3-รูติโนไซด์มีแนวโน้มเพิ่มขึ้นเมื่อ ผลหม่อนมีการเจริญเติบโตมากขึ้น โดยผลอ่อนและผลกึ่งสุกของผลหม่อนทุกสายพันธุ์มีปริมาณ เคอซิทิน-3-รูติโนไซด์ น้อยกว่าผลสุกและสุกเต็มที่ ($p \leq 0.05$) แนวโน้มการลดลงของปริมาณ เคอซิทิน-3-รูติโนไซด์ ไม่สอดคล้องกับงานวิจัยของ Jaakola *et al.* (2002) ที่รายงานว่าเคอซิทิน

ใน Bilberry (*Vaccinium myrtillus*) มีปริมาณมากที่สุด ในช่วงการพัฒนาของดอก และจะลดลงอย่างต่อเนื่องเมื่อมีการพัฒนาของผล ทั้งนี้อาจเนื่องมาจากผลไม้ที่ต่างชนิดกันทำให้มีการสังเคราะห์หรือการสะสมเควอซิทินที่ต่างกัน และเมื่อเปรียบเทียบปริมาณเควอซิทิน-3-รูทิโน ไซค์ของผลหม่อนแต่ละระยะการเจริญเติบโต พบร่วมกับปริมาณเควอซิทิน-3-รูทิโน ไซค์มากที่สุด ($p \leq 0.05$) มีปริมาณเท่ากับ 48.0 ± 2.1 มิลลิกรัมต่อ 100 กรัมน้ำหนักแห้ง รองลงมาคือ สายพันธุ์เชียงใหม่ และบุรีรัมย์ 60 ตามลำดับ ในส่วนของผลกึ่งสุกทั้ง 3 สายพันธุ์มีปริมาณไม่ต่างกัน ($p > 0.05$) ผลสุกของสายพันธุ์กำแพงแสน-อี็มบี-42-1 และบุรีรัมย์ 60 มีปริมาณเควอซิทิน-3-รูทิโน ไซค์มากที่สุด ($p \leq 0.05$) เท่ากับ 69.3 ± 3.5 และ 64.9 ± 0.6 มิลลิกรัมต่อ 100 กรัมน้ำหนักแห้ง ตามลำดับ และผลสุกเต็มที่ของสายพันธุ์บุรีรัมย์ 60 มีปริมาณเควอซิทิน-3-รูทิโน ไซค์มากที่สุด ($p \leq 0.05$) เท่ากับ 83.3 ± 3.6 มิลลิกรัมต่อ 100 กรัมน้ำหนักแห้ง (69.2 ± 3.0 มิลลิกรัมต่อ 100 กรัมตัวอย่างแห้ง) โดยมีปริมาณมากกว่าสายพันธุ์เชียงใหม่ และกำแพงแสน-อี็มบี-42-1 กิดเป็น 1.3 เท่า และ 1.1 เท่า ตามลำดับ และเมื่อเปรียบเทียบปริมาณเควอซิทิน-3-รูทิโน ไซค์ของผลสุกเต็มที่สายพันธุ์บุรีรัมย์ 60 กับผลหม่อนสายพันธุ์ Guo-2 พบร่วมกับสายพันธุ์บุรีรัมย์ 60 มีปริมาณเควอซิทิน-3-รูทิโน ไซค์น้อยกว่าสายพันธุ์ Guo-2 กิดเป็น 71.6% (เปรียบเทียบในหน่วยมิลลิกรัมต่อ 100 กรัมตัวอย่างแห้ง) การที่ผลหม่อนสายพันธุ์บุรีรัมย์ 60 มีปริมาณเควอซิทิน-3-รูทิโน ไซค์น้อยกว่าอาจเกิดจากปัจจัยหลายประการ เช่น สายพันธุ์ แหล่งเพาะปลูก และสภาพภูมิอากาศที่แตกต่างกัน (Isabelle et al., 2008)



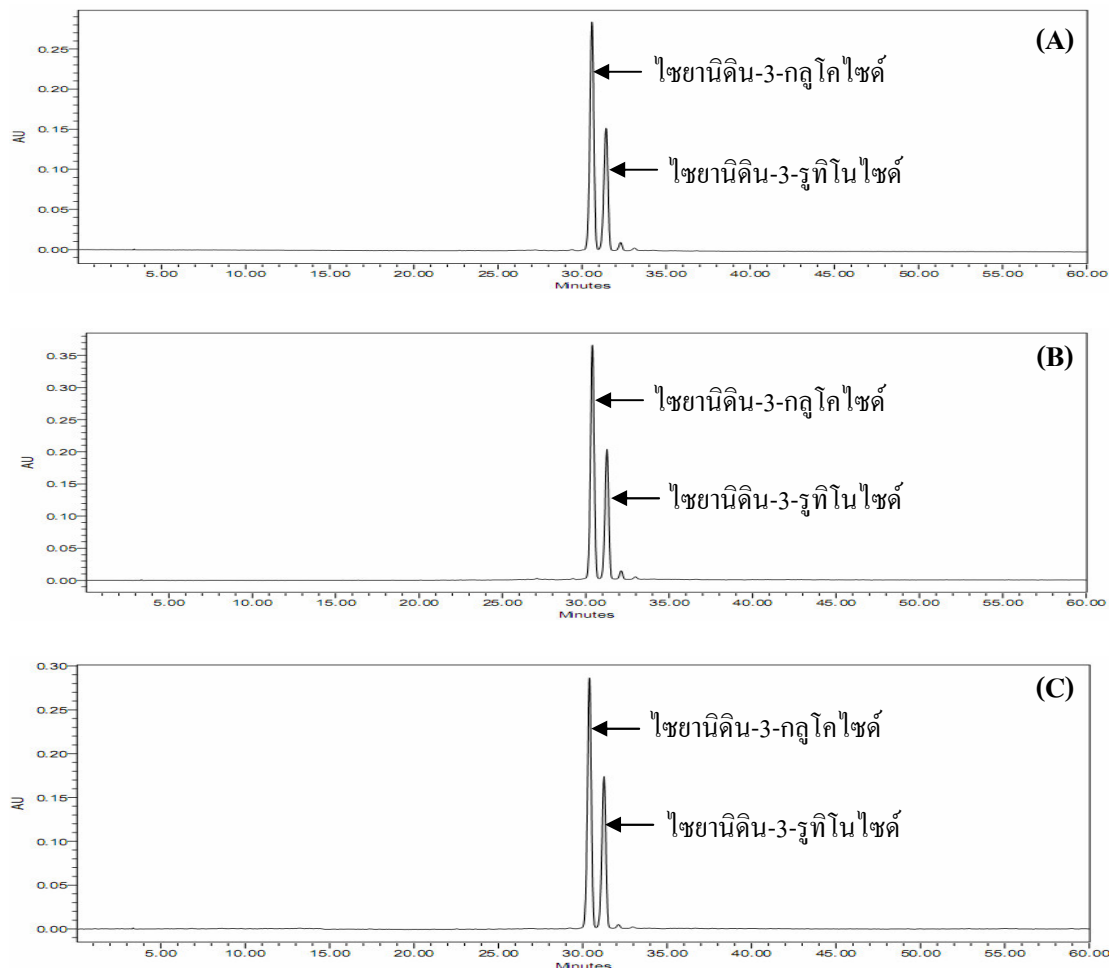
ภาพที่ 31 ปริมาณเควอชิทิน-3-รูทิโนไซด์ (quercetin-3-rutinoside) ของตัวอย่างผลหม่อน 3 สายพันธุ์ที่ระยการเจริญเติบโตแตกต่างกัน

หมายเหตุ : ข้อมูลแสดงค่าเฉลี่ย ($n=3$)

5.2.2 การศึกษานิคและปริมาณของแอนโซไซยานิน

จากผลการทดลองพบว่าผลหม่อนทั้ง 3 สายพันธุ์ มีแอนโซไซยานินนิคหลัก 2 ชนิดคือ ไซyanิน-3-กลูโคไซด์ และไซyanิน-3-รูทิโนไซด์ (ภาพที่ 32) และผลการทดลองที่ได้สอดคล้องกับ Du *et al.* (2008) ที่ศึกษานิคของแอนโซไซยานินในผลหม่อน (*Morus alba L.*) พบว่ามีไซyanิน-3-*O*- β -D-กลูโคไฟราโนไซด์ หรือไซyanิน-3-*O*-กลูโคไซด์ และไซyanิน-3-*O*-(6"-*O*- α -แรมโนไฟราโนซิล- β -D-กลูโคไฟราโนไซด์) หรือไซyanิน-3-*O*-รูทิโนไซด์ เป็นแอนโซไซยานินส์ชนิดหลักในผลหม่อน เช่นเดียวกัน และพบแอนโซไซยานินนิคหลักอีก 3 ชนิดคือ ไซyanิน-3-*O*-(6"-*O*- α -แรมโนไฟราโนซิล- β -D-กาแลคโตไฟราโนไซด์) ไซyanิน-3-*O*- β -D-กาแลคโตไฟราโนไซด์ และไซyanิน-7-*O*- β -D-กลูโคไฟราโนไซด์ อีกทั้งในปีเดียวกัน Pawlowska *et al.* รายงานว่าผลหม่อนสายพันธุ์อิตาเลียน(*Morus nigra*) มีไซyanิน-3-*O*-กลูโคไซด์

และไซยานิดิน-3-O-รูทิโนไซด์เป็นองค์ประกอบหลัก โดยมีปริมาณคิดเป็น 66.3% และ 27.8% ของปริมาณแอนโซไซยานินส์ทั้งหมด (ตามลำดับ) นอกจากนั้นยังพบแอนโซไซยานินอีก 2 ชนิดคือ เพลาโภนิดิน-3-O-กลูโคไซด์ และเพลาโภนิดิน-3-O-รูทิโนไซด์

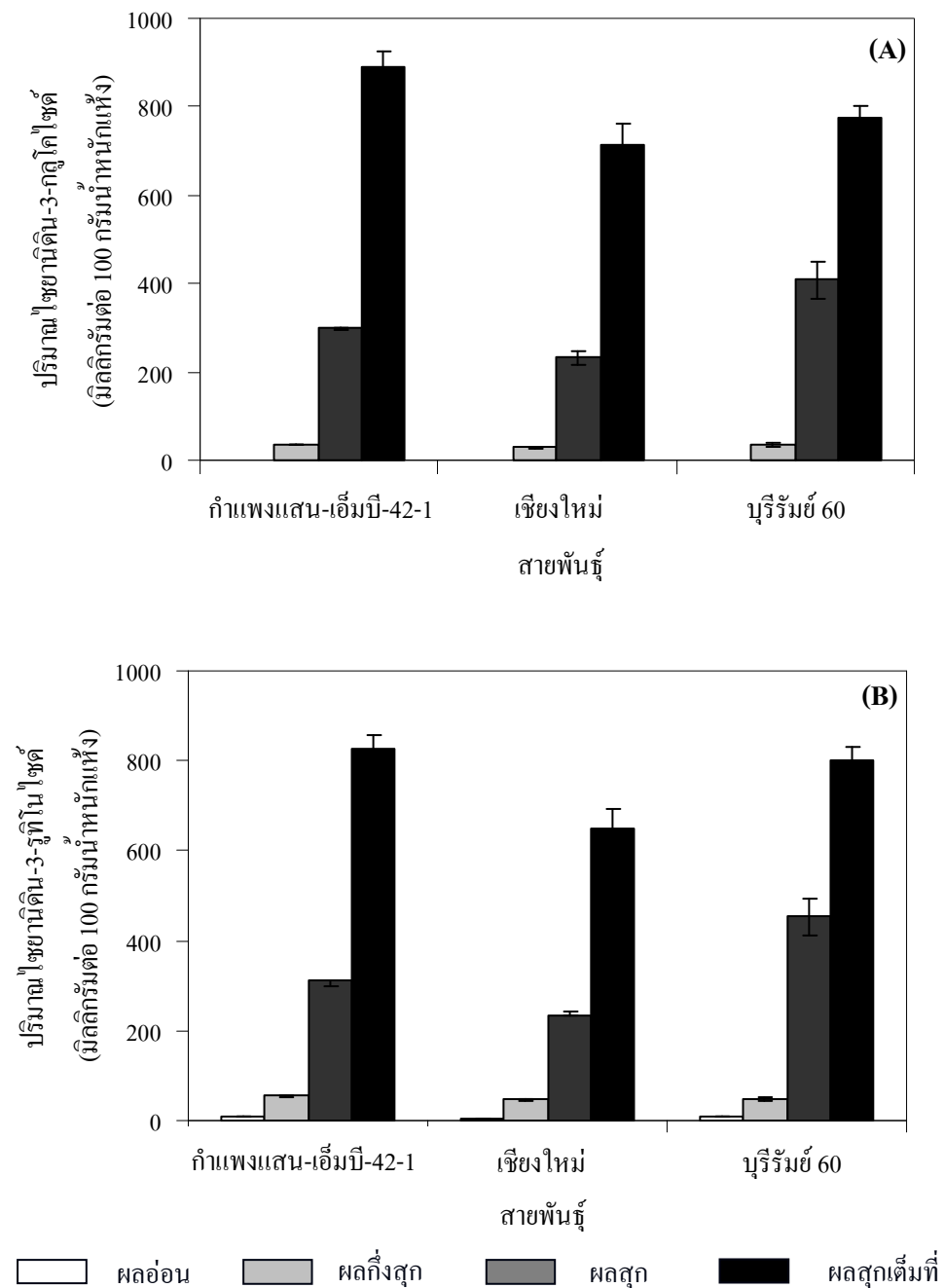


ภาพที่ 32 ตัวอย่าง HPLC โปรแกรมของไซยานิดิน-3-กลูโคไซด์ (cyanidin-3-glucoside) และไซยานิดิน-3-รูทิโนไซด์ (cyanidin-3-rutinoside) ของผลหม่อน 3 สายพันธุ์ (A: สายพันธุ์ เชียงใหม่ B: สายพันธุ์กำแพงแสน-เอ็มบี-42-1 และ C: สายพันธุ์บุรีรัมย์ 60) ที่ระยะการเจริญเติบโตที่ 4 (ผลสุกเต็มที่)

เมื่อวิเคราะห์ปริมาณไซยานิดิน-3-กลูโคไซด์ และไซยานิดิน-3-รูทิโนไซด์ของผลหม่อนทั้ง 3 สายพันธุ์ พบว่าไซยานิดิน-3-กลูโคไซด์มีปริมาณตั้งแต่ 0.6 ± 0.1 ถึง 889.3 ± 36.9 มิลลิกรัมต่อ 100 กรัมน้ำหนักแห้ง (ภาพที่ 33A) และไซยานิดิน-3-รูทิโนไซด์ มีปริมาณตั้งแต่

6.2±0.1 ถึง 827.4±31.3 มิลลิกรัมต่อ 100 กรัมน้ำหนักแห้ง (ภาพที่ 33B) โดยมีปริมาณแตกต่างกันไปตามสายพันธุ์และระดับการเจริญเติบโต ซึ่งจะมีผลสูงเต็มที่ของทุกสายพันธุ์มีปริมาณไซยาnidin-3-กลูโคไซด์ และไซยาnidin-3-รูทิโนไซด์มากที่สุด ($p \leq 0.05$) รองลงมาคือ ผลสูกผลกึ่งสูก และผลอ่อน ตามลำดับ ทั้งนี้ผลไม้ส่วนใหญ่จะมีการสังเคราะห์แอนโซไซยาnidินส์เพิ่มสูงขึ้น เมื่อผลไม้เข้าสู่วัยบริบูรณ์หรือแก่ และเพิ่มสูงสุดเมื่อผลสูกเต็มที่ (จริงแท้, 2549)

และเมื่อเปรียบเทียบความแตกต่างระหว่างสายพันธุ์ในระบบผลสุกเต็มที่พบว่าสายพันธุ์กำแพงแสน-เอ็มบี-42-1 มีปริมาณไซyanin-3-กลูโคไซด์มากที่สุด ($p \leq 0.05$) โดยมีปริมาณเท่ากับ 889.3 ± 36.9 มิลลิกรัมต่อ 100 กรัมน้ำหนักแห้ง (156.4 ± 6.5 มิลลิกรัมต่อ 100 กรัมน้ำหนักสด) ในส่วนของสายพันธุ์เชียงใหม่และบุรีรัมย์ 60 มีปริมาณไซyanin-3-กลูโคไซด์ไม่แตกต่างกัน ($p > 0.05$) และปริมาณไซyanin-3-รูทิโนไซด์พบว่าผลสุกเต็มที่ของสายพันธุ์กำแพงแสน-เอ็มบี-42-1 และบุรีรัมย์ 60 มีปริมาณไซyanin-3-รูทิโนไซด์มากที่สุด ($p \leq 0.05$) โดยมีปริมาณเท่ากับ 827.4 ± 31.3 มิลลิกรัมต่อ 100 กรัมน้ำหนักแห้ง (145.5 ± 5.5 มิลลิกรัมต่อ 100 กรัมน้ำหนักสด) และ 799.8 ± 31.6 มิลลิกรัมต่อ 100 กรัมน้ำหนักแห้ง (133.2 ± 5.3 มิลลิกรัมต่อ 100 กรัมน้ำหนักสด) ตามลำดับ ผลที่ได้เช่นเดียวกับ Wang *et al.* (2009) ที่พบว่าrasabeอร์รีแคนมีปริมาณไซyanin-3-กลูโคไซด์ และไซyanin-3-รูทิโนไซด์เพิ่มมากขึ้นเมื่อมีการเจริญเติบโตมากขึ้น อีกทั้งยังสอดคล้องกับผลการทดลองของ Oki *et al.* (2006) ที่รายงานว่าผลหม่อน 8 สายพันธุ์ ได้แก่ Kataneo (*M. alba*) Kanton II Kou (*M. atropurpurea*) Ficus Mulberry (*M. latifolia*) Kanadasansou-B (*M. latifolia*) Miran 5 (*M. latifolia*) Mitsuminami (*M. latifolia*) Ookaraguwa (*M. latifolia*) และ Beikoku 13 (*M. microphylla*) มีปริมาณไซyanin-3-กลูโคไซด์ และไซyanin-3-รูทิโนไซด์แตกต่างกันไปตามสายพันธุ์ โดยมีการสะสมไซyanin-3-กลูโคไซด์ และไซyanin-3-รูทิโนไซด์เพิ่มขึ้นเมื่อผลหม่อนมีการเจริญเติบโตมากขึ้น และผลสุกเต็มที่ของสายพันธุ์ Miran 5 มีปริมาณไซyanin-3-กลูโคไซด์มากที่สุด ซึ่งมีปริมาณมากกว่าผลหม่อนสายพันธุ์กำแพงแสน-เอ็มบี-42-1 กิดเป็น 2.1 เท่า (เปรียบเทียบในหน่วยมิลลิกรัมต่อ 100 กรัมน้ำหนักสด) ในส่วนของไซyanin-3-รูทิโนไซด์น้อยกว่าสายพันธุ์ Ookaraguwa มีปริมาณไซyanin-3-รูทิโนไซด์น้อยกว่าสายพันธุ์กำแพงแสน-เอ็มบี-42-1 และบุรีรัมย์ 60 กิดเป็น 1.2 เท่า และ 1.1 เท่า ตามลำดับ (เปรียบเทียบในหน่วยมิลลิกรัม 100 กรัมน้ำหนักสด) ทั้งนี้ความแตกต่างของปริมาณสารชีนอยู่กับปัจจัยหลายประการ ได้แก่ สภาพภูมิอากาศ สายพันธุ์ รวมทั้งสารละลายน้ำที่ใช้ในการสกัด และวิธีการสกัด เป็นต้น (Castreron *et al.*, 2008)



ภาพที่ 33 ปริมาณไซyanidin-3-กลูโคไซด์ (cyanidin-3-glucoside) (A) และไซyanidin-3-รูทินไซด์ (cyanidin-3-rutinoside) (B) ของตัวอย่างผลหม่อน 3 สายพันธุ์ที่ระยะการเจริญเติบโตแตกต่างกัน

หมายเหตุ : ข้อมูลแสดงค่าเฉลี่ย ($n=3$)

เมื่อเปรียบปริมาณแอนโซไซยานินส์ทั้งหมดที่ตรวจสอบโดยวิธี pH-differential (ภาพที่ 24) กับปริมาณไชยานิดิน-3-กลูโคไซด์และไชยานิดิน-3-รูทิโนไซด์ที่ตรวจสอบโดยเทคนิค HPLC พบว่าผลรวมของปริมาณไชยานิดิน-3-กลูโคไซด์ และไชยานิดิน-3-รูทิโนไซด์ ในแต่ละ ระยะการเจริญเติบโตใกล้เคียงกับปริมาณแอนโซไซยานินส์ทั้งหมดที่ตรวจสอบด้วยวิธี pH-differential ยกเว้นผลอ่อน (immature) ทั้งนี้อาจเนื่องจากผลอ่อนมีปริมาณแอนโซไซยานินน้อยมาก จึงอาจเกิดความไม่แน่นอนในการวิเคราะห์

7. วิเคราะห์ความสัมพันธ์ระหว่างปริมาณสารประกอบฟีโนอลิกที่ตรวจสอบโดยเทคนิค HPLC และ ปริมาณสารประกอบฟีโนอลิกทั้งหมด สมบัติการต้านอนุมูลอิสระ DPPH และ ABTS

เมื่อวิเคราะห์ความสัมพันธ์ระหว่างปริมาณสารประกอบฟีโนอลิกที่ตรวจสอบโดยเทคนิค HPLC กับปริมาณสารประกอบฟีโนอลิกทั้งหมด สมบัติการต้านอนุมูลอิสระ DPPH และ ABTS พบว่าการเปลี่ยนแปลงปริมาณของ酇อซิทิน-3-รูทิโนไซด์ ไชยานิดิน-3-กลูโคไซด์ และ ไชยานิดิน-3-รูทิโนไซด์ มีความสัมพันธ์ในทิศทางเดียวกับปริมาณสารประกอบฟีโนอลิกทั้งหมด สมบัติการต้านอนุมูลอิสระ DPPH และ ABTS โดยมีค่าสหสัมพันธ์สูง (ตารางที่ 8) จึงอาจเป็นไปได้ว่า酇อซิทิน-3-รูทิโนไซด์ ไชยานิดิน-3-กลูโคไซด์ และ ไชยานิดิน-3-รูทิโนไซด์ เป็นสารประกอบที่มีอิทธิพลต่อปริมาณสารประกอบฟีโนอลิกทั้งหมด สมบัติการต้านอนุมูลอิสระ DPPH และ ABTS ในขณะที่การเปลี่ยนแปลงปริมาณของกรดคลอโรจินิกมีความสัมพันธ์ในทิศทางตรงกันข้ามกับ ปริมาณสารประกอบฟีโนอลิกทั้งหมด สมบัติการต้านอนุมูลอิสระ DPPH และ ABTS โดยมีค่าสหสัมพันธ์ค่อนข้างต่ำ ทั้งนี้เนื่องจากสมบัติในการต้านอนุมูลอิสระ DPPH และ ABTS อาจไม่ได้มีอิทธิพลมาจากการไดสารหนึ่ง แต่อาจเป็นผลมาจากการประกอบฟีโนอลิกชนิดอื่นส่วนร่วมกัน

ตารางที่ 8 ค่าสหสัมพันธ์ (correlation coefficient) ระหว่างปริมาณสารประกอบฟีโนลิกที่ตรวจสอบโดยเทคนิค HPLC และปริมาณสารประกอบฟีโนลิกทั้งหมด สมบัติการต้านอนุมูลอิสระ DPPH และ ABTS

กรดคลอโรเจนิก ฟีโนลิกทั้งหมด	เคอซิทิน-3- รูทิโนไซด์	ไซyanidin-3- กลูโคไซด์	ไซyanidin-3- รูทิโนไซด์
ปริมาณสารประกอบ ฟีโนลิกทั้งหมด	-0.394	0.900	0.944
สมบัติการต้านอนุมูล อิสระ DPPH	-0.528	0.890	0.973
สมบัติการต้านอนุมูล อิสระ ABTS	-0.468	0.902	0.967

สรุปและข้อเสนอแนะ

สรุป

1. สายพันธุ์และระยะเวลาเจริญเติบโตส่งผลต่อปริมาณประกอบฟีโนลิกทั้งหมด ปริมาณแอนโไซยานินส์ทั้งหมด และสมบัติการต้านอนุมูลอิสระ DPPH และ ABTS ของผลหม่อน โดยผลหม่อนสายพันธุ์ต่างกันมีปริมาณสารประกอบฟีโนลิกทั้งหมด ปริมาณแอนโไซยานินส์ทั้งหมด และสมบัติการต้านอนุมูลอิสระ DPPH และ ABTS แตกต่างกัน โดยปริมาณสารประกอบฟีโนลิกทั้งหมด ปริมาณแอนโไซยานินส์ทั้งหมด และสมบัติการต้านอนุมูลอิสระ DPPH และ ABTS มีค่าเพิ่มมากขึ้นเมื่อผลหม่อนมีการเจริญเติบโตมากขึ้น ซึ่งในระยะผลสุกเต็มที่ของผลหม่อนทุกสายพันธุ์มีปริมาณสารประกอบฟีโนลิกทั้งหมด ปริมาณแอนโไซยานินส์ทั้งหมด และสมบัติการต้านอนุมูลอิสระ DPPH และ ABTS มากที่สุด ($p \leq 0.05$) และเมื่อเปรียบเทียบในระยะผลสุกเต็มที่ของสายพันธุ์กำแพงแสน-เอ็มบี-42-1 เชียงใหม่ และบุรีรัมย์ 60 พบร้าสายพันธุ์กำแพงแสน-เอ็มบี-42-1 มีปริมาณสารประกอบฟีโนลิกทั้งหมด ปริมาณแอนโไซยานินส์ทั้งหมด และสมบัติการต้านอนุมูลอิสระ ABTS มากที่สุด ($p \leq 0.05$) มีค่าเท่ากับ $3,317.7 \pm 79.5$ มิลลิกรัมสมมูลของกรดแกลลิกต่อ 100 กรัมน้ำหนักแห้ง $1,843.6 \pm 13.9$ มิลลิกรัมไซยานิดิน-3-กลูโคไซด์ต่อ 100 กรัมน้ำหนักแห้ง ตามลำดับ ในส่วนของสมบัติการต้านอนุมูลอิสระ DPPH พบร้าระยะผลสุกเต็มที่ของสายพันธุ์กำแพงแสน-เอ็มบี-42-1 และบุรีรัมย์ 60 มีค่ามากที่สุด ($p \leq 0.05$) มีค่าเท่ากับ $2,812.2 \pm 33.7$ และ $2,761.0 \pm 127.6$ มิลลิกรัมสมมูลของวิตามินซีต่อ 100 กรัมน้ำหนักแห้ง ตามลำดับ

2. เมื่อศึกษาชนิดและปริมาณของสารประกอบฟีโนลิกในผลหม่อน 3 สายพันธุ์โดยเทคนิค High Performance Liquid Chromatography (HPLC) พบร้าสารประกอบฟีโนลิกชนิดหลักของผลหม่อนคือ กรดคลอโรจินิก ไซยานิดิน-3-กลูโคไซด์ และไซยานิดิน-3-รูทิโนไซด์ พบร้าได้ทั้งในผลอ่อน ผลกึ่งสุก ผลสุก และผลสุกเต็มที่ โดยกรดคลอโรจินิกมีปริมาณลดลงเมื่อผลหม่อนมีการเจริญเติบโตมากขึ้น และผลอ่อนของสายพันธุ์กำแพงแสน-เอ็มบี-42-1 มีปริมาณกรดคลอโรจินิกมากกว่าสายพันธุ์เชียงใหม่และบุรีรัมย์ 60 ($p \leq 0.05$) มีค่าเท่ากับ 762.5 ± 36.2 มิลลิกรัมต่อ 100 กรัมน้ำหนักแห้ง ในขณะที่ไซยานิดิน-3-กลูโคไซด์ และไซยานิดิน-3-รูทิโนไซด์มีปริมาณเพิ่มมากขึ้น เมื่อผลหม่อนมีการเจริญเติบโตมากขึ้น และเมื่อเปรียบเทียบผลสุกเต็มที่ของสายพันธุ์กำแพงแสน-เอ็มบี-42-1 เชียงใหม่ บุรีรัมย์ 60 พบร้าสายพันธุ์กำแพงแสน-เอ็มบี-42-1 มีปริมาณ

ไซยานิน-3-กลูโคไซค์มากที่สุด ($p \leq 0.05$) มีค่าเท่ากับ 889.3 ± 36.9 มิลลิกรัมต่อ 100 กรัมน้ำหนัก แห้ง ในส่วนของไซยานิน-3-รูทิโนไซด์ พ布ว่าผลหม่อนสายพันธุ์กำแพงแสน-เอ็มบี-42-1 และ บูรีรัมย์ 60 มีปริมาณมากกว่าสายพันธุ์เชียงใหม่ ($p \leq 0.05$) มีค่าเท่ากับ 827.4 ± 31.27 และ 799.8 ± 31.6 มิลลิกรัมต่อ 100 กรัมน้ำหนักแห้ง ตามลำดับ อีกทั้งยังพบเคอซิทิน-3-รูทิโนไซด์เป็น องค์ประกอบ ซึ่งมีแนวโน้มเพิ่มมากขึ้นเมื่อผลหม่อนมีการเจริญเติบโตมากขึ้น โดยผลอ่อนและผล กิ่งสุกของผลหม่อนทุกสายพันธุ์มีปริมาณเคอซิทิน-3-รูทิโนไซด์ น้อยกว่าผลสุกและสุกเต็มที่ และ ระยะผลสุกเต็มที่ของสายพันธุ์บูรีรัมย์ 60 มีปริมาณเคอซิทิน-3-รูทิโนไซค์มากกว่าสายพันธุ์ เชียงใหม่ และกำแพงแสน-เอ็มบี-42-1 ($p \leq 0.05$) มีค่าเท่ากับ 83.3 ± 3.6 มิลลิกรัมต่อ 100 กรัมน้ำหนัก แห้ง

ข้อเสนอแนะ

**การศึกษาผลของสายพันธุ์และระบบการเจริญเติบโตต่อสารประกอบฟีโนลิกและ
ความสามารถด้านออกซิเดชันของผลหม่อน ทำให้ทราบถึงสายพันธุ์และระบบการเจริญเติบโตที่
สามารถนำไปใช้ประโยชน์ในอุตสาหกรรมต่างๆ ได้อย่างเหมาะสม โดยผลหม่อนในระบบผลสุก
และผลสุกเต็มที่สามารถรับประทานแบบผลสด หรือนำไปผลิตเป็นผลิตภัณฑ์ต่างๆ ได้ เช่น น้ำ
ผลไม้ แยม ไวน์ เป็นต้น เนื่องจากมีรสชาติที่ดีและมีสารประกอบฟีโนลิกในปริมาณสูง อีกทั้งยัง
สามารถใช้เป็นสีผสมอาหารหรือใช้เป็นสีในเครื่องสำอางค์ได้ เป็นการเพิ่มนูกล่าให้กับผลหม่อน
และส่งเสริมให้เกยตรรมมีรายได้เพิ่มมากขึ้นนอกเหนือจากการปลูกหม่อนเพื่อใช้ประโยชน์จากใบ
หม่อนเพียงอย่างเดียว และยังสามารถลดการนำเข้าผลไม้จากต่างประเทศได้ อีกทั้งในผลอ่อนและ
ผลกึ่งสุกแม้ว่าจะไม่มีการนำมาใช้ประโยชน์ในอุตสาหกรรมต่างๆ โดยเฉพาะอย่างยิ่งอุตสาหกรรม
อาหาร แต่เนื่องจากในผลอ่อนและผลกึ่งสุกมีปริมาณกรดคลอโรจินิกค่อนข้างสูงจึงอาจนำไปใช้
ประโยชน์ในการสกัดเป็นสารสกัดเพื่อใช้เป็นแหล่งอาหารเสริมได้ เป็นต้น**

เนื่องจากการทำดัชนีการเก็บเกี่ยวผลหม่อนยังมีน้อย นอกจาก การใช้ภาพถ่าย สีผิว และ
ขนาดเป็นดัชนีการเก็บเกี่ยวแล้ว ปริมาณของแข็งที่ละลายได้ (total soluble solid) ปริมาณกรด
(% acidity) หรือความกรดจำเพาะ เหล่านี้สามารถใช้เป็นดัชนีการเก็บเกี่ยวได้ ดังนั้นในการศึกษา
ต่อไปจึงควรมีการวัดปริมาณของแข็งที่ละลายได้ ปริมาณกรด และความกรดจำเพาะ เพื่อใช้เป็น
ข้อมูลในการทำดัชนีการเก็บเกี่ยวผลหม่อนนอกเหนือจากการใช้ภาพถ่าย สีผิว และขนาด

เอกสารและสิ่งอ้างอิง

จริงแท้ ศิริพานิช. 2546. สรีรัตน์ฯและเทคโนโลยีหลังการเก็บเกี่ยวผักและผลไม้. พิมพ์ครั้งที่ 5.
มหาวิทยาลัยเกษตรศาสตร์, กรุงเทพฯ.

_____. 2549. ชีววิทยาหลังการเก็บเกี่ยวและการรายของพืช. พิมพ์ครั้งที่ 1.
มหาวิทยาลัยเกษตรศาสตร์ วิทยาเขตกำแพงแสน, นครปฐม.

ธนบูลย์ สจានนันตกุล. 2548. เทคโนโลยีหลังการเก็บเกี่ยวผลิตผลสุดเกษตร. ภาควิชา
วิทยาศาสตร์และเทคโนโลยีการอาหาร คณะอุตสาหกรรมเกษตร
มหาวิทยาลัยเกษตรศาสตร์, กรุงเทพฯ. (อัดสำเนา)

นิรนาม. 2547. การปลูกหม่อนเลี้ยงไห茂. โครงการหม่อนไห茂ครบรอบ. แหล่งที่มา:
<http://www.monmai.oamc.ku.ac.th/PlantMon/PlantMon01.htm#plantMon60>, 11 มีนาคม
2552.

ปราโมทย์ ศุภดิనรัตน์, อุไรวรรณ นิลเพ็ชร, อรกมล ไกรวงศ์ และ ภาวัต พุ่งจร. 2552. การผลิต
หม่อนไห茂ครบรอบเพื่อเกษตรยั่งยืน. อุทยานเทคโนโลยี 60 ปี
มหาวิทยาลัยเกษตรศาสตร์. แหล่งที่มา:
http://www.rdi.ku.ac.th/Techno_ku60/res-26/index26.html, 12 มกราคม 2552.

พิชญ์อร ไห茂สุทธิสกุล. 2549. การใช้สารประกอบฟีโนลิกของพืชเป็นสารต้านอนุมูลอิสระ.
วารสารวิชาการมหาวิทยาลัยหอการค้าไทย ปีที่ 26. 3: 222-238.

วสันต์ นุยกิริมย์. 2546. หม่อนรับประทานผลและการแปรรูป. พิมพ์ครั้งที่ 1. สำนักพิมพ์นันทการ
กราฟฟิค การพิมพ์.

วิวัฒน์ หวังเจริญ. 2545. บทบาทของสารประกอบฟีโนลิกต่อสุขภาพ. วารสารอาหาร. 32(4):
245-253.

ศิริพร บุญชู, ผู้เรียนรีบง. 2546. ชาใบหม่อน. กรรมส่งเสริมการเกษตร. กรุงเทพฯ.

ศูนย์หม่อนไหมเมืองพระเกียรติฯ เชียงใหม่. 2550. หม่อนพันธุ์แนะนำ: หม่อนผลสดพันธุ์

เชียงใหม่. ศูนย์หม่อนไหมเมืองพระเกียรติฯ เชียงใหม่. แหล่งที่มา:

http://chiangmaisilk.blogspot.com/2007/07/blog-post_2391.html, 5 สิงหาคม 2551.

โอกาส วัชระคุปต์, ปริชา บุญจง, จันทนา บุณยะรัตน์ และ มาลีรักษ์ อัตต์สินทอง. 2549. สารต้าน
อนุมูลอิสระ. พิมพ์ครั้งที่ 1. สำนักพิมพ์พี. เอส. พรินท์, นนทบุรี.

Anonymous. 2008. **Mulberry. Pbase.** Available Source:

<http://www.pbase.com/domary/image/19713472>, August 3, 2008.

Awad, M. A. and A. d. Jager. 2002. Formation of flavonoids, especially anthocyanin and chlorogenic acid in 'Jonagold' apple skin: influences of growth regulators and fruit maturity. **Scientia Horticulturae.** 93: 257-266.

Bae, S.H. and H.J. Suh. 2007. Antioxidant activities of five different mulberry cultivars in Korea. **LWT-Food Science and Technology.** 40: 955-962.

Borbalan, A.M.A., L. Zorro, D.A. Guillen and C.G. Barroso. 2003. Study of the polyphenol content of red and white grape varieties by liquid chromatography–mass spectrometry and its relationship to antioxidant power. **Journal of Chromatography A.** 1012: 31–38.

Bouaziz, M., M. Chamkha and S. Sayadi. 2004. Comparative study on phenolic content and antioxidant activity during maturation of the olive cultivar Chemlali from Tunisia. **Journal of Agricultural and Food Chemistry.** 52: 5476-5481.

- Castrejon, A.D.R., I. Eichholz, S. Rohn, L.W. Kroh and S. Huyskens-Keil. 2008. Phenolic profile and antioxidant activity of highbush blueberry (*Vaccinium corymbosum* L.) during fruit maturation and ripening. **Food Chemistry.** 109: 564–572.
- Chantanawarangoon, S. 2005. **Characterization and concentration of phenolic compounds in tart cherry and plum juices.** Ph.D. Thesis, Cornell University.
- Du, Q., J. Zheng and Y. Xu. 2008. Composition of anthocyanins in mulberry and their antioxidant activity. **Journal of Food Composition and Analysis.** 21(5): 390-395.
- Ercisli, S. and E. Orhan. 2007. Chemical composition of white (*Morus alba*), red (*Morus rubra*) and black (*Morus nigra*) mulberry fruits. **Food Chemistry.** 103: 1380–1384.
- Fang, Z., M. Zhang, Y. Sun and J. Sun. 2007. Polyphenol oxidase from bayberry (*Myrica rubra* Sieb. et Zucc.) and its role in anthocyanin degradation. **Food Chemistry.** 103: 268–273.
- Ferreyra, R.M., S.Z. Vina, A. Mugridge and A.R. Chaves. 2007. Growth and ripening season effects on antioxidant capacity of strawberry cultivar Selva. **Scientia Horticulturae.** 112: 27–32.
- Gerasopoulos, D. and G. Stavroulakis. 1997. Quality characteristics of four mulberry (*Morus* sp.) cultivars in the area of Chania, Greece. **Journal of Agricultural and Food Chemistry.** 73: 261-264.
- Giusti, M.M. and R. E. Wrolstad. 2005. Characterization and measurement of anthocyanins by UV-Visible spectroscopy, pp. 19-31. In R.E. Wrolstad, T.E. Acree, E.A. Decker, M.H. Penner, D.S. Reid, S.J. Schwartz, C.F. Shoemaker, D. Smith and P. Sporns, eds. **Handbook of Food Analytical Chemistry.** Wiley-Interscience, Hoboken, New Jersey.

- Goli, A.H., M. Barzegar and M.A. Sahari. 2005. Antioxidant activity and total phenolic compounds of pistachio (*Pistacia vera*) hull extracts. **Food Chemistry.** 92: 521-525.
- Green, R.C. 2007. **Physicochemical properties and phenolic composition of selected saskatcewan fruits: buffaloberry, chokecherry and sea buckthorn.** Ph.D. Thesis, Saskatchewan University.
- Hakkinen, S. 2000. **Flavonols and phenolic acids in berries and berry product.** Ph.D. Thesis, Kuopio University.
- Huang, D., B. Ou and R. L. Prior. 2005. The chemistry behind antioxidant capacity assays. **Journal of Agricultural and Food Chemistry.** 53: 1841-1856.
- Isabelle, M., B.L. Lee, C.N. Ong, X. Liu and D. Huang. 2008. Peroxyl radical scavenging capacity, polyphenolics, and lipophilic antioxidant profiles of mulberry fruits cultivated in Southern China. **Journal of Agricultural and Food Chemistry.** 56: 9410–9416.
- Jaakola, L., K. Maatta, A. M. Pirttila, R. Torronen, S. Karenlampi and A. Hohtola. 2002. Expression of Genes involved in anthocyanin biosynthesis in relation to anthocyanin, proanthocyanidin, and flavonol levels during bilberry fruit development. **Plant Physiology.** 130: 729-739.
- Jang, H.D., K.S. Chang, Y.S. Huang, C.L. Hsu, S.H. Lee and M.S. Su. 2007. Principal phenolic phytochemicals and antioxidant activities of three Chinese medicinal plants. **Food Chemistry.** 103: 749–756.
- Kim, D.O. and C.Y. Lee. 2002. Extraction and Isolation of polyphenolics. **Current Protocols in Food Analytical Chemistry.** R.E. Wrolstad. New York, Wiley: 11.2.1-11.2.12.

- _____, and _____. 2005. HPLC separation of polyphenolic, pp. 483-498. In R.E. Wrolstad, T.E. Acree, E.A. Decker, M.H. Penner, D.S. Reid, SJ. Schwartz, C.F. Shoemaker, D. Smith and P. Sporns, eds. **Handbook of Food Analytical Chemistry**. Wiley-Interscience, Hoboken, New Jersey.
- _____, K.W. Lee, H.J. Lee and C.Y. Lee. 2002. Vitamin C equivalent antioxidant capacity (VCEAC) of phenolic phytochemicals. **Journal of Agricultural and Food Chemistry**. 50: 3713-3717.
- _____, S.W. Jeong and C.Y. Lee. 2003. Antioxidant capacity of phenolic phytochemicals from various cultivars of plums. **Food Chemistry**. 81: 321-326.
- Kim, M.J., J.N. Hyun, J.A. Kim, J.C. Park, M.Y. Kim, J.G. Kim, S.J. Lee, S.C. Chun and I.M. Chung. 2007. Relationship between phenolic compounds, anthocyanins content and antioxidant activity in colored barley germplasm. **Journal of Agricultural and Food Chemistry**. 55: 4802-4809.
- Kirca, A. and B. Cemeroglu. 2003. Degradation kinetics of anthocyanins in blood orange juice and concentrate. **Food Chemistry**. 81: 583-587.
- _____, M. Ozkan and B. Cemeroglu. 2007. Effects of temperature, solid content and pH on the stability of black carrot anthocyanins. **Food Chemistry**. 101: 212-218.
- Kong, J.M., L.S. Chia, N.K. Goh, T.F. Chia and R. Brouillard. 2003. Analysis and biological activities of anthocyanins. **Phytochemistry**. 64: 923-933.
- Lima, V.L.A.G., E.A. Melo, M.I.S. Maciel, F.G. Prazeres, R.S. Musser and D.E.S. Lima. 2005. Total phenolic and carotenoid contents in acerola genotypes harvested at three ripening stages. **Food Chemistry**. 90: 565-568.

Lin, J.Y. and C.Y. Tang. 2007. Determination of total phenolic and flavonoid contents in selected fruits and vegetables, as well as their stimulatory effects on mouse splenocyte proliferation. **Food Chemistry.** 101: 140–147.

Markakis P. 1982. Stability of anthocyanins in foods, pp. 163-178. In Markakis P, ed.

Anthocyanins as food colors. Academic Press, Inc., New York.

Menichini, F., R. Tundis, M. Bonesi, M. R. Loizzo, F. Conforti, G. Statti, B. D. Cindio, P. J. Houghton and F. Menichini. 2009. The influence of fruit ripening on the phytochemical content and biological activity of *Capsicum chinense* Jacq. cv Habanero. **Food Chemistry.** 114: 553–560.

Mozetic, B., P. Trebse, M. Simcic and J. Hribar. 2004. Changes of anthocyanins and hydroxycinnamic acids affecting the skin colour during maturation of sweet cherries (*Prunus avium* L.). **Lebensmittel Wissenschaft and Technology.** 37: 123-128.

Oki, T., M. Kobayashi, T. Nakamura, A. Okuyama, M. Masuda, H. Shiratsuchi and I. Suda. 2006. Changes in radical-scavenging activity and components of mulberry fruit during maturation. **Jounal of Food Science.** 71(1): 18-22.

Orak, H.H. 2007. Total antioxidant activities, phenolics, anthocyanins, polyphenoloxidase activities of selected red grape cultivars and their correlations. **Scientia Horticulturae.** 111: 235–241.

Ozgen, M., C. Durgac, S. Serce and C. Kaya. 2008. Chemical and antioxidant properties of pomegranate cultivars grown in the Mediterranean region of Turkey. **Food Chemistry.** 111: 703-706.

Pawlowska, A.M., W. Oleszek and A. Braca. 2008. Quali-quantitive analyses of flavonoids of *Morus nigra* L. and *Morus alba* L. (Moraceae) fruits. **Journal of Agricultural and Food Chemistry.** 56: 3377-3380.

Prior, R. L., X. Wu and K. Schaich. 2005. Standardized methods for the determination of antioxidant capacity and phenolics in foods and dietary supplement. **Journal of Agricultural and Food Chemistry.** 53: 4290-4302.

Rodriguez-Saona, L.E. and R.E. Wrolstad. 2005. Extraction, isolation, and purification of anthocyanins, pp. 7-17. In R.E. Wrolstad, T.E. Acree, E.A. Decker, M.H. Penner, D.S. Reid, S.J. Schwartz, C.F. Shoemaker, D. Smith and P. Sporns, eds. **Handbook of Food Analytical Chemistry.** Wiley-Interscience, Hoboken, New Jersey.

Shahidi, F. and M. Naczk. 2004. **Phenolics in Food and Nutraceuticals.** CRC Press, New York.

Singh, R.P., K.N. Chidambara and G.K. Jayaprakasha. 2002. Studies on the antioxidant activity of pomegranate (*Punica granatum*) peel and seed extracts using in vitro model. **Journal of Agricultural and Food Chemistry.** 50: 81-86.

Stintzing, F.C. and R. Carle. 2004. Functional properties of anthocyanins and betalains in plants, food, and in human nutrition. **Trends in Food Science and Technology.** 15: 19-38.

Syvacy, A. and M. Sokmen. 2004. Seasonal changes in antioxidant activity, total phenolic and anthocyanin constituent of the stems of two *Morus* species (*Morus alba* L. and *Morus nigra* L.). **Plant Growth Regulation.** 44: 251–256.

United state department of agriculture (USDA). 2003. USDA database for the flavonoid content of selected foods. Available Source:
<http://www.nal.usda.gov/fnic/foodcomp/Data/Flav/Flav02-1.pdf>, August 3, 2008.

Wada, L. and B. Ou. 2002. Antioxidant activity and phenolic content of oregon cranberries. **Journal of Agricultural and Food Chemistry.** 50: 3495-3500.

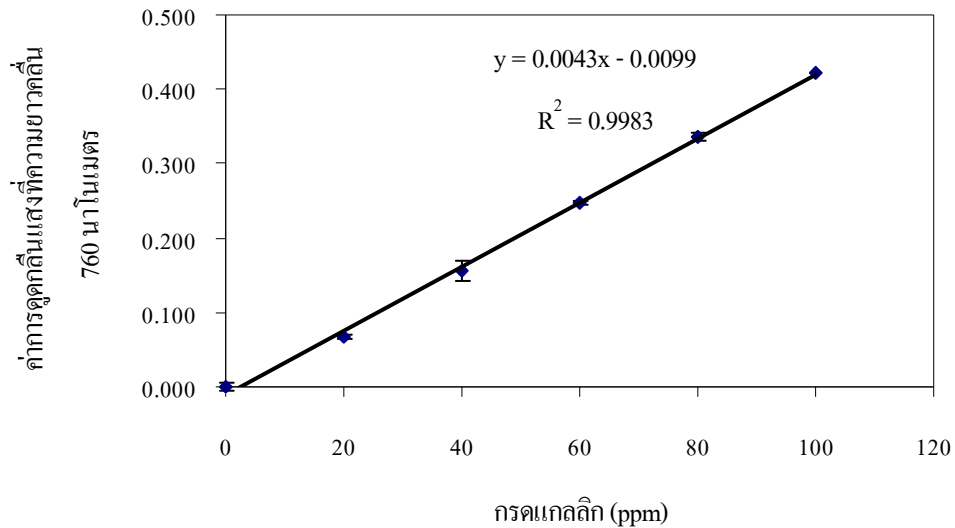
Wang, S.Y. and H.S. Lin. 2000. Antioxidant activity in fruits and leaves of blackberry, raspberry, and strawberry varies with cultivar and developmental stage. **Journal of Agricultural and Food Chemistry.** 48: 140-146.

Wang, S.Y., C.-T. Chen and C.Y. Wang. 2009. The influence of light and maturity on fruit quality and flavonoid content of red raspberries. **Food Chemistry.** 112: 676–684.

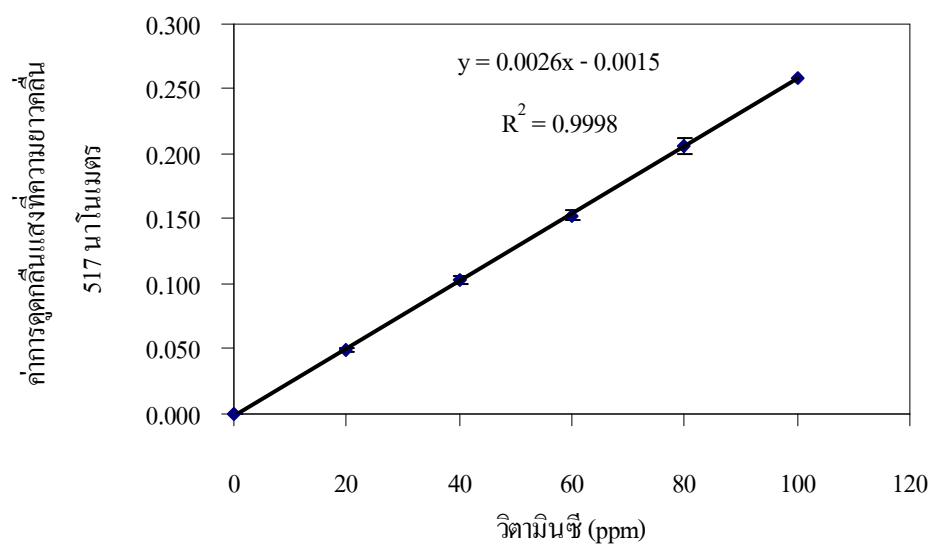
Waterhouse, A.L. 2005. Determination of total phenolics, pp. 463-470. In R.E. Wrolstad, T.E. Acree, E.A. Decker, M.H. Penner, D.S. Reid, SJ. Schwartz, C.F. Shoemaker, D. Smith and P. Sporns, eds. **Handbook of Food Analytical Chemistry.** Wiley-Interscience, Hoboken, New Jersey.

Zheng, W. and S.Y. Wang. 2003. Oxygen radical absorbing capacity of phenolics in blueberries, cranberries, chokeberries, and lingonberries. **Journal of Agricultural and Food Chemistry.** 51: 502-509.

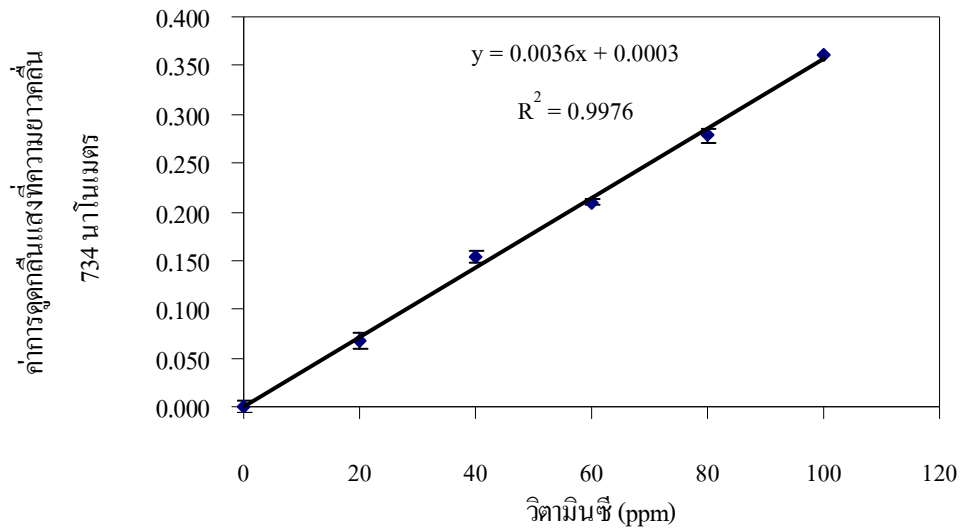
ภาคผนวก



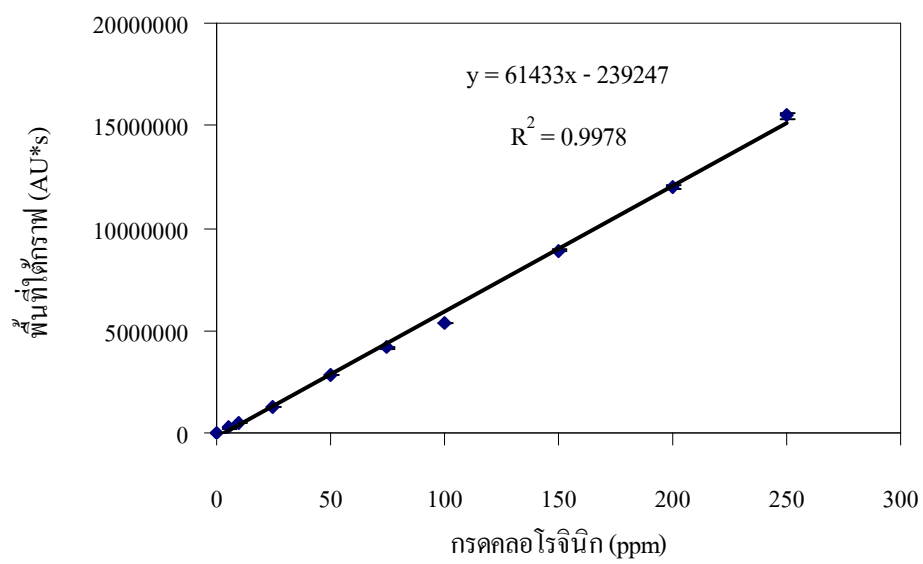
ภาพผนวกที่ 1 กราฟมาตรฐานของกรดแกเลลิกสำหรับการตรวจวัดปริมาณสารประกอบฟีโนอลิก
ทั้งหมด



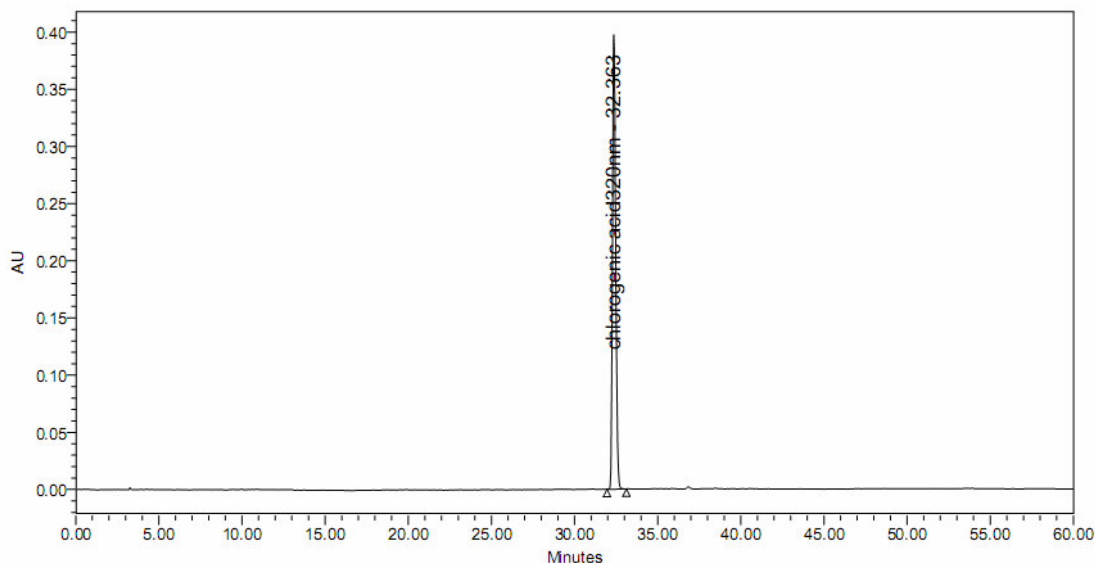
ภาพผนวกที่ 2 กราฟมาตรฐานของวิตามินซีสำหรับการตรวจสอบสมบัติการต้านอนุมูลอิสระ DPPH



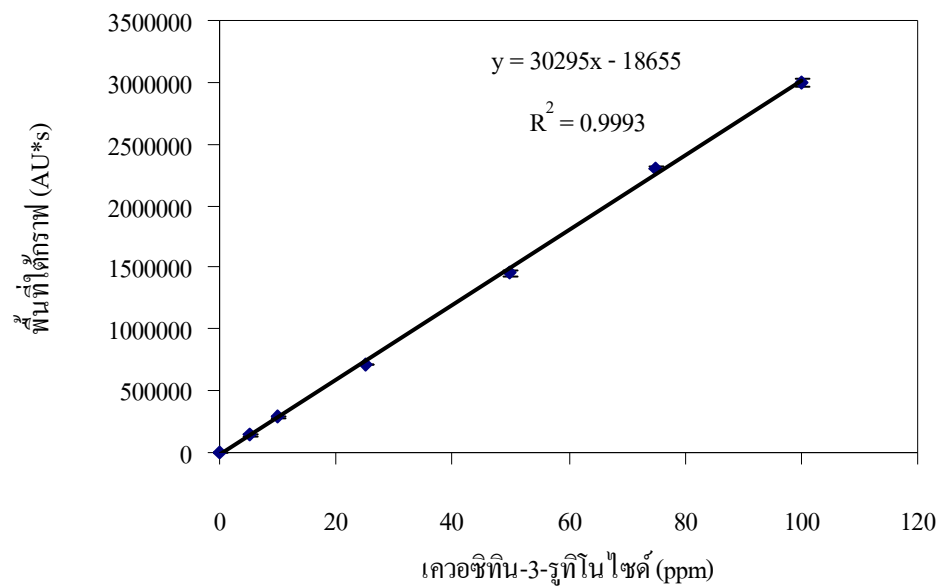
ภาพผนวกที่ 3 กราฟมาตรฐานของวิตามินซีสำหรับการตรวจสอบสมบัติการต้านอนุมูลอิสระ ABTS



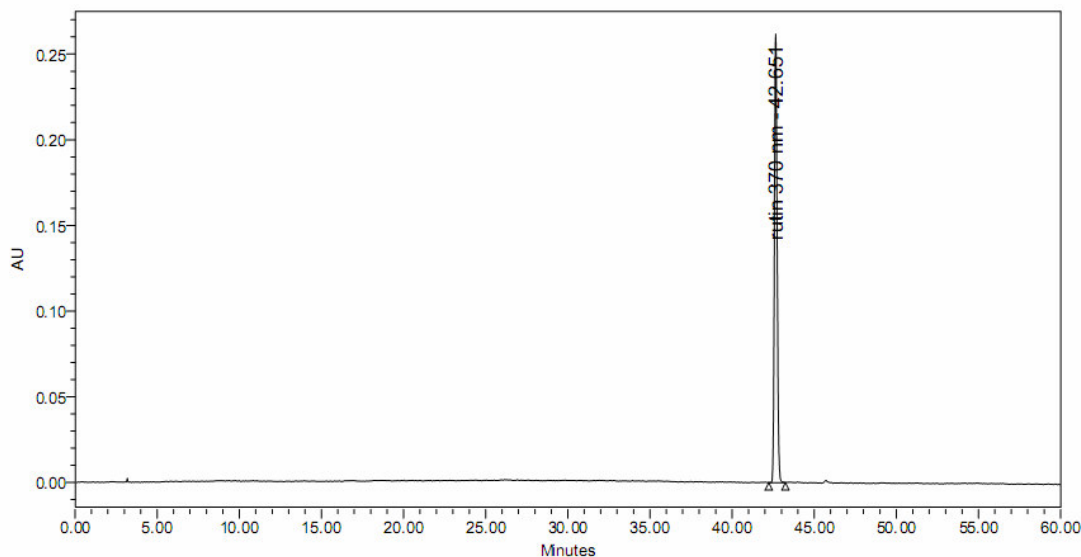
ภาพผนวกที่ 4 กราฟมาตรฐานของกรดคัลโตรจิニก (chlorogenic acid)



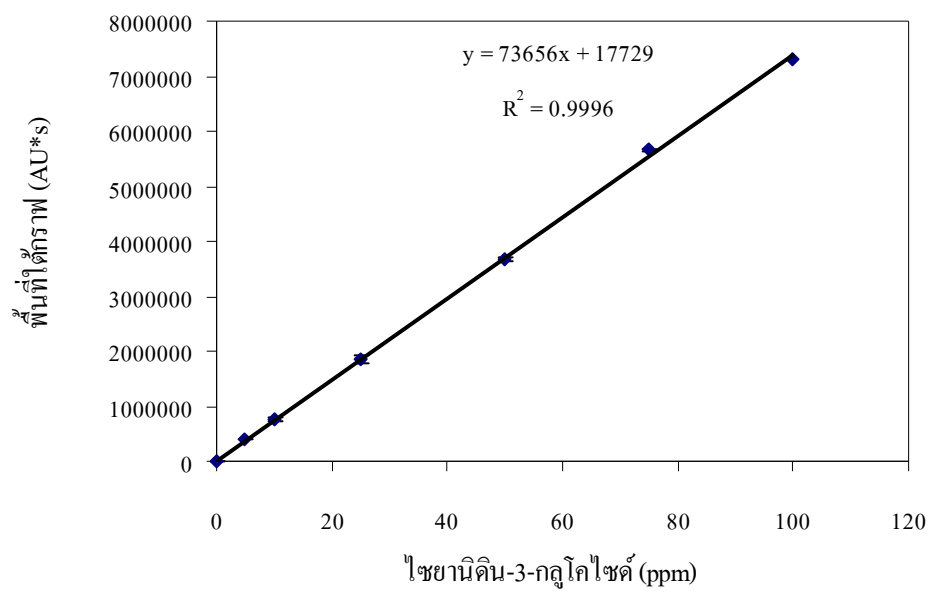
ภาพผนวกที่ 5 HPLC โปรแกรมของสารมาตราฐานกรดคอลอโรjinิก (chlorogenic acid)



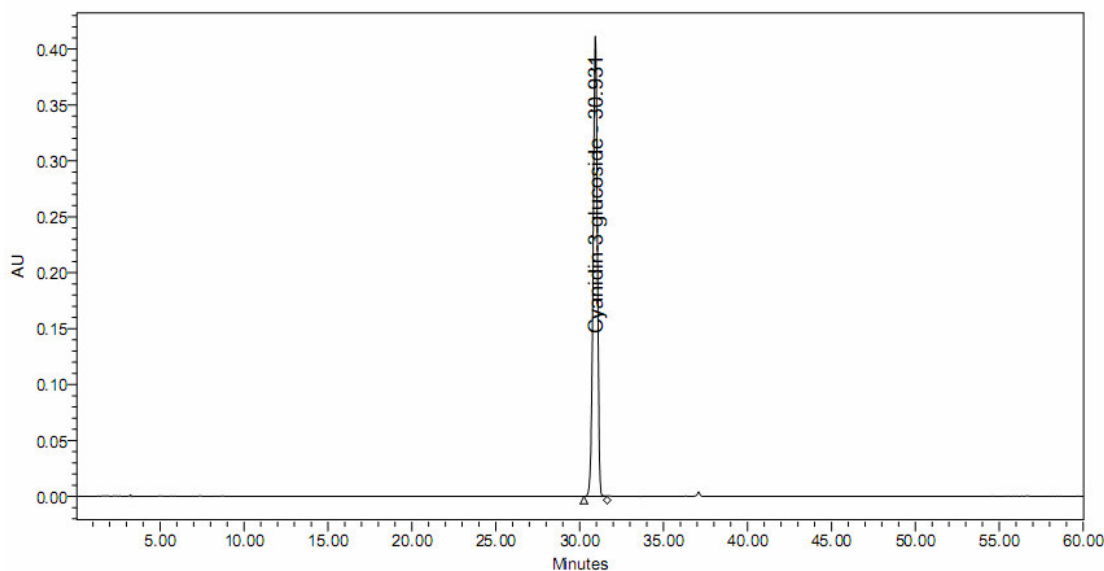
ภาพผนวกที่ 6 กราฟมาตราฐานของเคواتซิทิน-3-รูติโนไซด์ (quercetin-3-rutinoside)



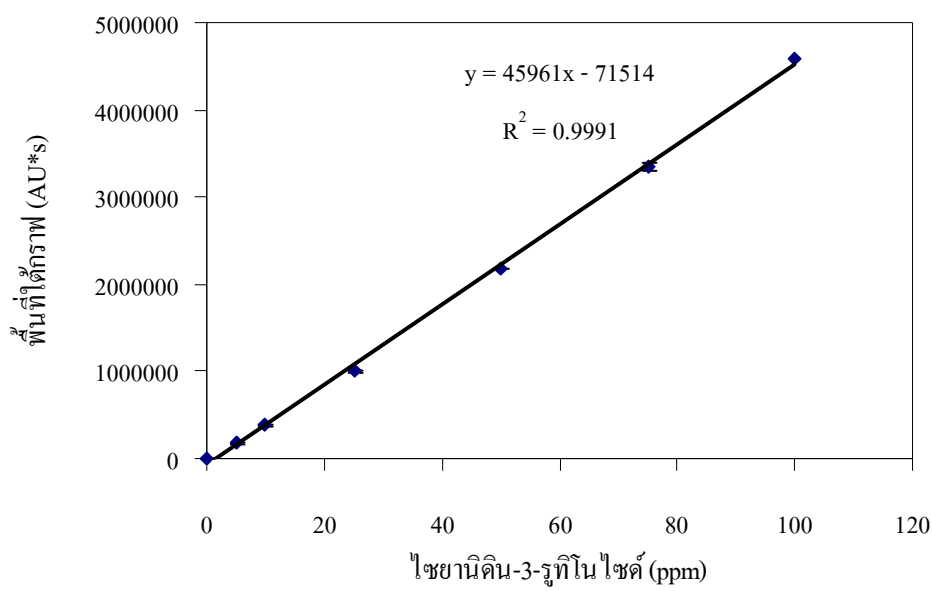
ภาพผนวกที่ 7 HPLC โคมาราโตแกรมของสารมาตราฐานเควอร์เชติน-3-รูติโนไซด์ (quercetin-3-rutinoside)



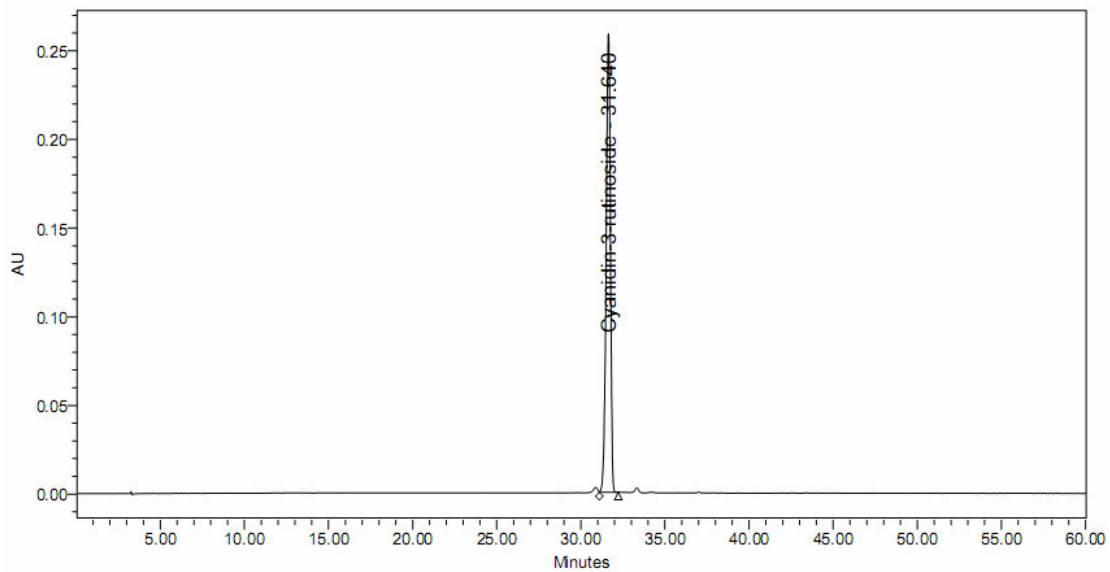
ภาพผนวกที่ 8 กราฟมาตราฐานของไซยาโนดีน-3-กลูโคไซด์ (cyanidin-3-glucoside)



ภาพผนวกที่ 9 HPLC โคมาราโตแกรมของสารมาตราฐานไซยานิดิน-3-กลูโคไซด์ (cyanidin-3-glucoside)



ภาพผนวกที่ 10 กราฟมาตราฐานของไซยานิดิน-3-รูติโนไซด์ (cyanidin-3-rutinoside)



ภาพผนวกที่ 11 HPLC โคมาร์ติแกรมของสารมาตราฐานไซยานิดิน-3-รูติโนไซด์ (cyanidin-3-rutinoside)

ประวัติการศึกษา และการทำงาน

ชื่อ – นามสกุล นางสาวนันต์วีดี หุ่นเรือง
วัน เดือน ปี ที่เกิด 9 สิงหาคม 2526
สถานที่เกิด กรุงเทพมหานคร
ประวัติการศึกษา วิทยาศาสตรบัณฑิต (วิทยาศาสตร์การอาหารและโภชนาการ) ภาควิชาคหกรรมศาสตร์ คณะวิทยาศาสตร์
มหาวิทยาลัยศรีนครินทรวิโรฒ (พ.ศ. 2549)
ทุนการศึกษาที่ได้รับ ทุนสนับสนุนจากโครงการทุนวิจัยมหาบัณฑิต สรว.
สาขาวิทยาศาสตร์และเทคโนโลยี
ภายใต้โครงการสร้างกำลังคนเพื่อพัฒนาอุตสาหกรรม
ระดับปริญญาโท (สรว.-สสว.) ประจำปี 2550 และ¹
โครงการพัฒนาบัณฑิตศึกษาและวิจัยเทคโนโลยีหลังการ
เก็บเกี่ยว มหาวิทยาลัยเกษตรศาสตร์